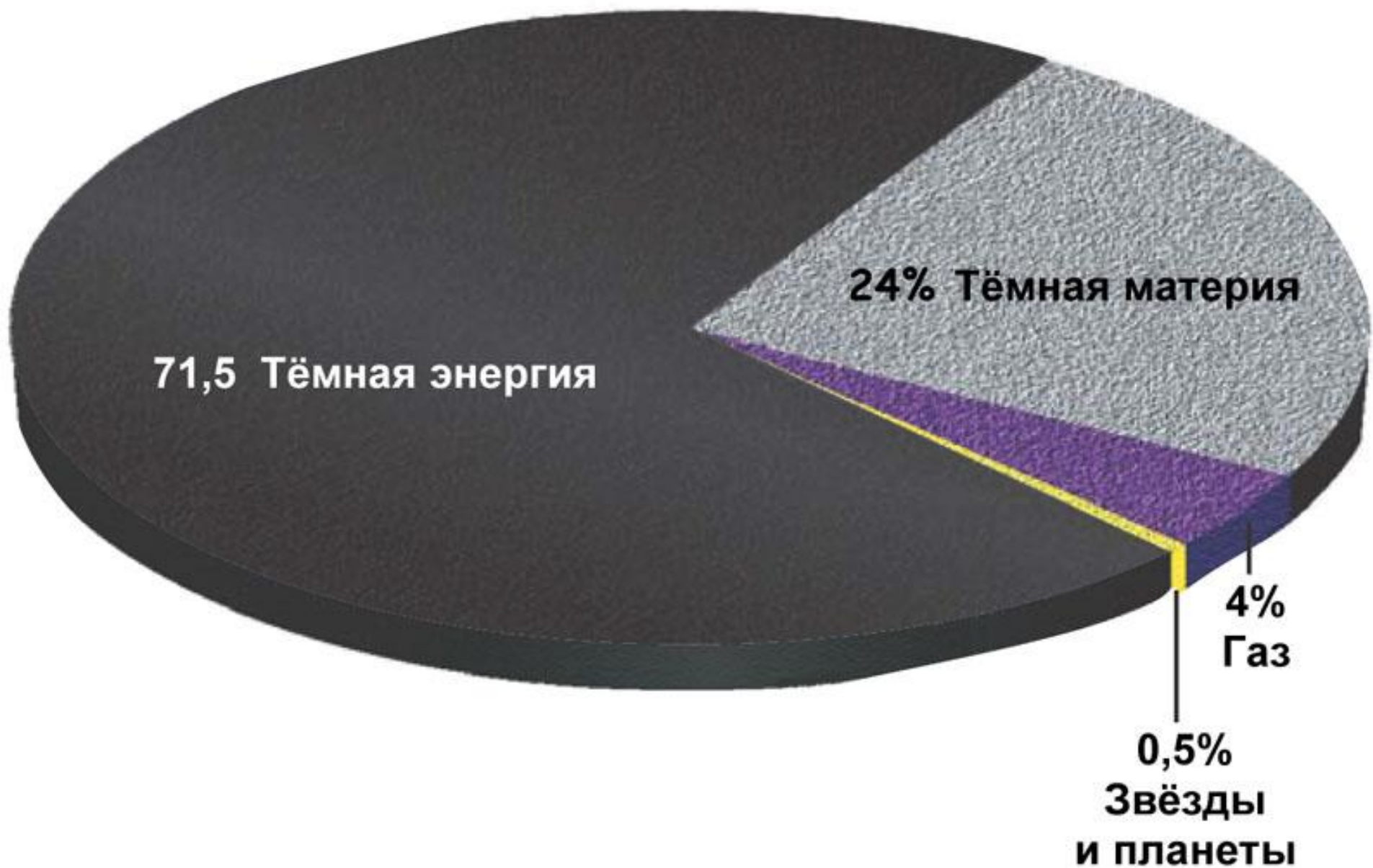




Рождение и эволюция звёзд

Сурдин В.Г.

Состав (нашей) Вселенной

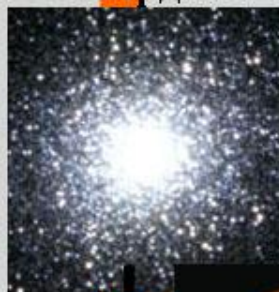






Образование звезд – непрерывный галактический процесс

Шаровое скопление
10 млрд.лет



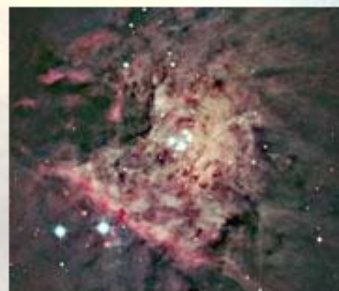
Солнце
4.5 млрд.лет



Плеяды
100 млн.лет



Трапедия
< 1 млн.лет



HH47
< 10 тыс.лет



Bulge

Disk



10^{10}

10^9

10^8

10^7

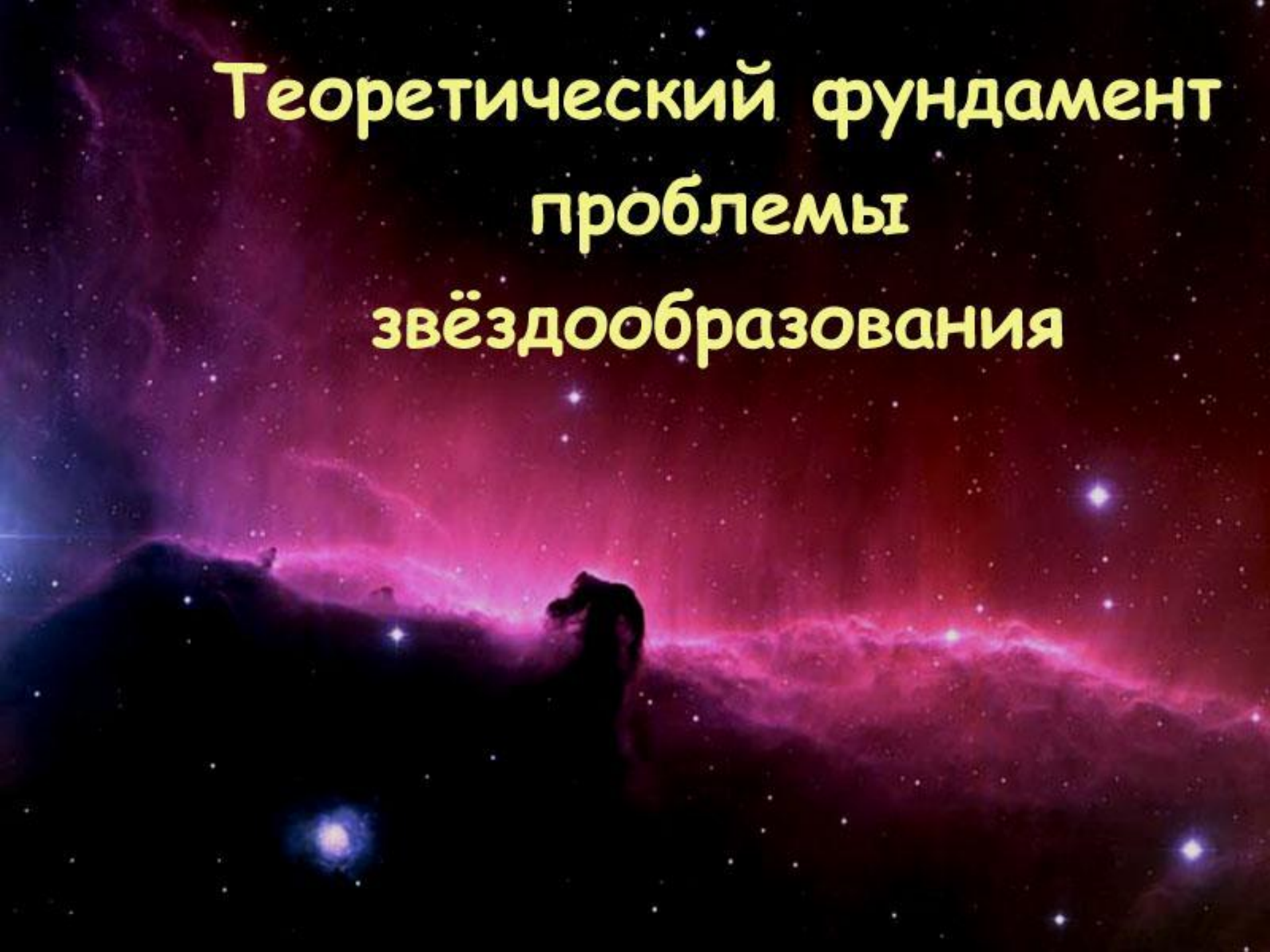
10^6

10^5

10^4

Возраст (годы)

**Теоретический фундамент
проблемы
звёздообразования**













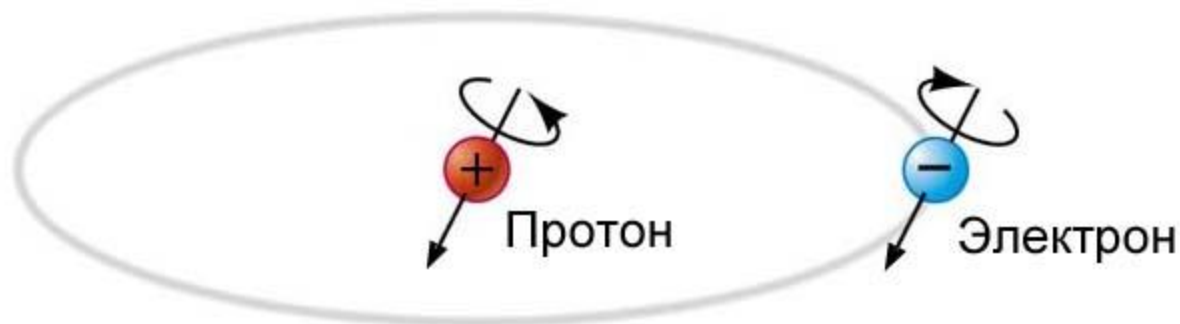


Carina

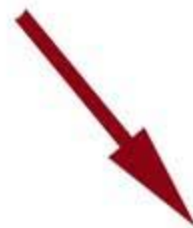


Carina

Взаимодействие спиновых магнитных моментов



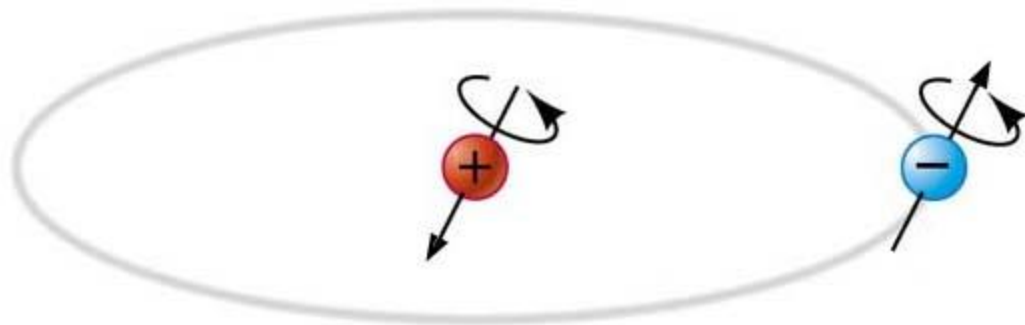
Антипараллельные спины
Параллельные магнитные моменты



Излучение кванта
 $\lambda = 21$ см



Причина сверхтонкого
расщепления уровней
энергии у атомов и
механизм излучения
линии 21 см
атомом водорода



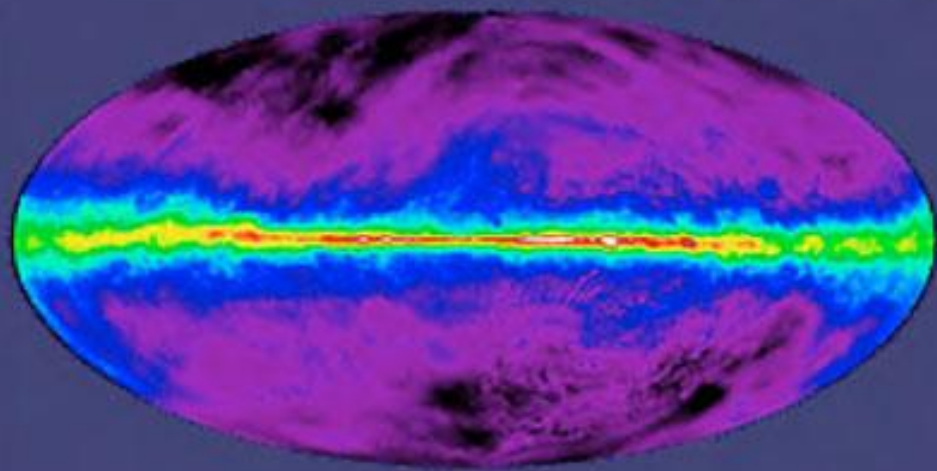
Параллельные спины
Антипараллельные магнитные моменты

Галактика в разных диапазонах волн

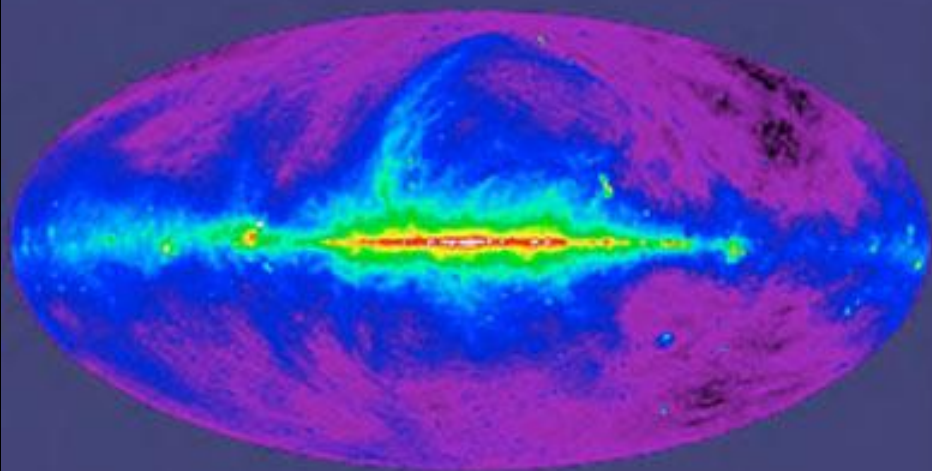
optical



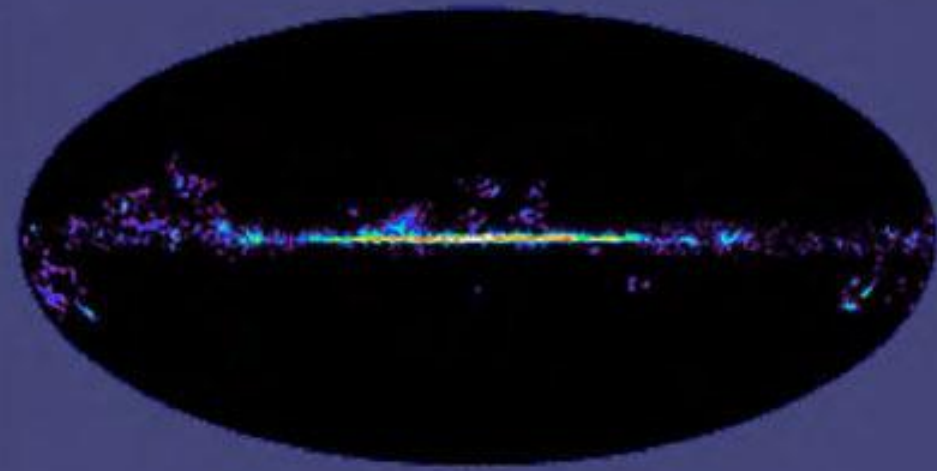
HI line (1420 MHz)



radio continuum (408 MHz)



CO(1-0) line (115 GHz)









**Межзвездные
молекулярные облака
и
рождение звезд**





HII (H^+)

HI (H^0)

H_2

МЕЖЗВЕЗДНЫЕ МОЛЕКУЛЫ

Формула	Название молекулы	Спектральный диапазон	Год открытия
CH	Метилидин	Опт	1937
CN	Циан	Опт	1940
OH	Гидроксил	Р 18 см	1963
H ₂ O	Водяной пар	Р 1,4 см	1968
NH ₃	Аммиак	Р 1,3 см	1968
H ₂ CO	Формальдегид	Р 6,2 см	1969
CO	Моноокись углерода	Р 2,6 мм	1970
H ₂	Молекулярный водород	УФ	1970
НСООН	Муравьиная кислота	Р 18 см	1970
HCN	Синильная кислота	Р 3,4 мм	1970
CH ₃ OH	Метанол (древесный спирт)	Р 36 см	1970
NH ₂ CHO	Формаид	Р 6,5 см	1971
H ₂ S	Сероводород	Р 1,8 мм	1972
CH ₃ CH ₂ OH	Этиловый (винный) спирт	Р 2,9 мм	1974

Межзвездная пыль - катализатор химических реакций



На поверхности пылинки атомы водорода
объединяются в молекулу

В 1902 г. Джинс впервые записал уравнения газодинамики с учетом гравитации и обнаружил, что они имеют два решения:

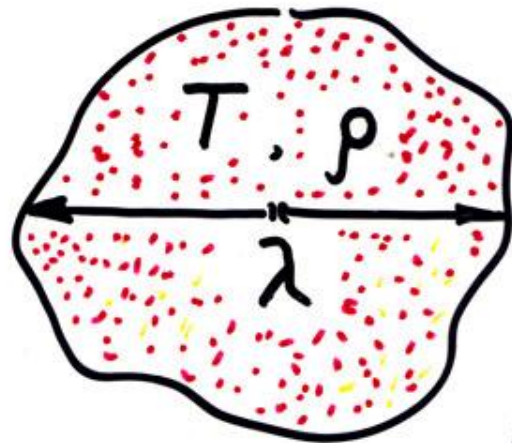
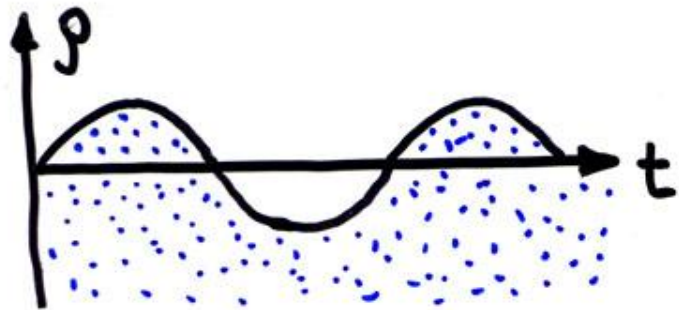
звуковая волна
и
коллапс

Джеймс Хопвуд
Джинс
1877-1946



Формула Джинса

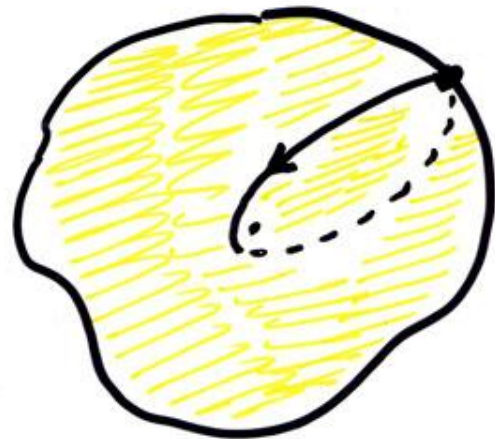
1902 г. Джеймс Хопвуд Джинс (James Jeans)



$$M = \frac{4\pi}{3} \lambda^3 \rho$$

$$t_{ff} = \pi \sqrt{\frac{\lambda^3}{GM}} = \sqrt{\frac{3\pi}{32G\rho}}$$

$$t_{dyn} = \lambda / v_s$$



$$t_{dyn} / t_{ff} \sim \lambda$$

$$R_y, M_y = ?$$

$$\underline{t_{\text{dyn}} = t_{\text{ff}}}$$

$$R_y = 0.06 \text{ pk} \left(\frac{T}{10 \text{ K}} \cdot \frac{10^4 \text{ cm}^{-3}}{n_{\text{H}_2}} \right)^{1/2}$$

$$M_y = 0.4 M_{\odot} \left(\frac{T}{10 \text{ K}} \right)^{3/2} \left(\frac{10^4 \text{ cm}^{-3}}{n_{\text{H}_2}} \right)^{1/2}$$

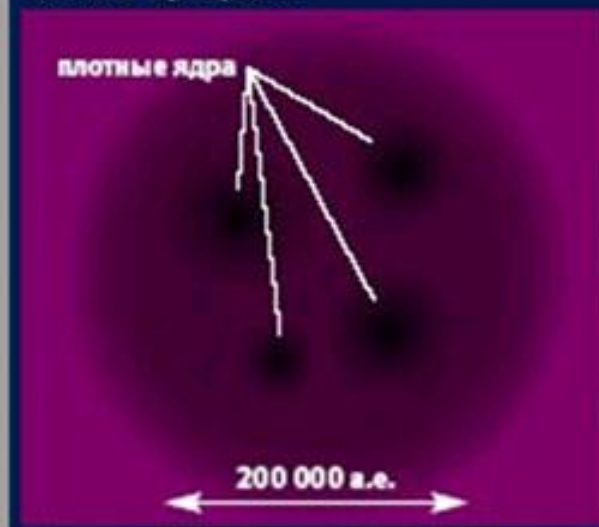
Основные фазы межзвездной среды и их параметры Джинса

Год открытия	Фаза	Температура, К	Плотность, см ⁻³	M_J , M_{\odot}	R_J , пк
1920	Теплая, HI-II	8000	0,25	1×10^8	2×10^3
1950	Прохладная, HI	80	40	2×10^3	7
1970	Горячая, HII	3×10^5	0,002	5×10^{11}	2×10^5
1975	Холодная, H ₂	10	10^3	4	0,3

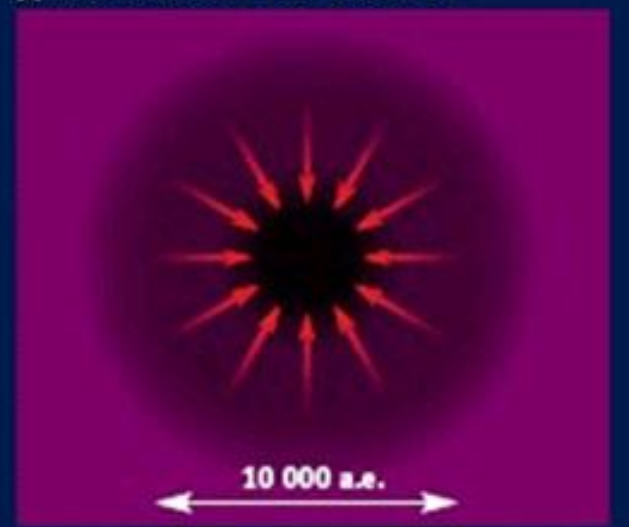
Параметры гигантских молекулярных облаков

Параметр	Среднее значение	Диапазон значений
Масса, M_{\odot}	5×10^5	$5 \times 10^4 \div 5 \times 10^6$
Радиус, пк	20	$10 \div 50$
Средняя плотность, $\text{H}_2/\text{см}^3$	300	$10^2 \div 10^3$
Температура, К	10	$5 \div 30$
Гравитационная энергия, эрг	10^{51}	$10^{50} \div 10^{52}$
Энергия диссоциации H_2 , эрг	2×10^{52}	$3 \times 10^{51} \div 10^{53}$
Скорость ухода с поверхн., км/с	15	$10 \div 20$
Дисперсия скоростей газа внутри облака, км/с	9	$2 \div 17$
Характерное время жизни, лет	3×10^7	$10^7 \div 10^8$
Индукция магнитного поля, Гс	2×10^{-5}	$(1 \div 4) \times 10^{-5}$

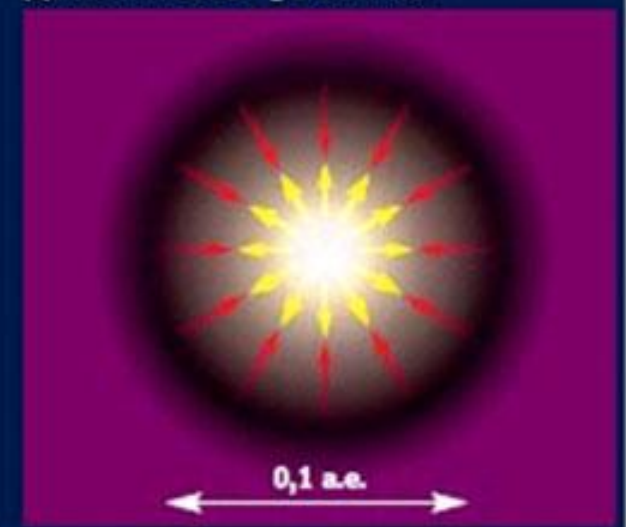
Темное межзвездное облако
Начало процесса



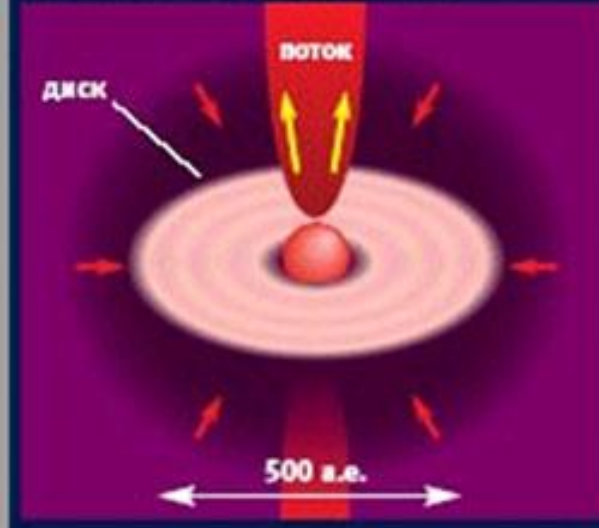
Быстрое сжатие плотного ядра
Длительность ~100 тыс. лет



Медленное сжатие
Длительность ~50 млн лет



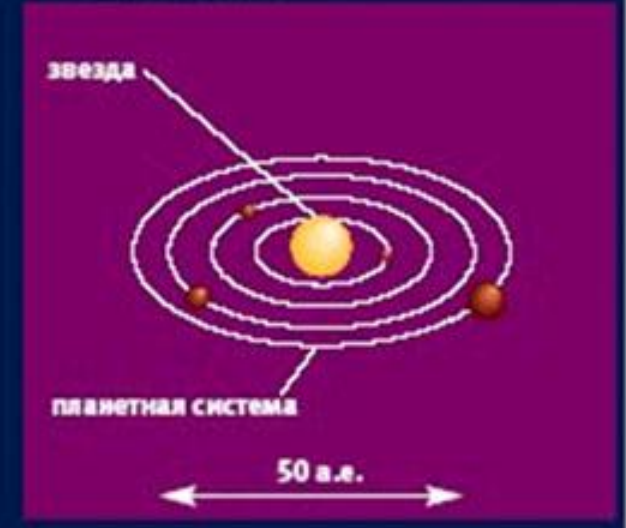
Протозвезда
Длительность ~100 тыс. лет



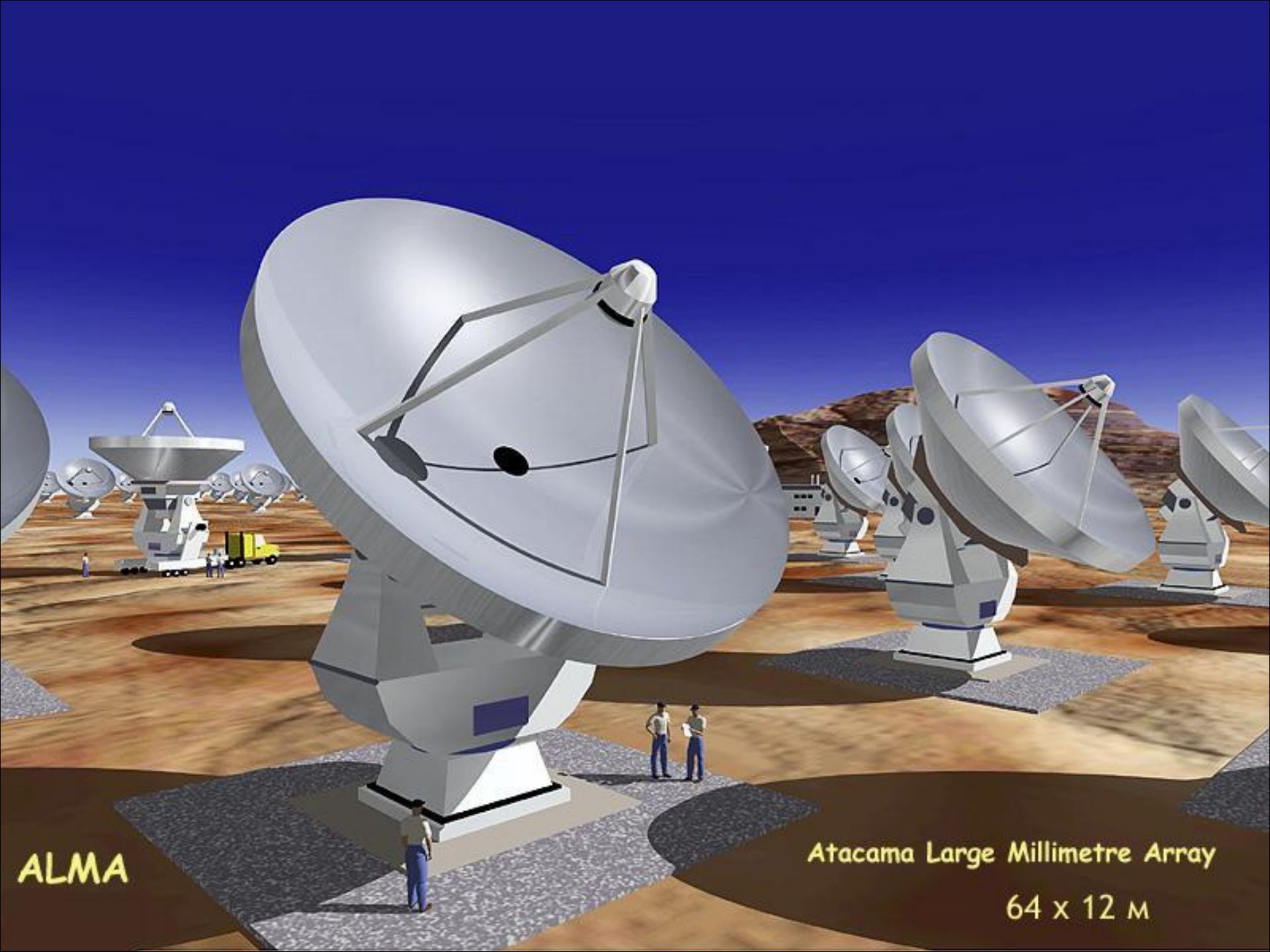
Очень молодая звезда
Длительность ~50 млн лет



Молодая звезда
Конец процесса



Этапы формирования звезды



ALMA

Atacama Large Millimetre Array

64 x 12 M



Плато Чахнантор, высота 5060 м, Чилийские Анды, 2011 г.

ALMA (Atacama Large Millimeter/submillimeter Array)

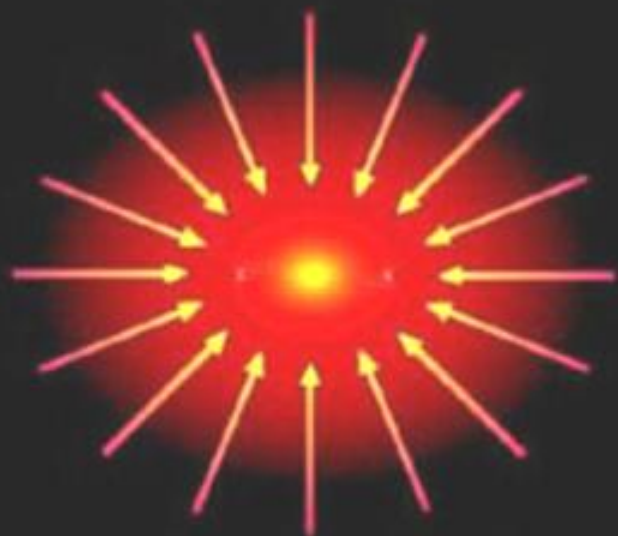
66 суб-мм антенн диаметром 7 и 12 м

Строительство завершено в 2013 г.

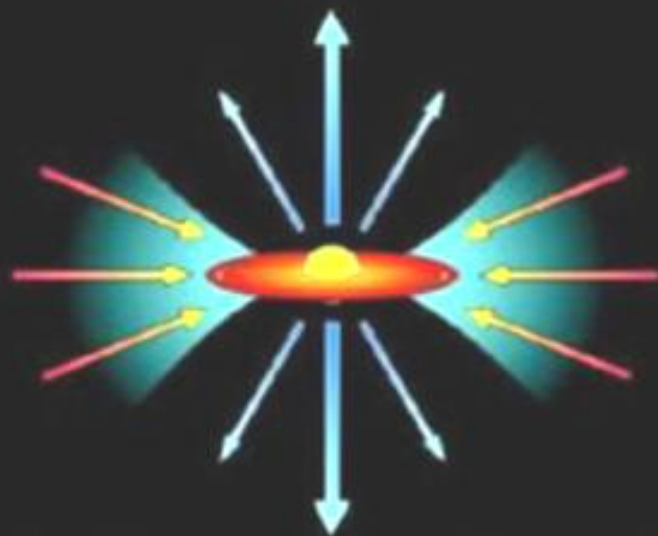


ALMA 1 mm continuum image of the disk surrounding HL Tau.
The disk is 0.8 arcsec in radius, corresponding to about 100 AU

ALMA Partnership et al. (2015)



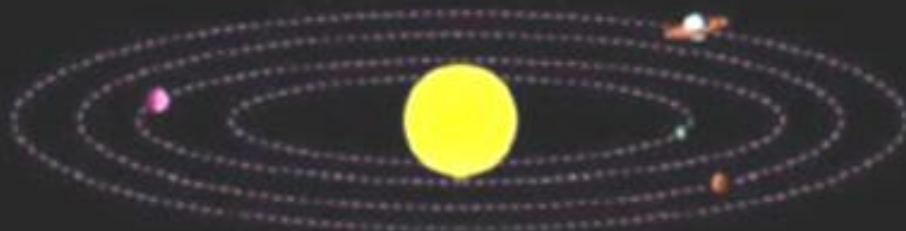
10^4 yrs; $10-10^4$ AU; $10-300$ K



10^{5-6} yrs; $1-1000$ AU; $100-3000$ K



10^{6-7} yrs; $1-100$ AU; $100-3000$ K



10^{7-9} yrs; $1-100$ AU; $200-3000$ K



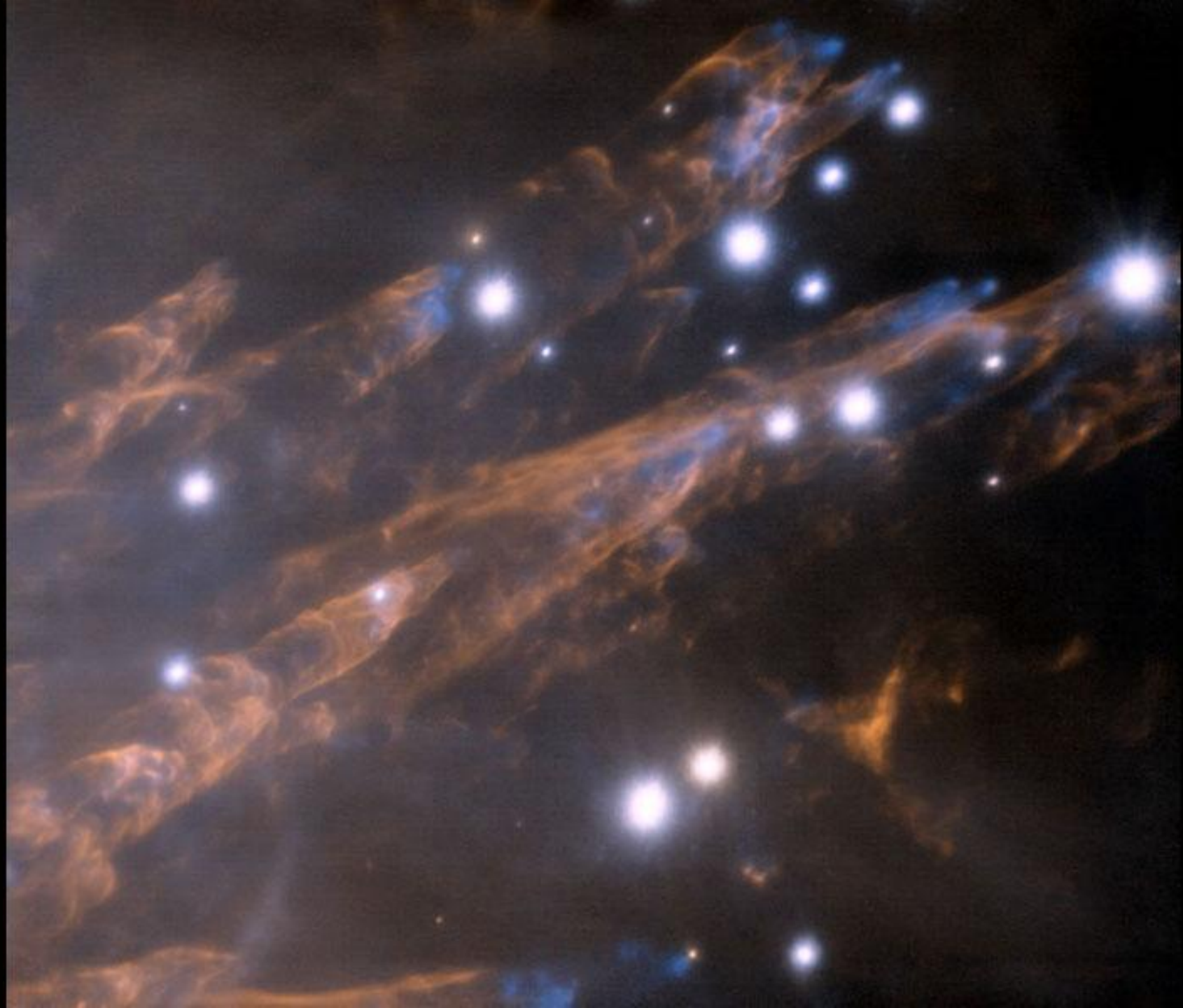




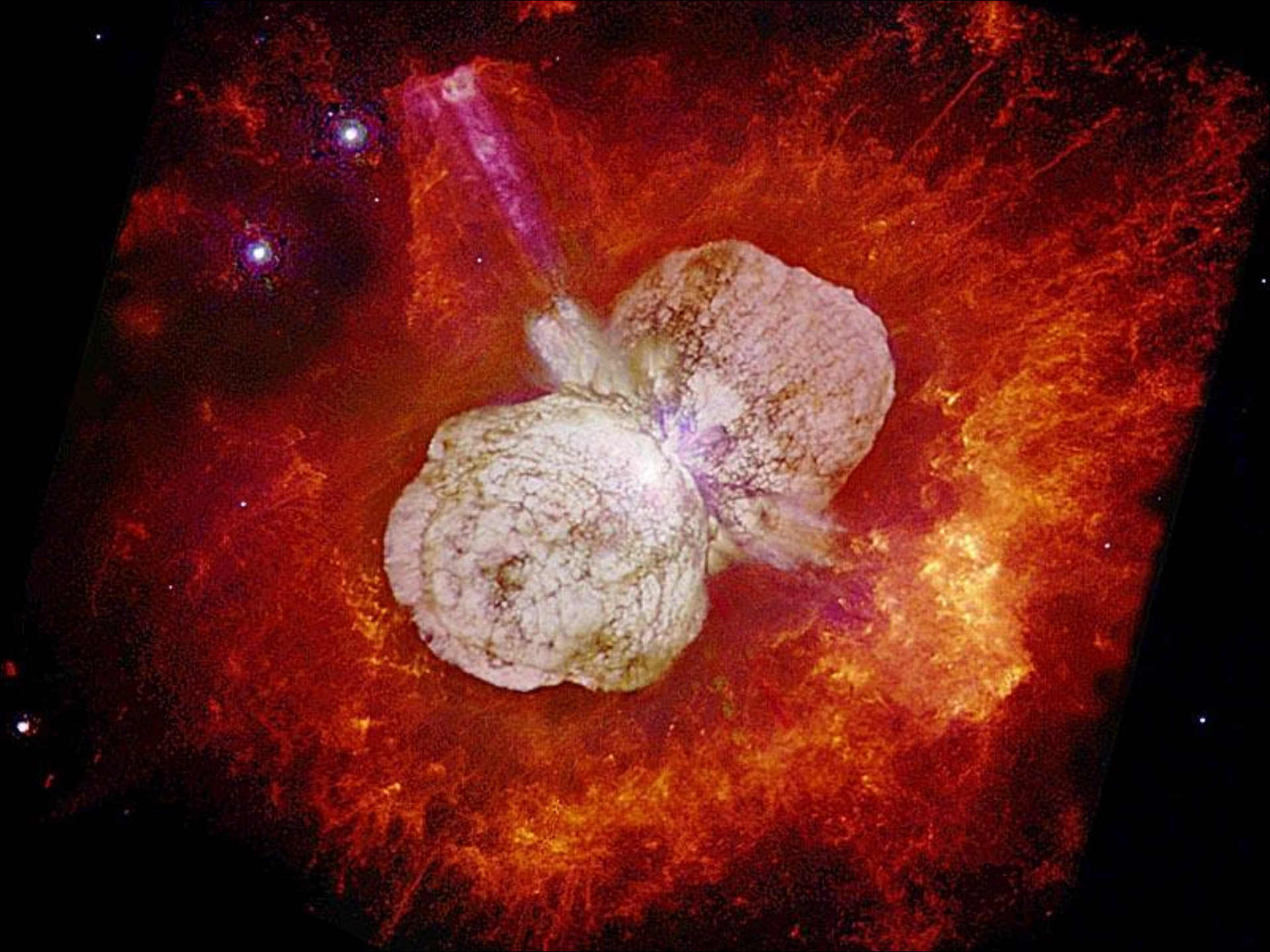




Orion KL











NGC 2237-9
(Monoceros)

Rosette
nebula



*Взаимодействие
массивных
звезд с МЗС
приводит к
формированию
гигантских
пузырей и
оболочек HI*

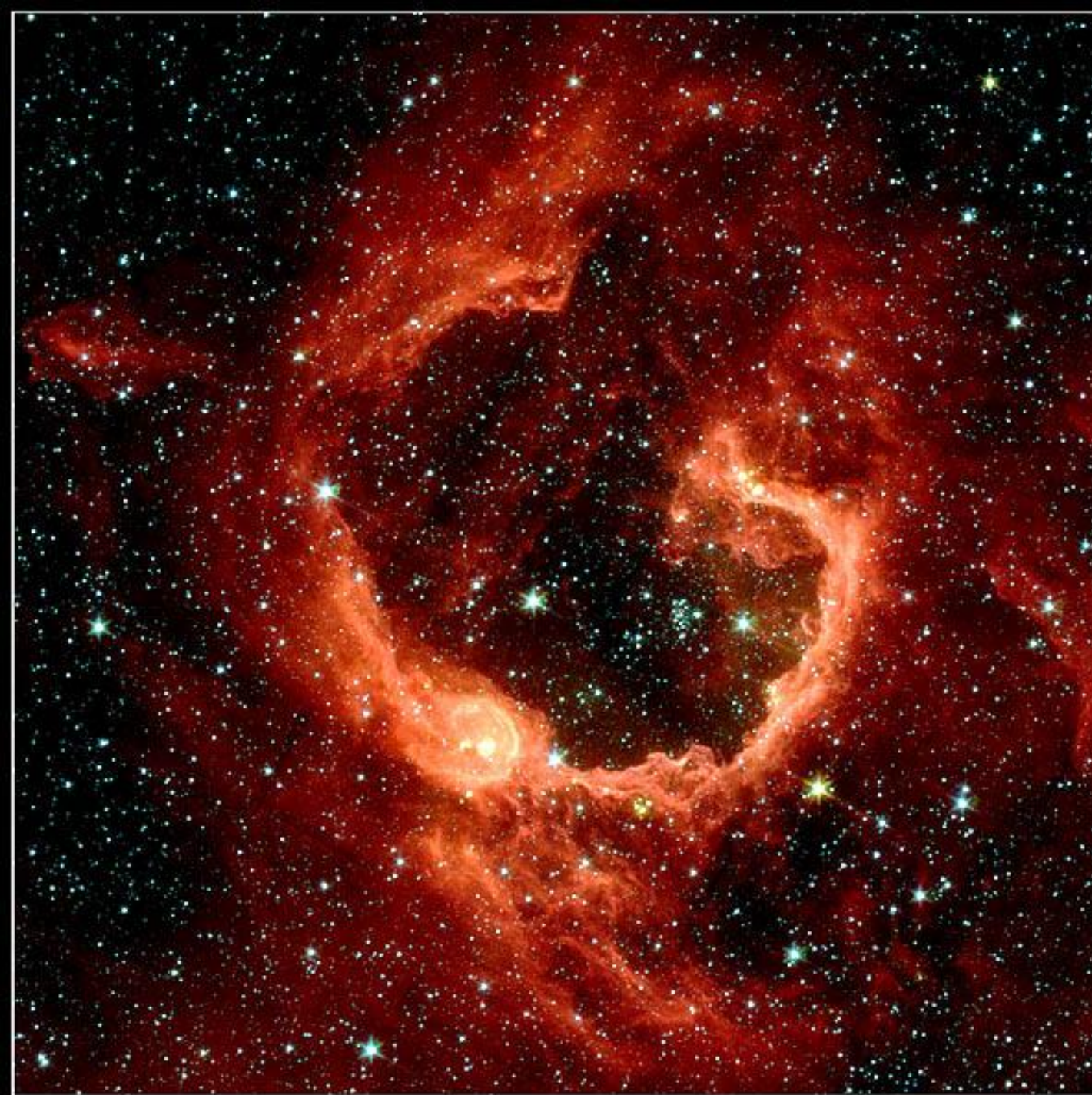
*Не исключено,
что в них
формируется
следующее
поколение
звезд*

Star-Forming "Bubble" RCW 79

Spitzer Space Telescope • IRAC

NASA / JPL-Caltech /

E. Churchwell (University of Wisconsin-Madison)

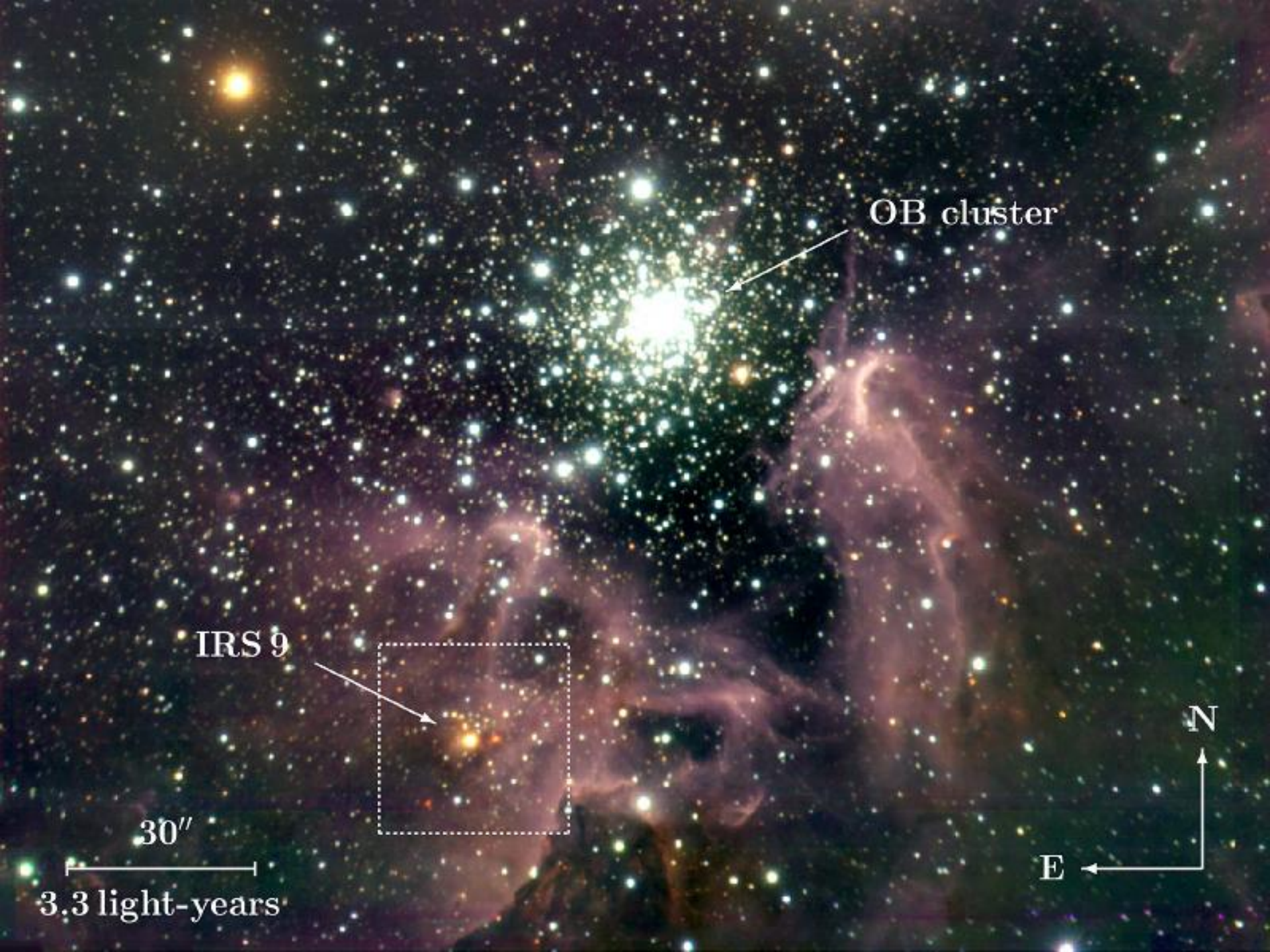




Orion

H α + opt





OB cluster

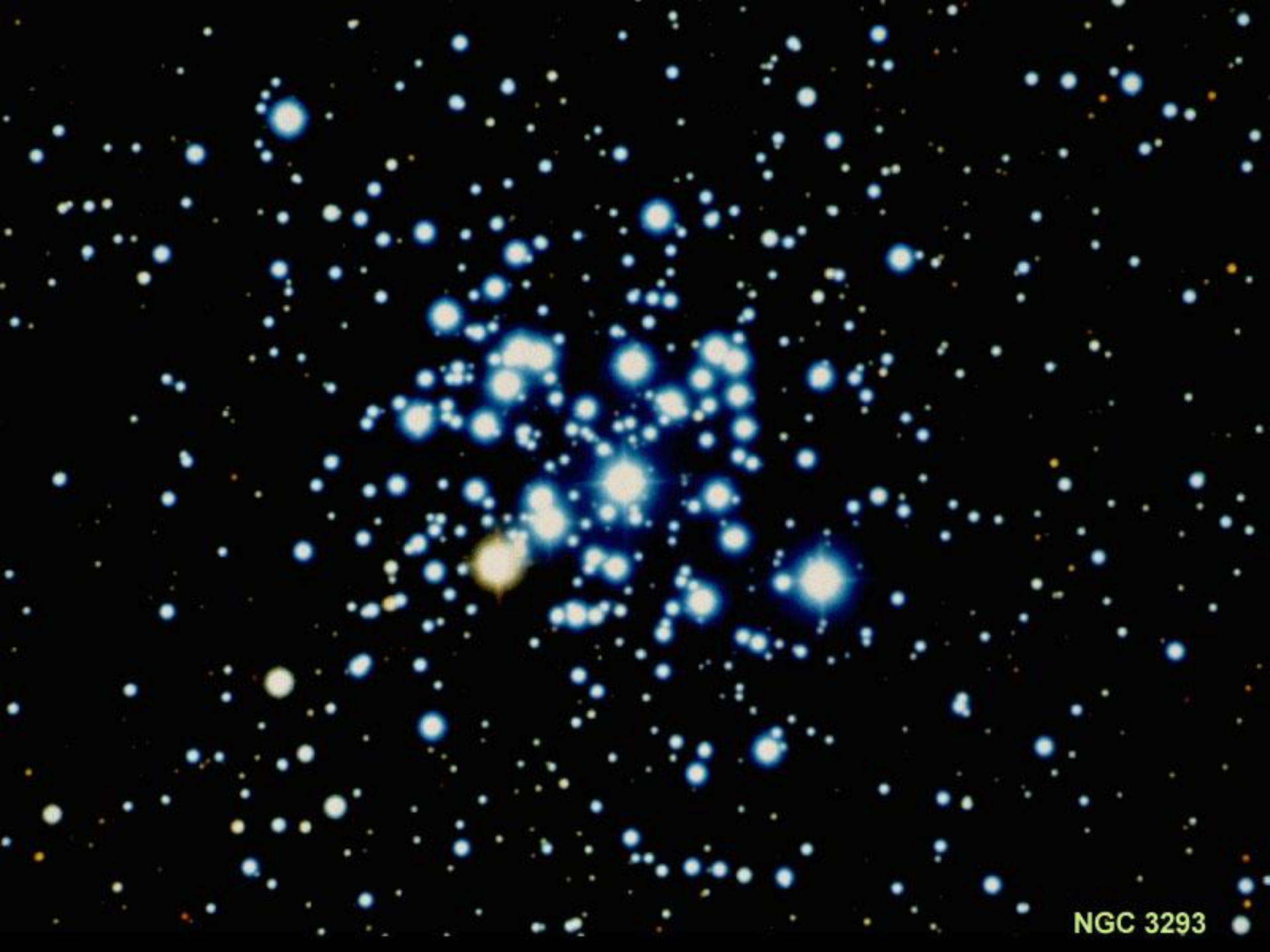
IRS 9

30''

3.3 light-years

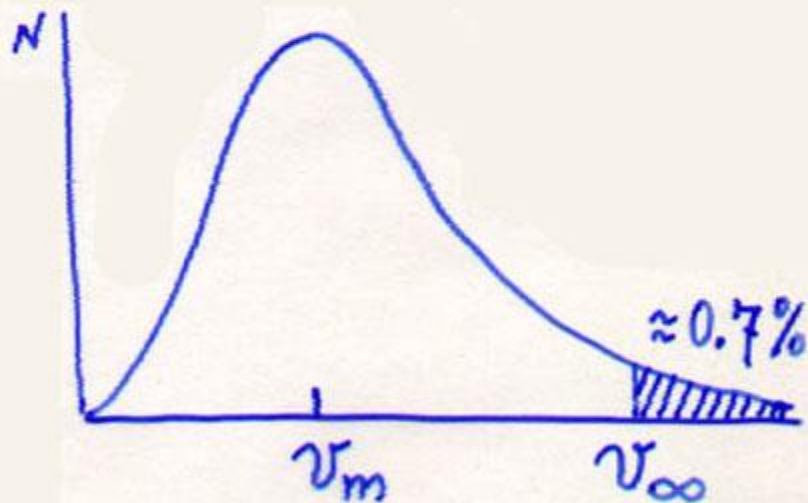
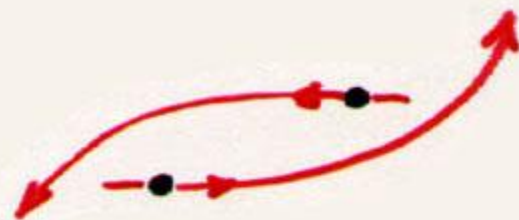
N

E



NGC 3293

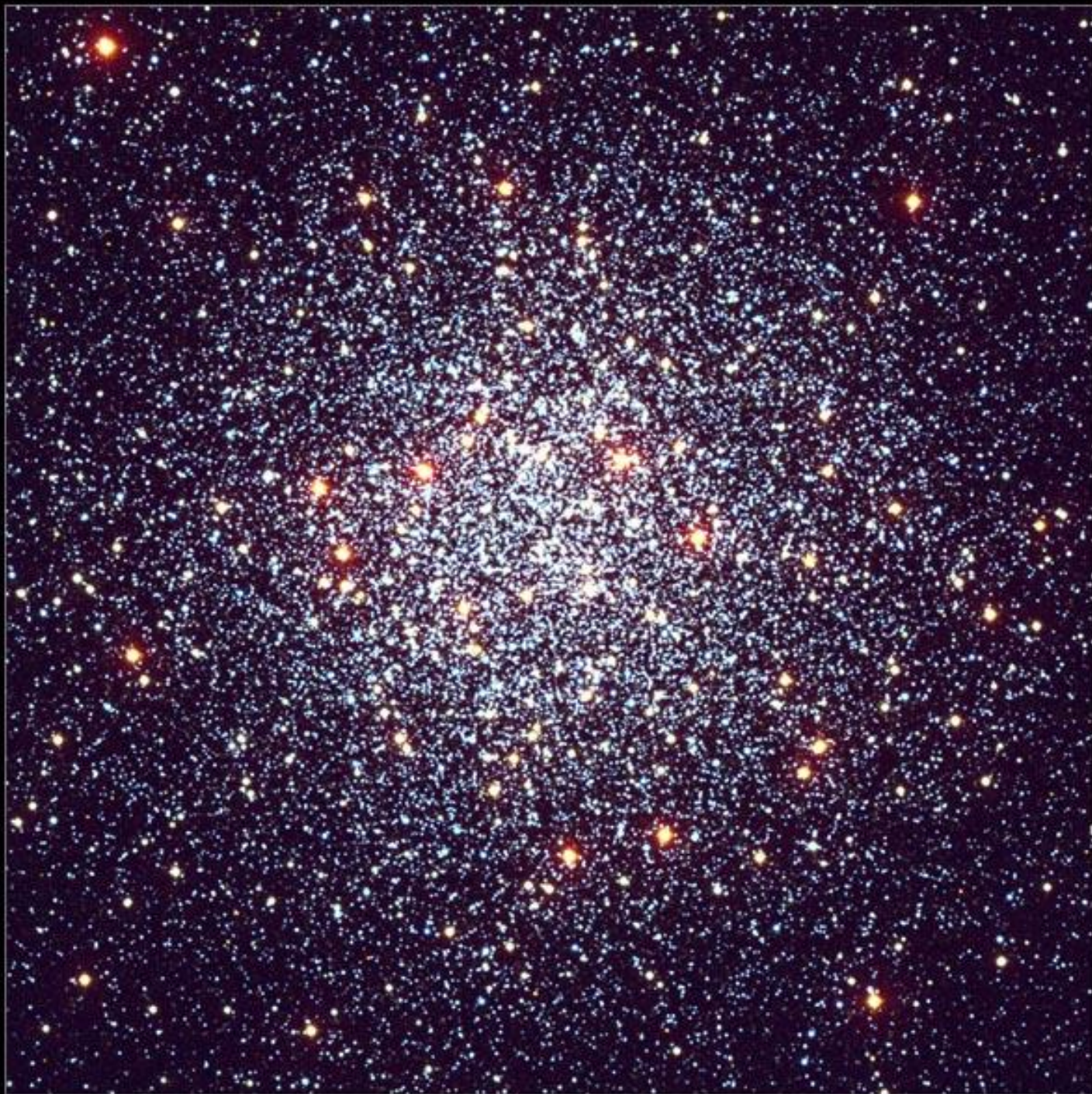
Релаксация и “испарение” звёздных скоплений



Свободные взаимодействующие частицы вылетают из открытых систем и, как правило, не возвращаются

Распределение звезд по скорости

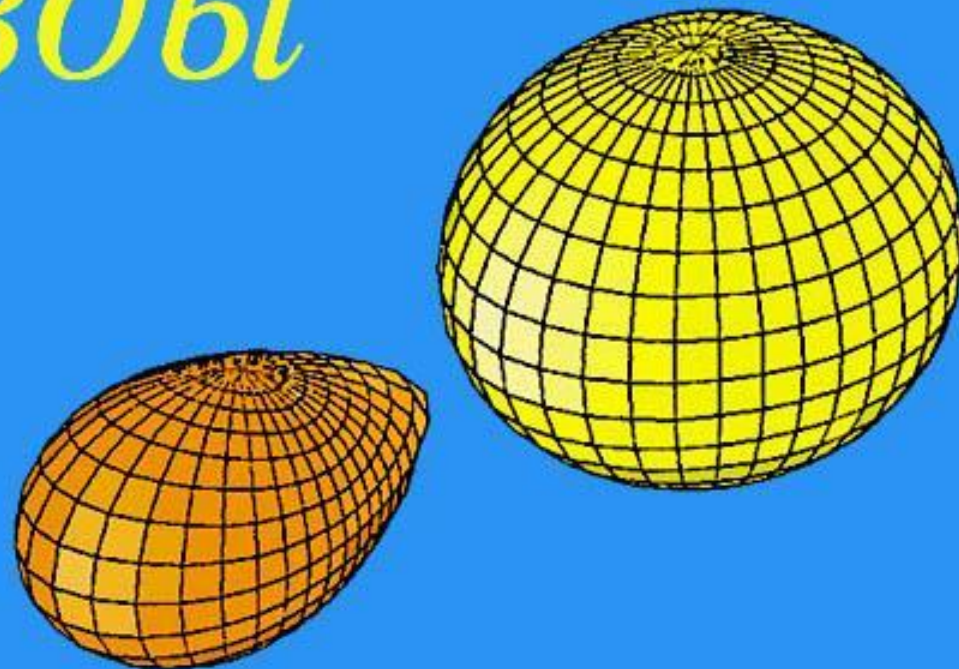
M55

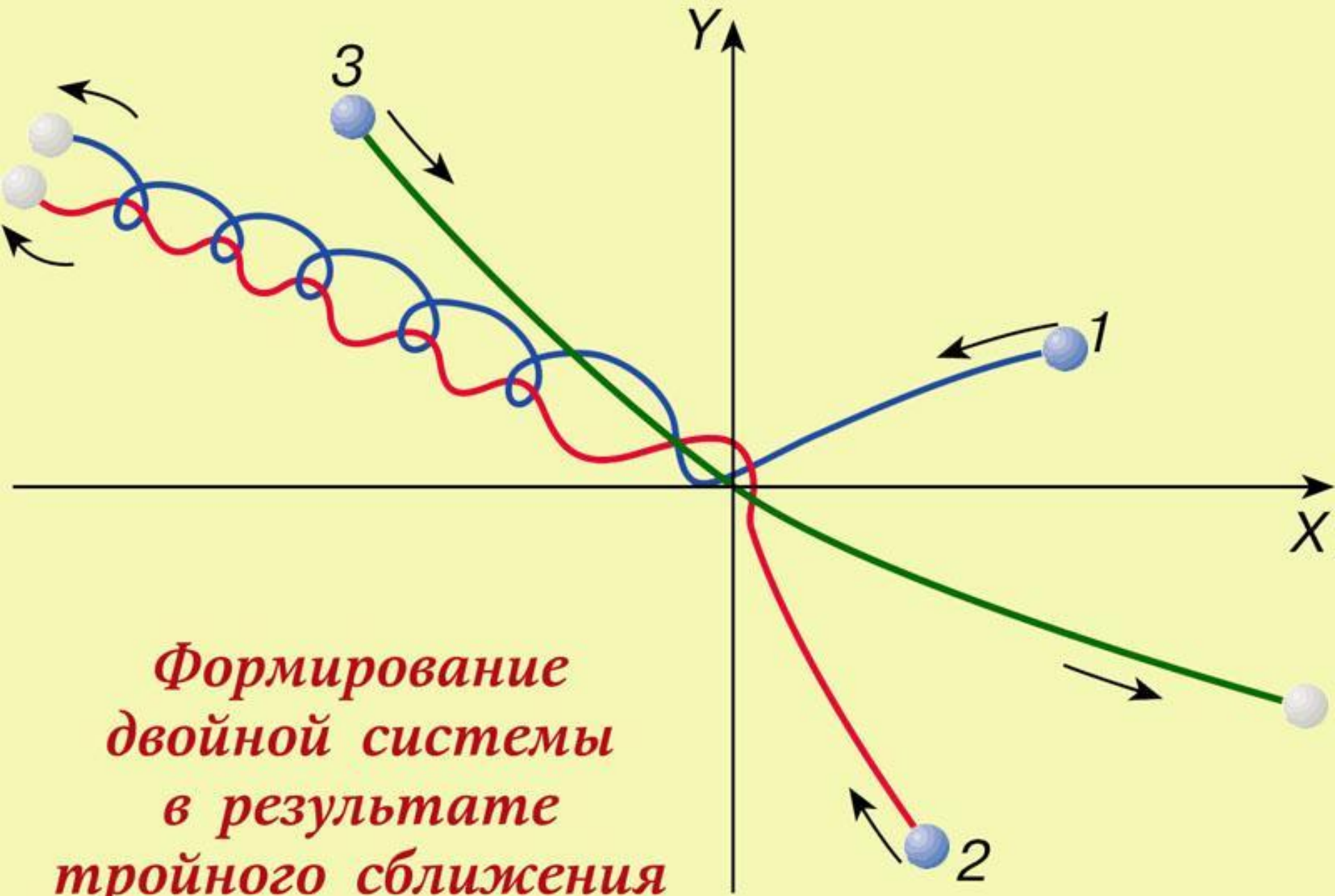


M 13



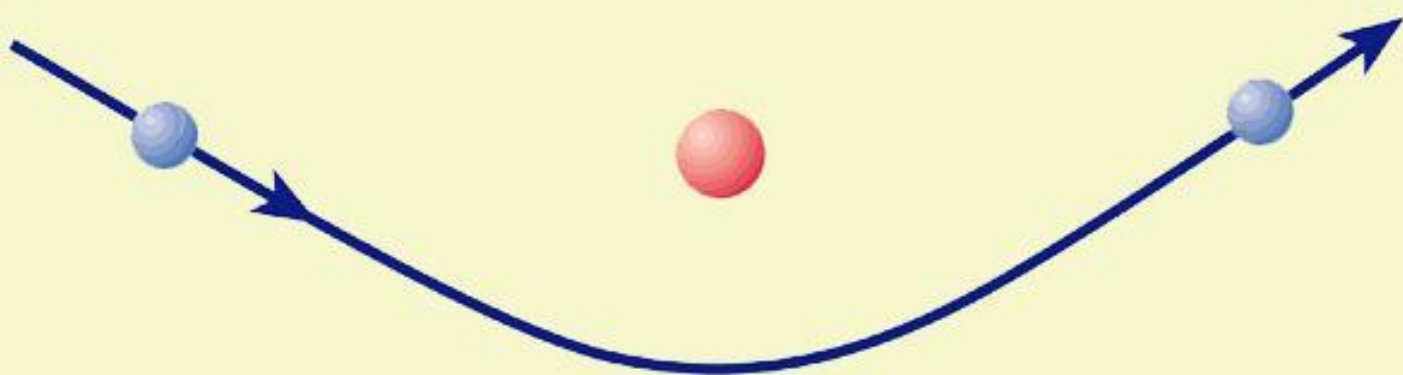
Двойные звезды





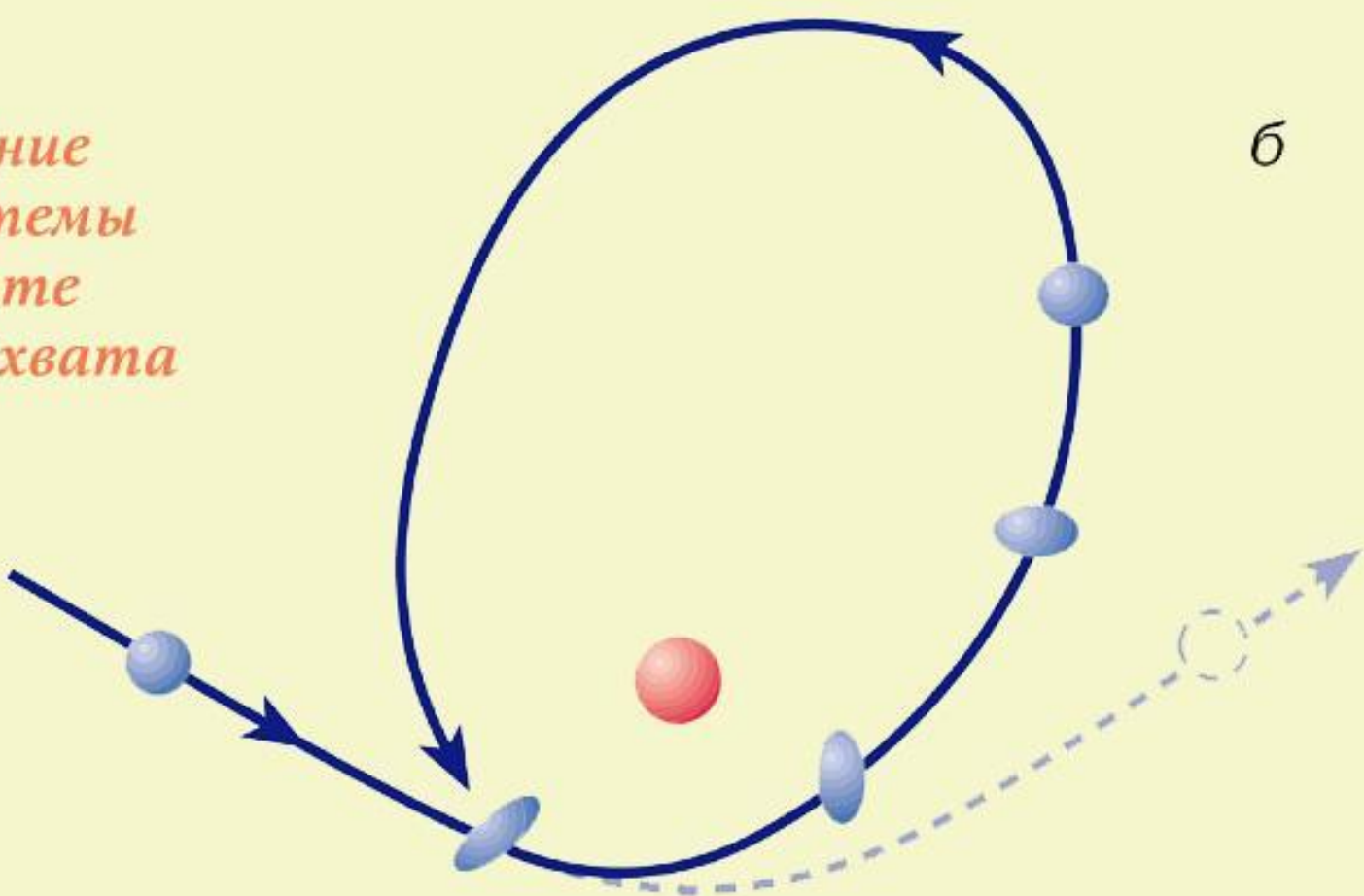
*Формирование
двойной системы
в результате
тройного сближения*

а

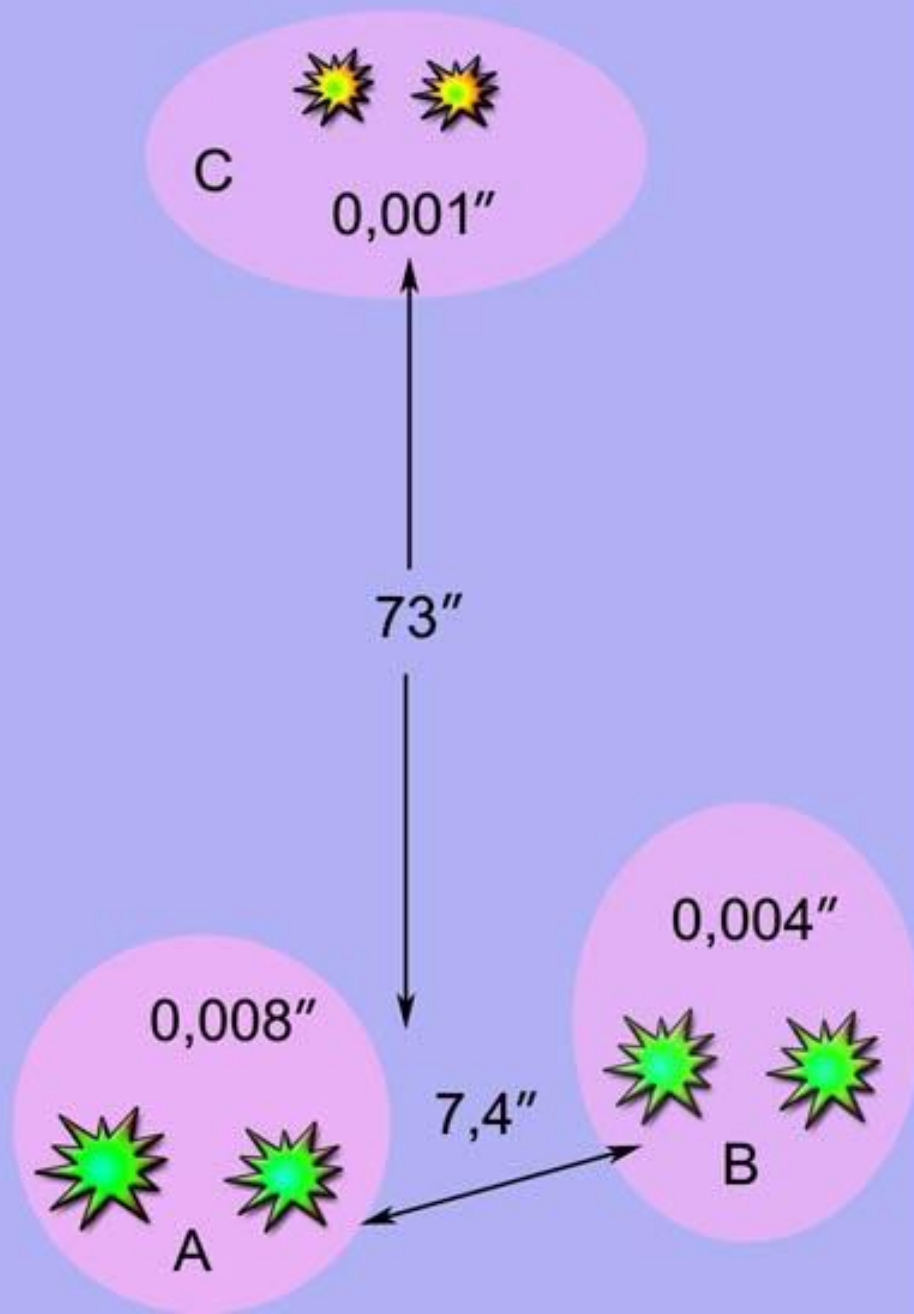


б

*Формирование
двойной системы
в результате
приливного захвата*

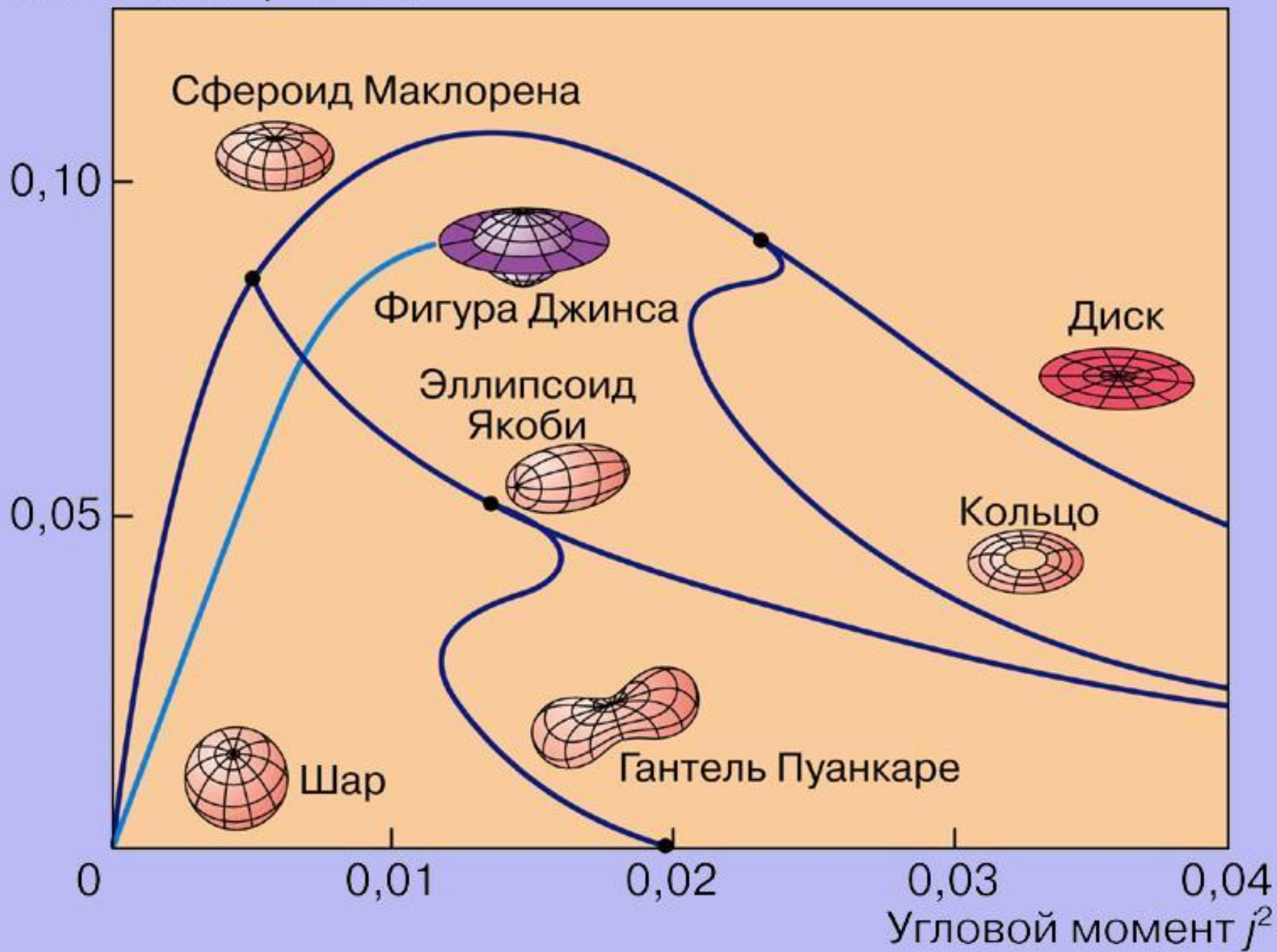


Система α Gem



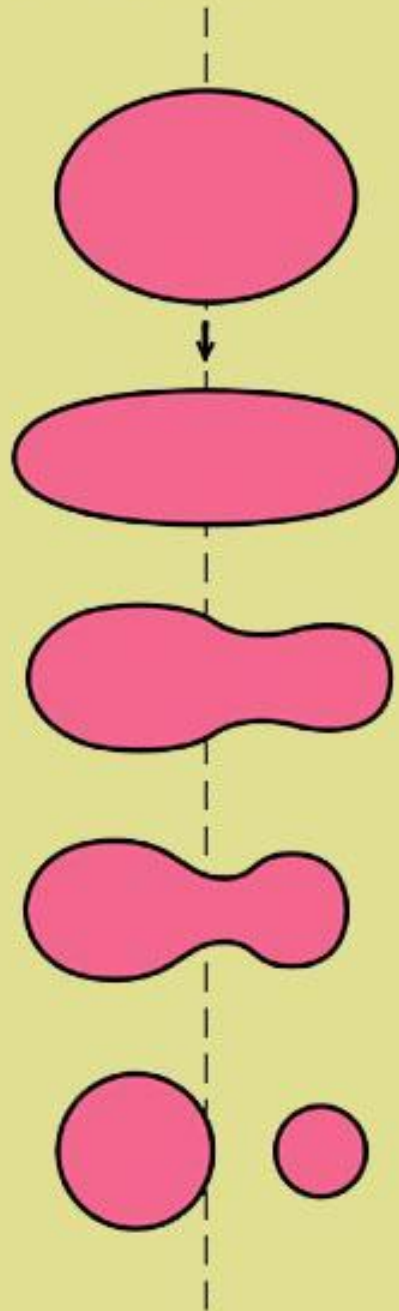
К а с т о р
6-кратная
звезда

Угловая скорость ω^2

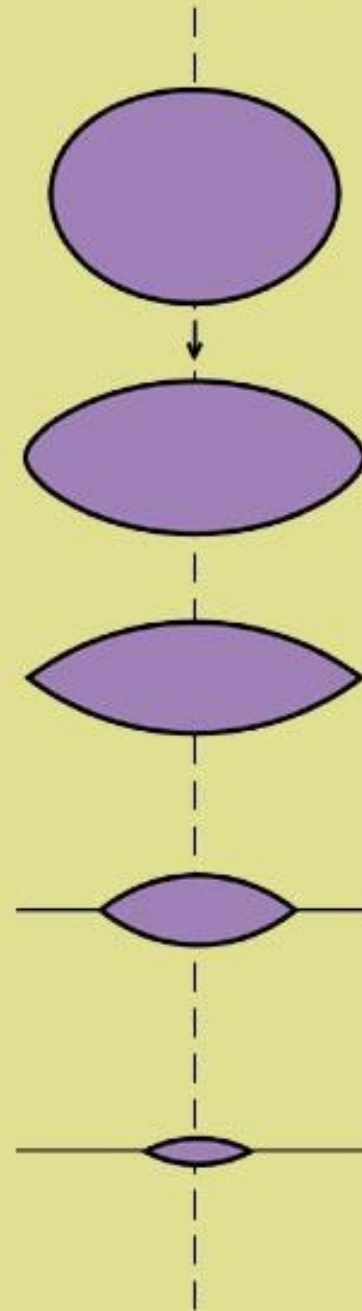


Эволюция вращающегося самогравитирующего тела

Тело
однородной
плотности
("жидкое")

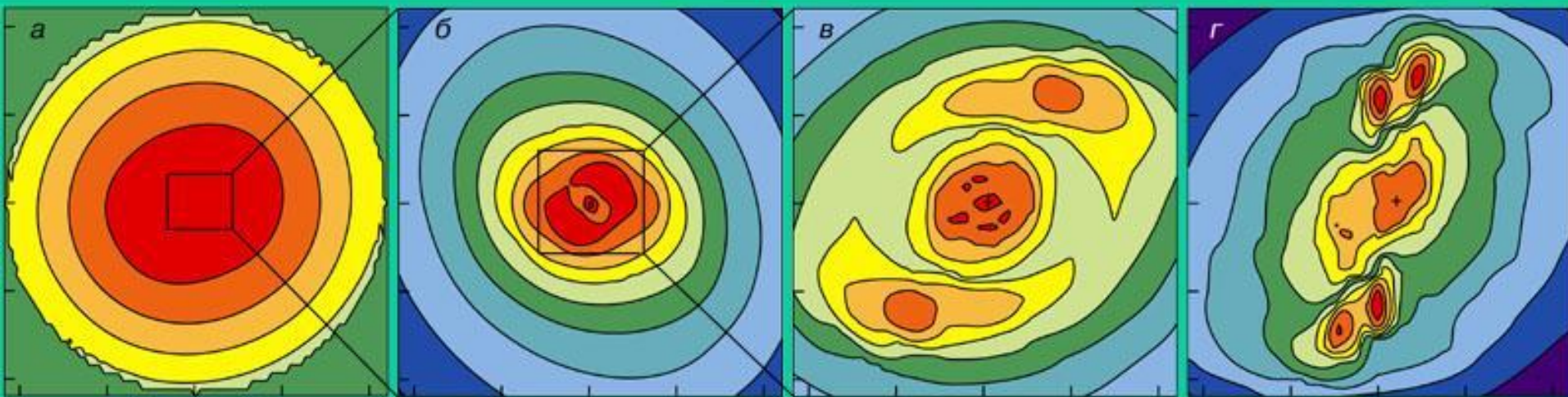


Тело
с сильной
концентрацией
к центру
(газовое)



Коллапс и фрагментация вращающегося межзвездного облака

в трехмерной модели Алана Босса (Институт Карнеги, США)



0,35

1,38

1,42

1,44

Время

в единицах начального времени свободного падения

($t_{ff} = 16\ 000$ лет)

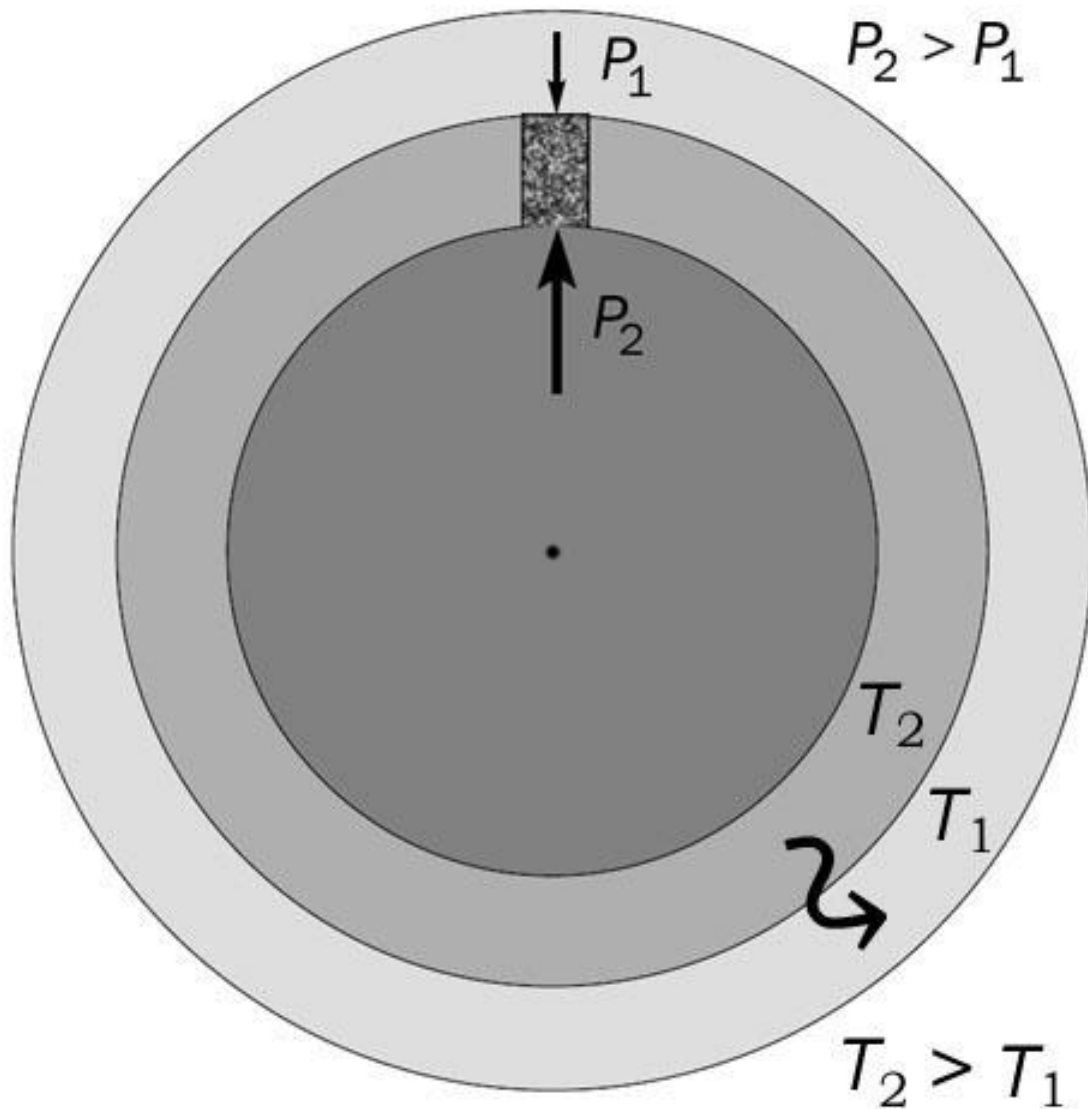


www.eso.org



ЗВЁЗДЫ
ВНУТРЕННЕЕ СТРОЕНИЕ
И ИСТОЧНИКИ ЭНЕРГИИ

Гидростатическая модель звезды



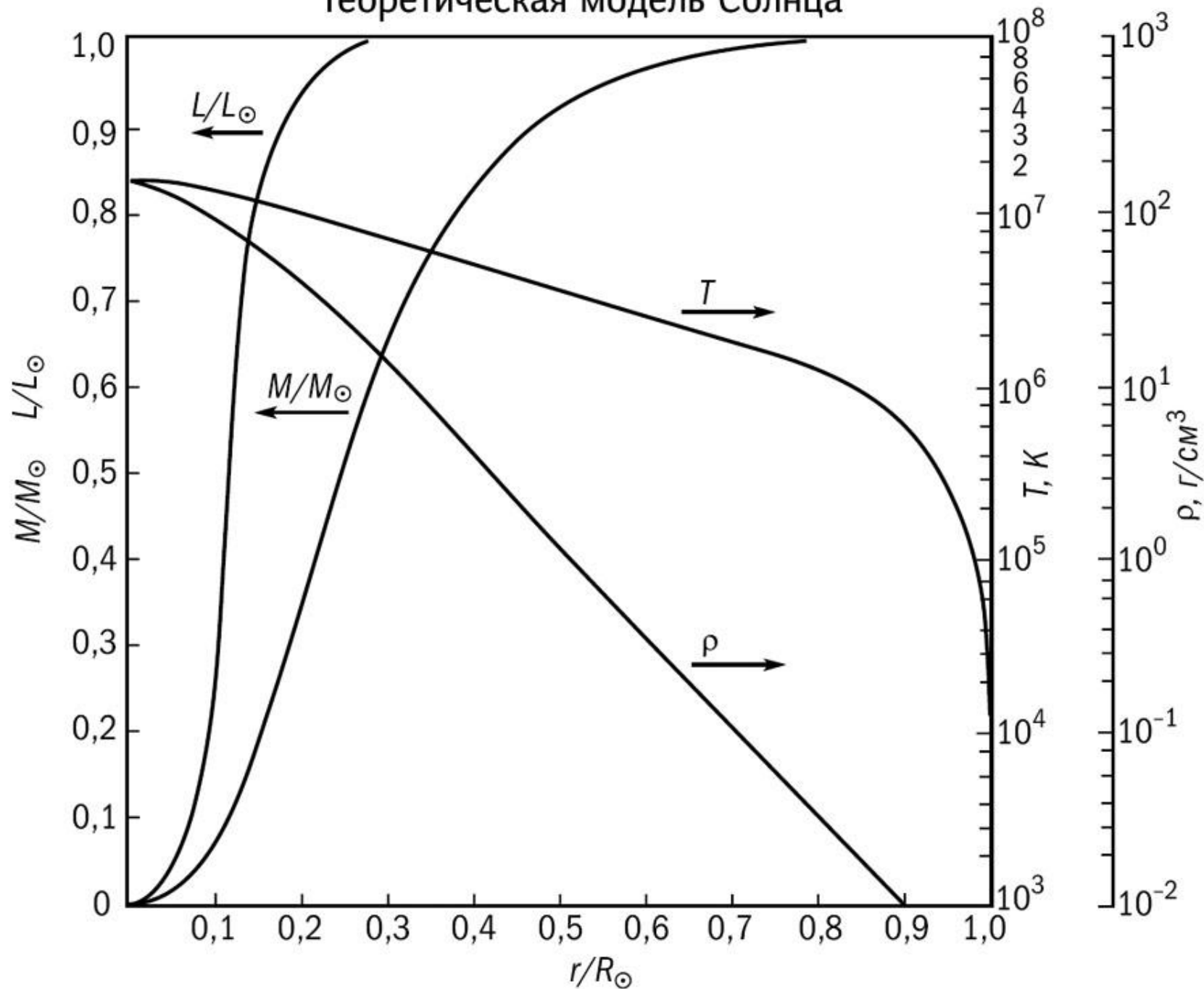
В равновесии вес элемента объема уравнивается за счет разности давления в соседних слоях звезды.

А потеря энергии с поверхности (в виде излучения) компенсируется её переносом из недр наружу разными механизмами теплопроводности.

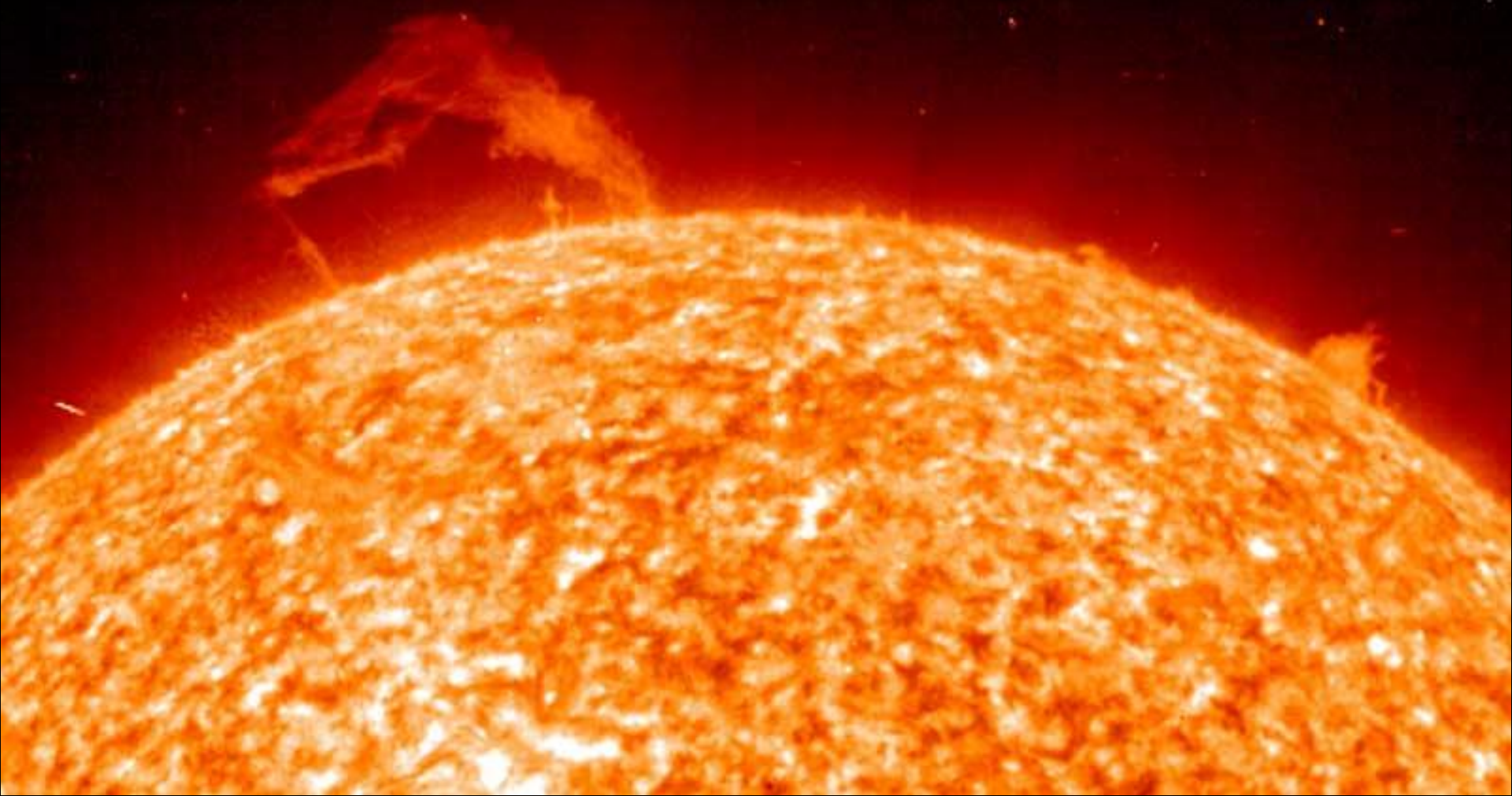
Важно:

$$P = P_{\text{gas}} + P_{\text{rad}}$$

Теоретическая модель Солнца



Источники энергии звёзд



Химические реакции

уголь, нефть, газ
 $C + O \rightarrow CO, CO_2$

2×10^7 Дж/кг

Химические реакции

$$M_{\odot} = 2 \times 10^{33} \text{ г} = 2 \times 10^{30} \text{ кг}$$

$$L_{\odot} = 4 \times 10^{33} \text{ эрг/с} = 4 \times 10^{26} \text{ Вт}$$

$$Q = 2 \times 10^7 \text{ Дж/кг}$$

$$t = \frac{M_{\odot} Q}{L_{\odot}} = \frac{2 \times 10^{30} \cdot 2 \times 10^7}{4 \times 10^{26} \cdot 3 \times 10^7} = 3 \times 10^3 \text{ лет}$$

Работа силы тяжести

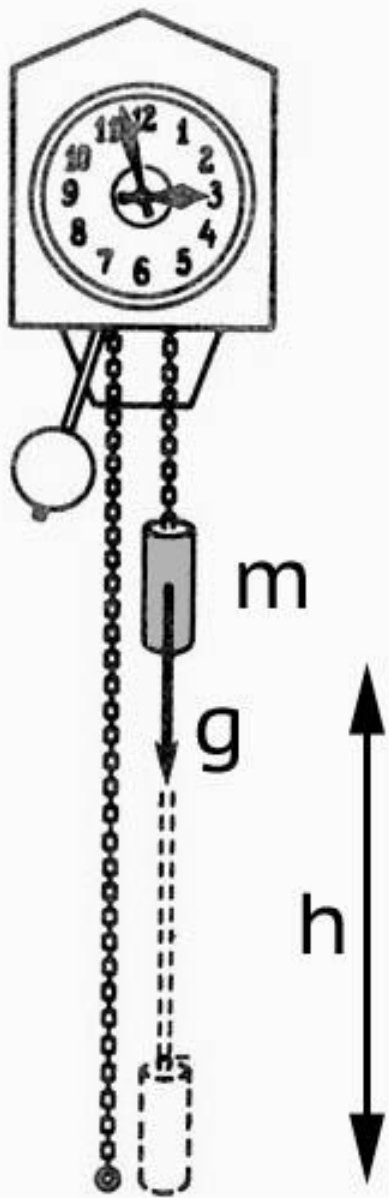
$$E = mgh$$

$$g = \frac{GM}{R^2}$$

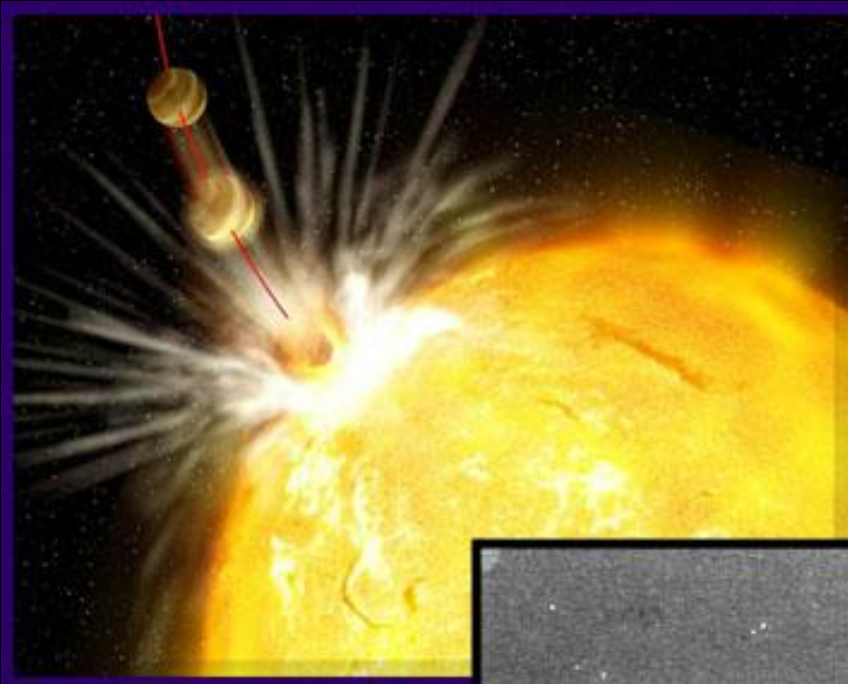
Гравитационная энергия связи

$$m \rightarrow M, \quad h \rightarrow R$$

$$U = \frac{GM^2}{R}$$

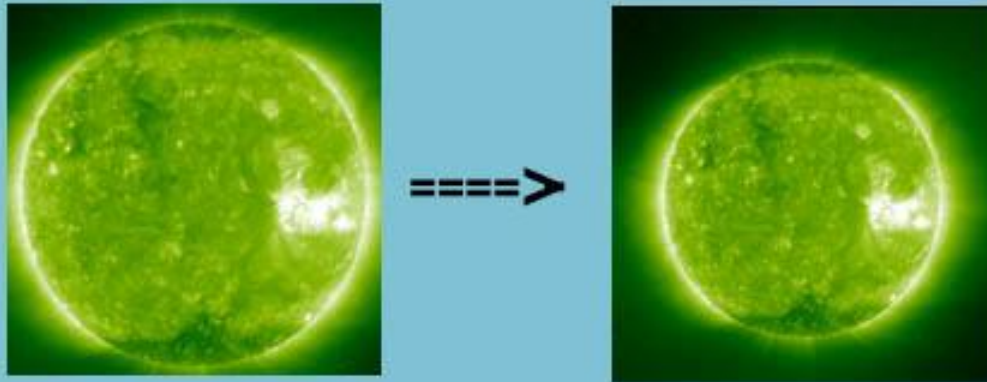


В середине XIX века
в качестве источника
энергии Солнца
рассматривалось
падение на него
космических тел



Зодиакальный
свет убеждал,
что резервуар
мелких спутников
Солнца
действительно
существует

Гипотеза сжатия Солнца (сер. XIX в.)



Майер Ю.Р. (1814-1878)

Гельмгольц Г.Л.Ф. (1821-1894)

лорд Кельвин (У.Томсон, 1824-1907)

Гравитационная энергия Солнца

$$U = \frac{G M^2}{R}$$

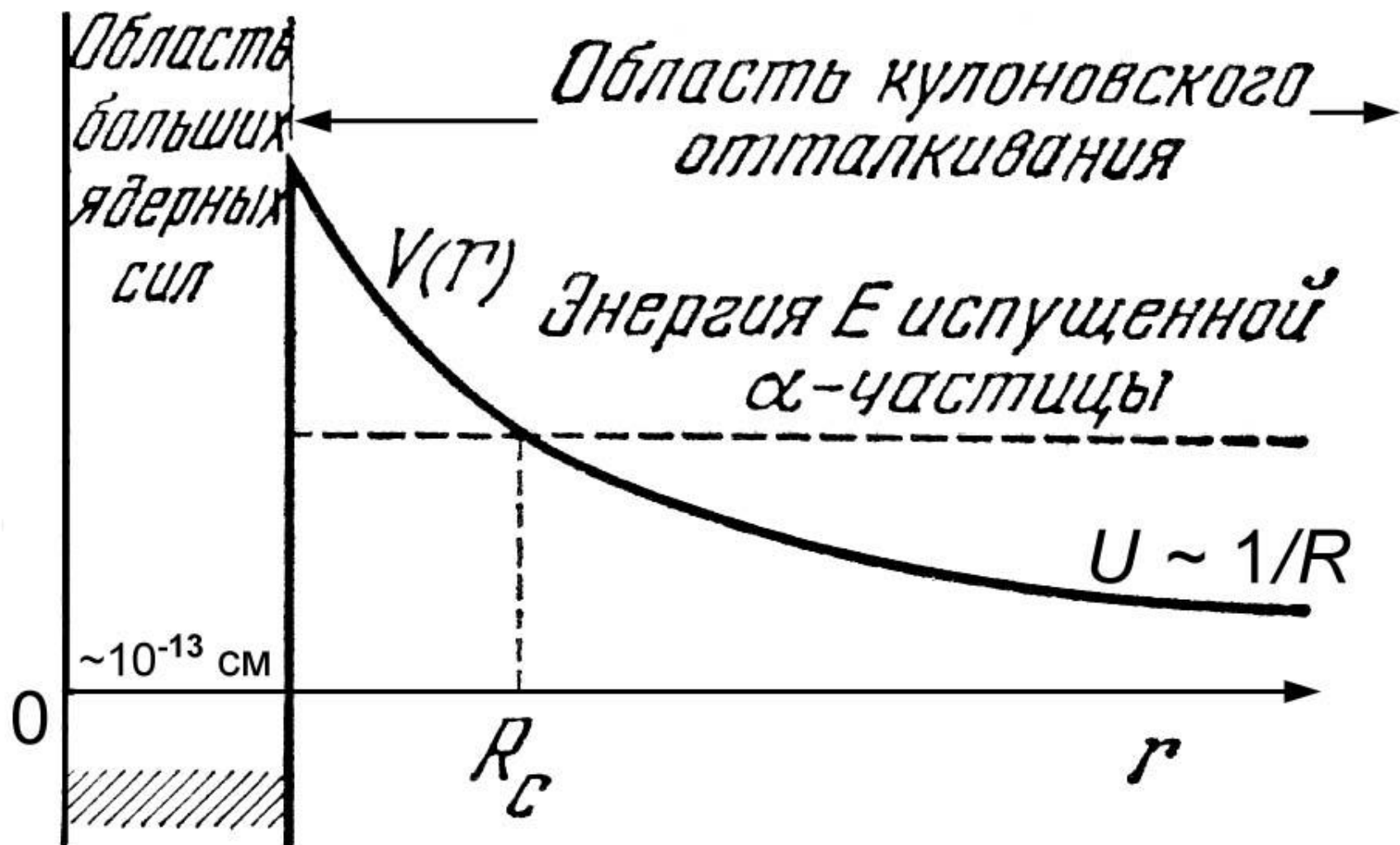
Время высвечивания гравитационной энергии

$$t = U/2L = 30 \text{ млн лет}$$

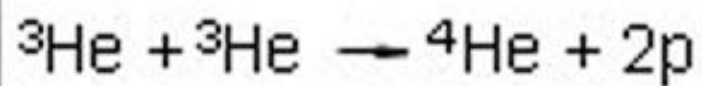
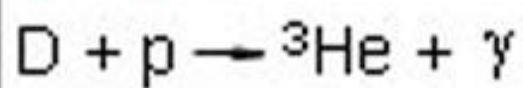
ПЕРИОДИЧЕСКАЯ СИСТЕМА ХИМИЧЕСКИХ ЭЛЕМЕНТОВ Д. И. МЕНДЕЛЕЕВА

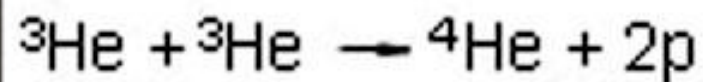
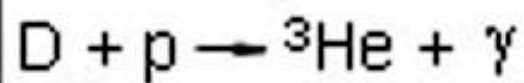
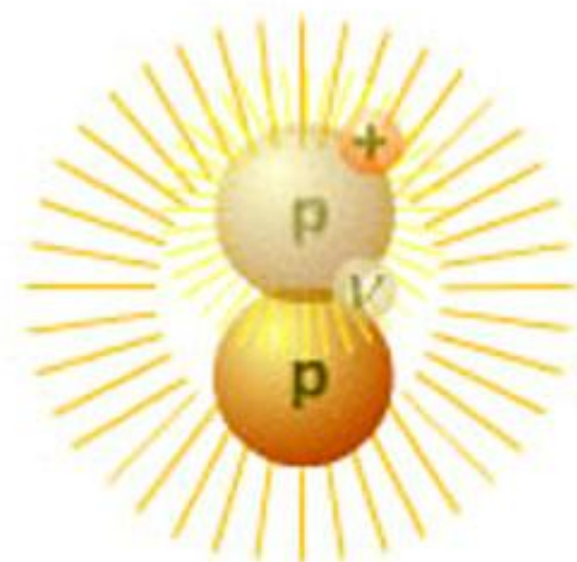
№	I		II		III		IV		V		VI		VII		VIII		№
	a	b	a	b	a	b	a	b	a	b	a	b	a	b	a	b	
1	ВОДОРОД 1,00797 H 1, 2														ГЕЛИЙ 4,0026 He 3, 4		1
2	ЛИТИЙ 6,939 Li 6, 7		БЕРИЛЛИЙ 9,0122 Be 8, 9		БОР 10,811 B 10, 11		УГЛЕРОД 12,01115 C 12, 13		АЗОТ 14,0067 N 14, 15		КИСЛОРОД 15,9994 O 16-18		ФТОР 18,9984 F 19		НЕОН 20,183 Ne 20-22		2
3	НАТРИЙ 22,9898 Na 23		МАГНИЙ 24,312 Mg 24-26		АЛЮМИНИЙ 26,9815 Al 27		КРЕМНИЙ 28,086 Si 28-30		ФОСФОР 30,9738 P 31		СЕРА 32,064 S 32-34		ХЛОР 35,453 Cl 35, 37		АРГОН 39,948 Ar 38, 40		3
4	КАЛИЙ 39,102 K 39, 41		КАЛЬЦИЙ 40,08 Ca 42-44		СКАНДИЙ 44,956 Sc 45		ТИТАН 47,90 Ti 46-48-50		ВАНАДИЙ 50,942 V 51, 23		ХРОМ 51,996 Cr 52-54		МАРГАНЕЦ 54,938 Mn 55, 25		ЖЕЛЕЗО 55,847 Fe 26, 27 58,933 Co 27 58,933 Ni 28		4
5	МЕДЬ 63,54 Cu 29		ЦИНК 65,37 Zn 30		ГАЛЛИЙ 69,72 Ga 69, 71		ГЕРМАНИЙ 72,59 Ge 70, 72-74		МЫШЬЯК 74,9216 As 75		СЕЛЕН 78,96 Se 74, 34		БРОМ 79,909 Br 79, 81		КРИПТОН 83,80 Kr 80, 82-84		5
6	РУБИДИЙ 85,47 Rb 85		СТРОНЦИЙ 87,62 Sr 86-88		ИТРИЙ 88,905 Y 89		ЦИРКОНИЙ 91,22 Zr 90-92		НИОБИЙ 92,906 Nb 93, 41		МОЛИБДЕН 95,94 Mo 92, 42		ТЕХНЕЦИЙ 97,907 Tc 97, 43		РУДИЙ 101,07 Ru 44 106,42 Rh 45 106,42 Pd 46		6
7	СЕРЕБРО 107,870 Ag 47		КАДМИЙ 112,40 Cd 48		ИНДИЙ 114,82 In 49		ОЛОВО 118,69 Sn 114-120		СУРЬМА 121,75 Sb 121, 123		ТЕЛЛУР 127,60 Te 122-126		ИОД 126,9044 I 127, 53		КСЕНОН 131,30 Xe 128-132		7
8	ЦЕЗИЙ 132,905 Cs 133		БАРИЙ 137,34 Ba 130-138		ЛАНТАН** 138,91 La 57		ГАФНИЙ 178,49 Hf 72		ТАНТАЛ 180,948 Ta 73		ВОЛЬФРАМ 183,85 W 74		РЕНИЙ 186,2 Re 75		ОСМИЙ 190,23 Os 76 192,22 Ir 77 192,22 Pt 78		8
9	ЗОЛОТО 196,967 Au 79		РУТУТЬ 200,59 Hg 80		ТАЛЛИЙ 204,37 Tl 203, 205		СВИНЕЦ 207,19 Pb 204, 206-208		ВИСМУТ 208,980 Bi 209		ПОЛОНИЙ 209 Po 210-214		АСТАТИН 210 At 215		ЗМАНАЦИЯ 222 Em 212 (214) 223 Fr 216-218 223 Ra 219-221		9
10	ФРАНЦИЙ 223,020 Fr 219		РАДИЙ 226,025 Ra 224		АКТИНИЙ*** 227,028 Ac 89		ЗКАФНИЙ 264 E-Nf 104		ЭКАТАНТАЛ 271, 273 E-Ta 105		ЭКАВОЛЬФРАМ 272-276 E-W 106		ЭКАРЕНИЙ 277 E-Re 107		ОСМИЙ 223,020 Os 108 223,020 Ir 109 223,020 Pt 110		10
11	ЭКАЗОЛОТО 287 E-Au 111		ЭКАРУТУТЬ 288-292 E-Hg 112		ЭКАТАЛЛИЙ 293 E-Tl 113		ЭКАСВИНЕЦ 292 E-Pb 294-298		ЭКАВИСМУТ 299 E-Bi 299		ЭКАПОЛОНИЙ 300-304 E-Po 306		ЭКААСТАТИН 305 E-At 305		ЭКАЗМАНАЦИЯ 304 E-Em 306-310		11

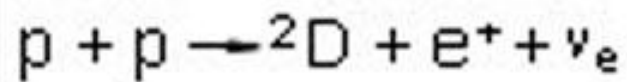
** ЛАНТАНИДЫ		*** АКТИНИДЫ	
КОБАЛЬТ 27 Co 58,9332	НИКЕЛЬ 58,9332 Ni 28	ЦЕРИЙ 140,12 Ce 58	ПРАЗЕДИМ 140,907 Pr 59
РОДИЙ 102,905 Rh 45	ПАЛАДИЙ 106,4 Pd 46	ТЕРБИЙ 158,924 Tb 65	ДИСПРОЗИЙ 162,50 Dy 66
ИРИДИЙ 192,22 Ir 77	ПЛАТИНА 195,09 Pt 78	ТОРИЙ 232,038 Th 90	ПРОТАКТИНИЙ 231,036 Pa 91
ЭКАИРИДИЙ 288 E-Ir 109	ЭКАПАЛАДИЙ 288 E-Pt 110	БЕРКЕЛИЙ 247,07 Bk 97	КАЛИФОРНИЙ 251 Cf 98
			ЭЙНШТЕЙНИЙ 254,088 Es 99
			ФЕРМИЙ 254,088 Fm 100
			МЕНДЕЛЕВИЙ 288 Md 101
			НОБЕЛИЙ 289 No 102
			ЛУРЕНСКИЙ 260 Lw 103

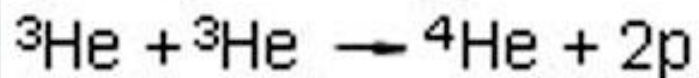
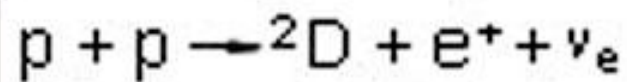


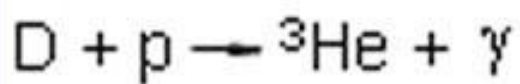
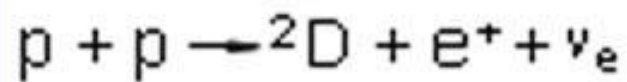
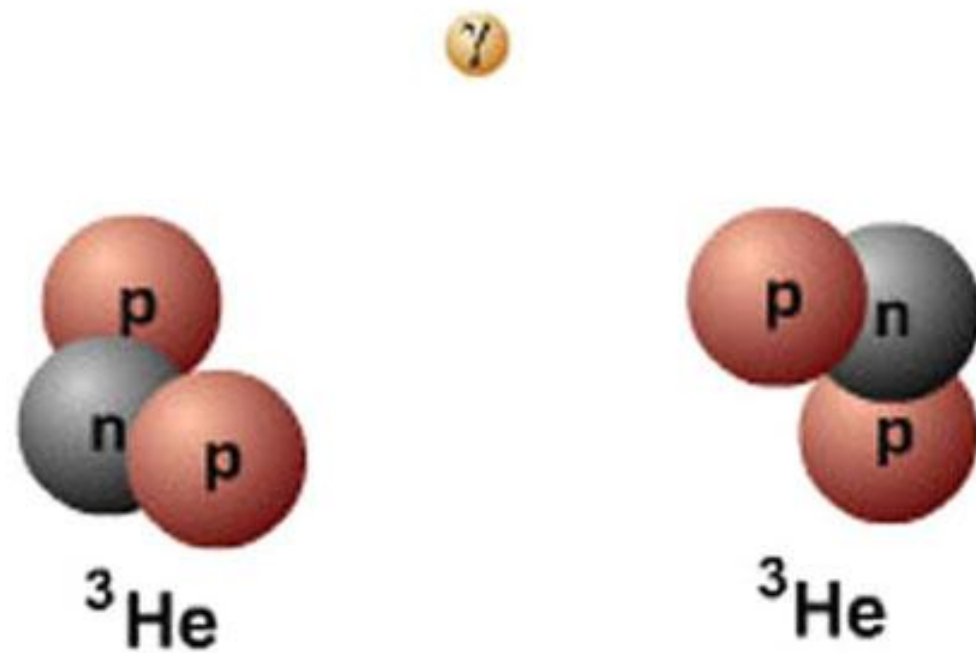
Потенциальная энергия α -частицы
вблизи атомного ядра

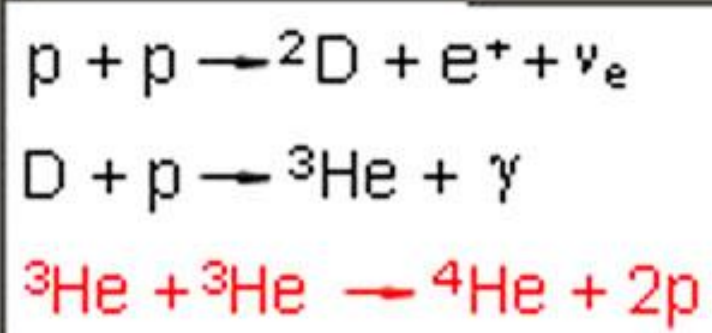
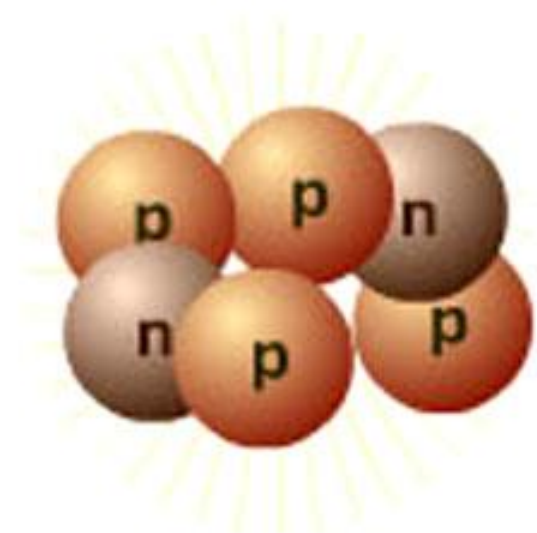


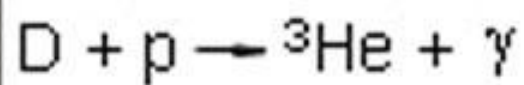
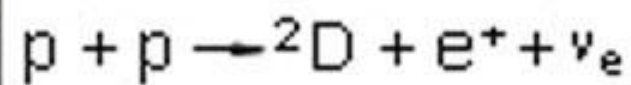
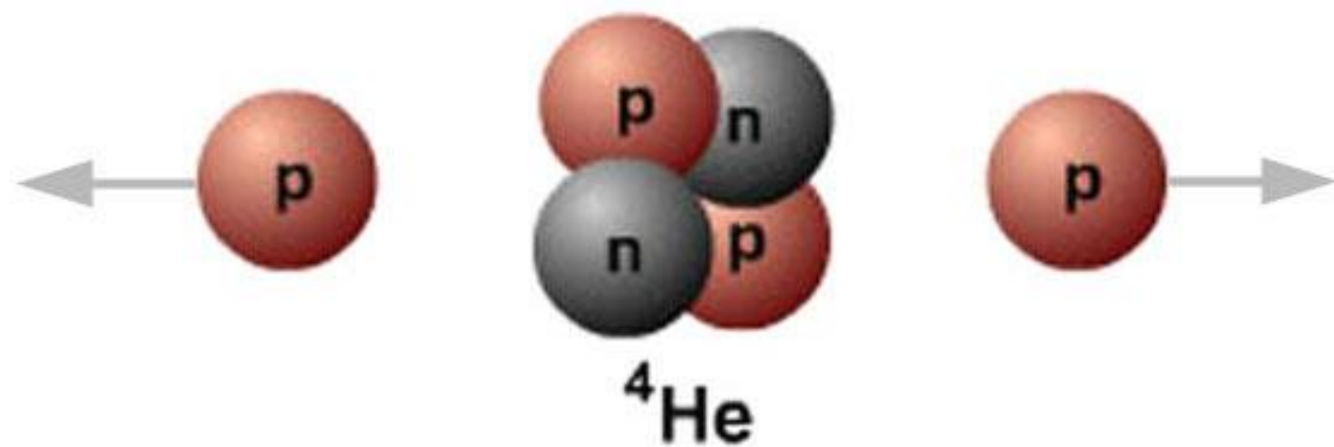


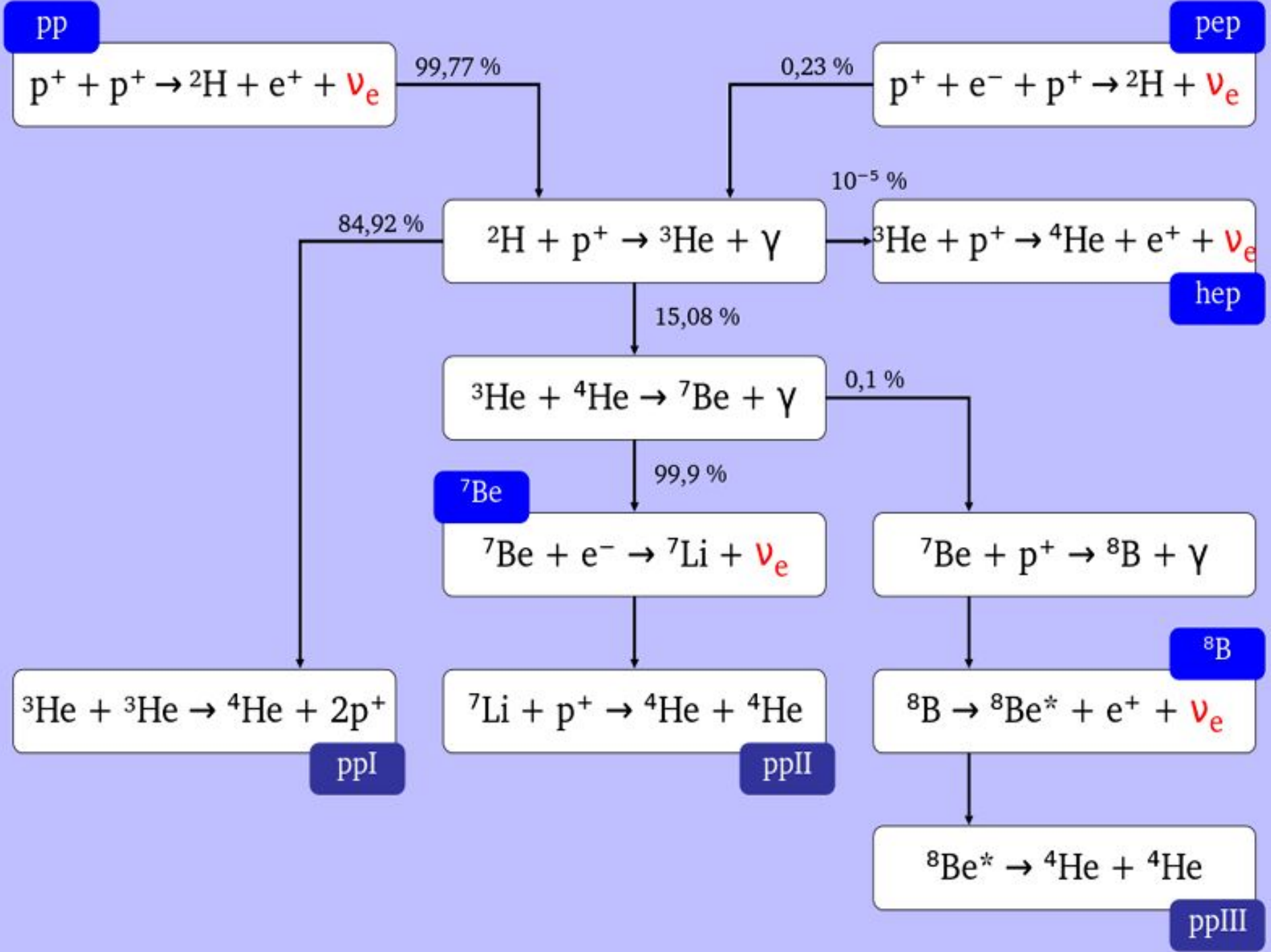








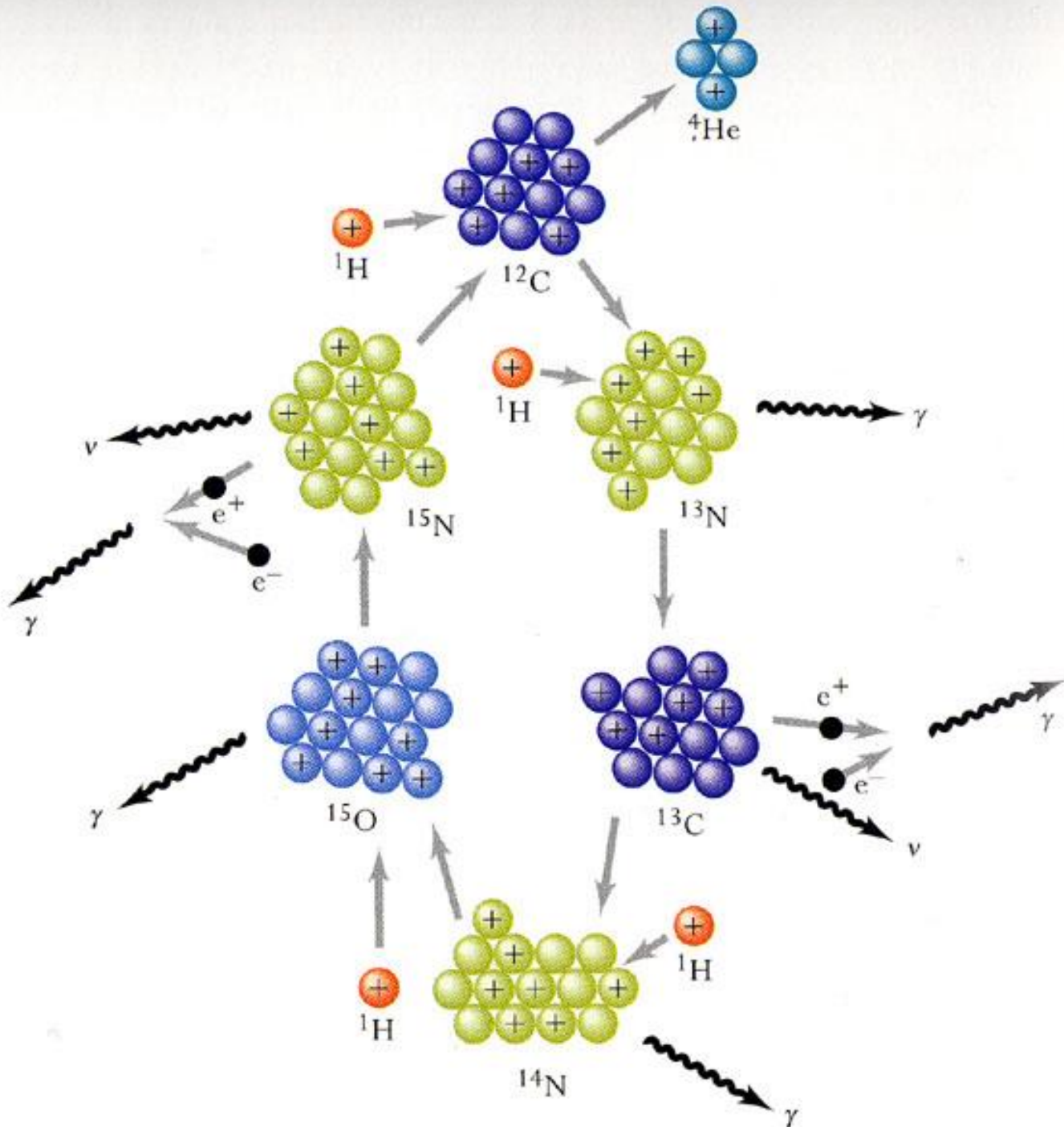


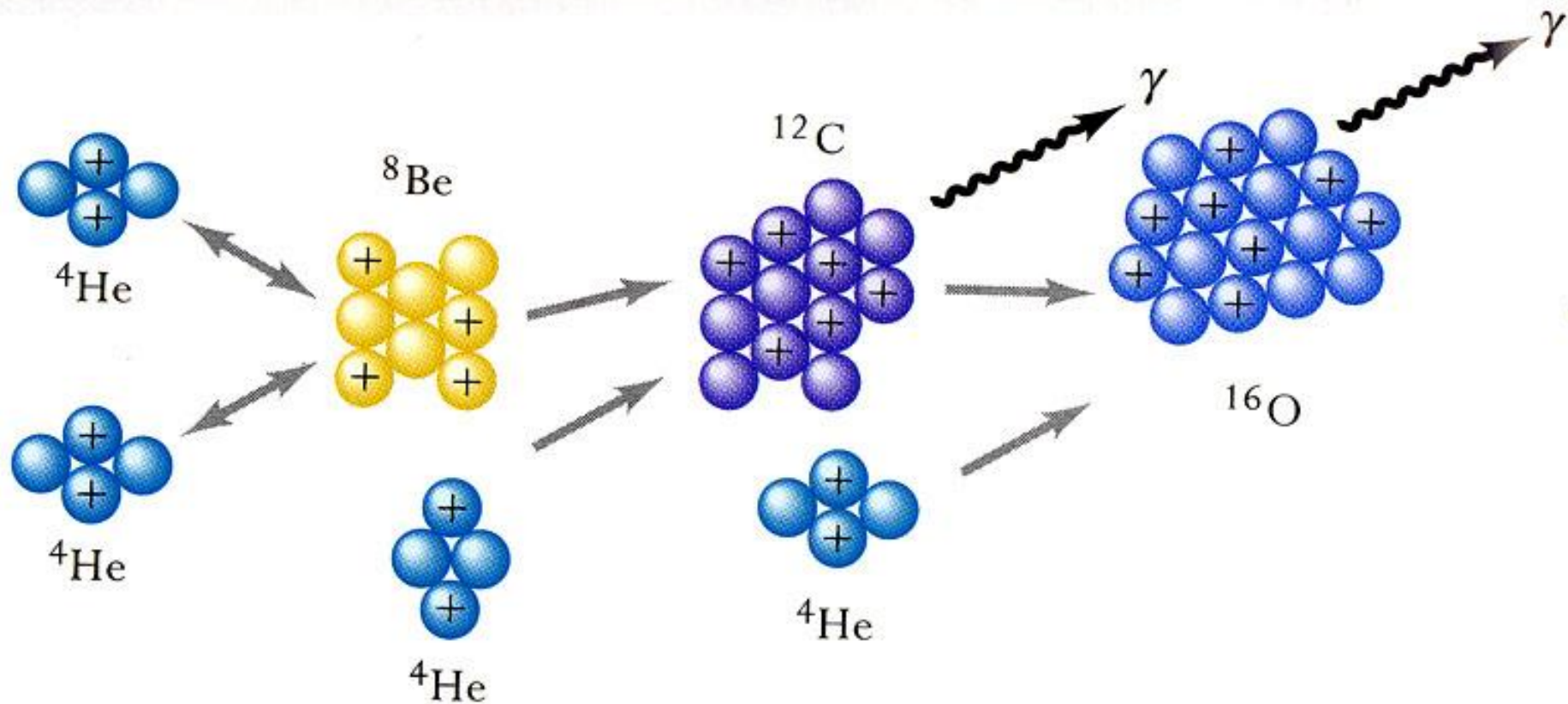


Углеродно-азотный цикл

CNO-цикл

Carbon cycle





3 α -реакция

Стадии генерации ядерной энергии

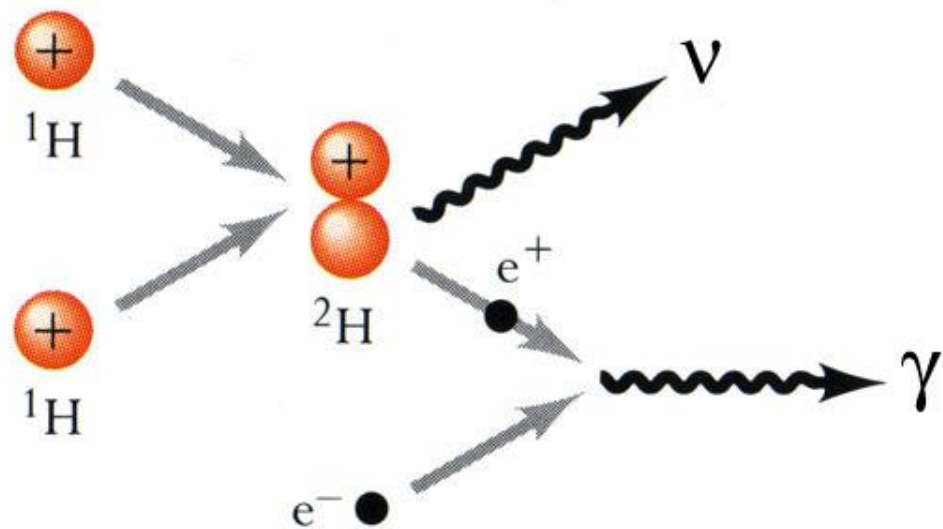
Процесс	Топливо	Продукты реакции	Примерная температура
Горение водорода	Водород	Гелий	$(1-3) \times 10^7$ К
Горение гелия	Гелий	Углерод, кислород	2×10^8
Горение углерода	Углерод	Кислород, неон, натрий, магний	8×10^8
Горение неона	Неон	Кислород, магний	$1,5 \times 10^9$
Горение кислорода	Кислород	От магния до серы	2×10^9
Горение кремния	От магния до серы	Элементы, близкие к железу	3×10^9

Параметры звезд главной последовательности

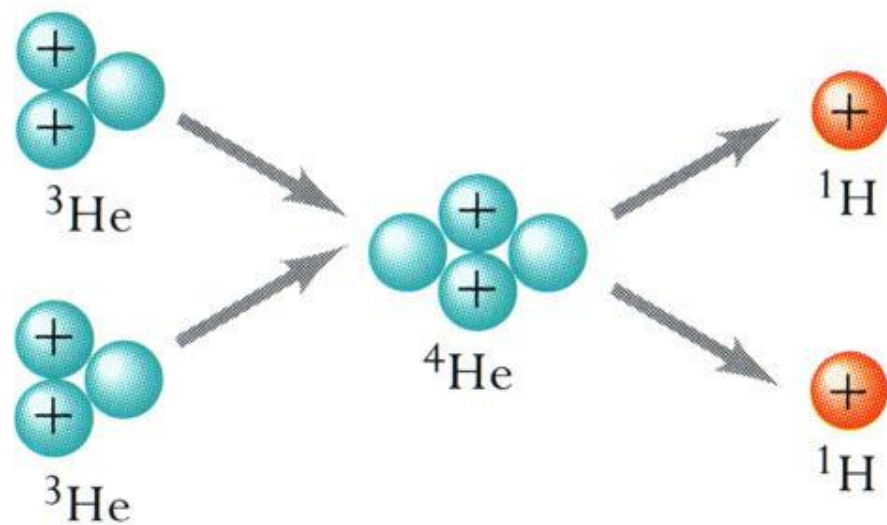
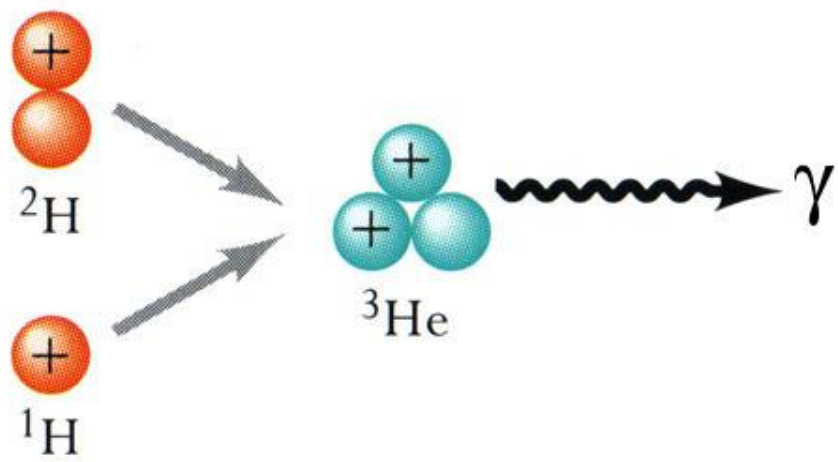
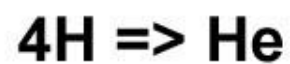
Масса, M_{\odot}	Радиус, R_{\odot}	Светимость, L_{\odot}	Температура, К	Спектральный класс	Время жизни, лет
120	15,8	1 800 000	53 300	O3	3 млн
60	10,6	530 000	48 200	O4	4
27	8,5	140 000	38 000	O7	8
16	5,7	16 000	32 000	B0	13
8,3	4,8	2 500	17 000	B3	34
5,4	3,7	750	15 000	B5	80
3,5	2,7	130	12 500	B8	220
2,6	2,3	63	9 500	A0	480
2,2	2,0	40	9 000	A2	770
1,8	1,7	11	8 100	A7	1 400
1,5	1,3	6,3	7 100	F2	2 500
1,2	1,1	2,5	6 100	F8	5 300
1,0	1,00	1,10	5 800	G2	10 млрд
0,85	0,87	0,44	5 300	G8	18
0,78	0,79	0,28	4 830	K2	25
0,58	0,67	0,12	3 900	K8	70
0,47	0,63	0,075	3 670	M0	150
0,33	0,36	0,030	3 400	M2	230
0,2	0,21	0,005	3 200	M4	800

Физические параметры звезд

$M (M_{\odot})$	$R (R_{\odot})$	ρ (г/см ³)	ρ_c (г/см ³)	T_c (10 ⁶ К)	$L (L_{\odot})$	Спектр
<i>Главная последовательность нулевого возраста</i>						
50	11	0,053	2,0	37	5×10^5	O6
20	7,2	0,075	5,0	35	5×10^4	O9
10	4,9	0,13	8,9	31	5000	B2
5	3,5	0,16	20	27	630	B6
2	1,9	0,41	68	21	25	A5
1	0,94	1,7	90	14	0,8	G3
0,3	0,30	16	100	8	0,015	M3
0,2	0,22	26	158	7	0,006	M4
0,1	0,12	81	690	5	0,001	M5
0,085	0,074	290	2000	4	0,0004	M6
<i>Красный гигант</i>						
1,3	27	0,0001	320	40	150	K2
<i>Белый карлик</i>						
0,9	0,01	10^6	$1,6 \times 10^7$	8	0,001	



Протон-протонная реакция



Хлорный
детектор
солнечных
нейтрино
(Хоумстейк,
Ю. Дакота)

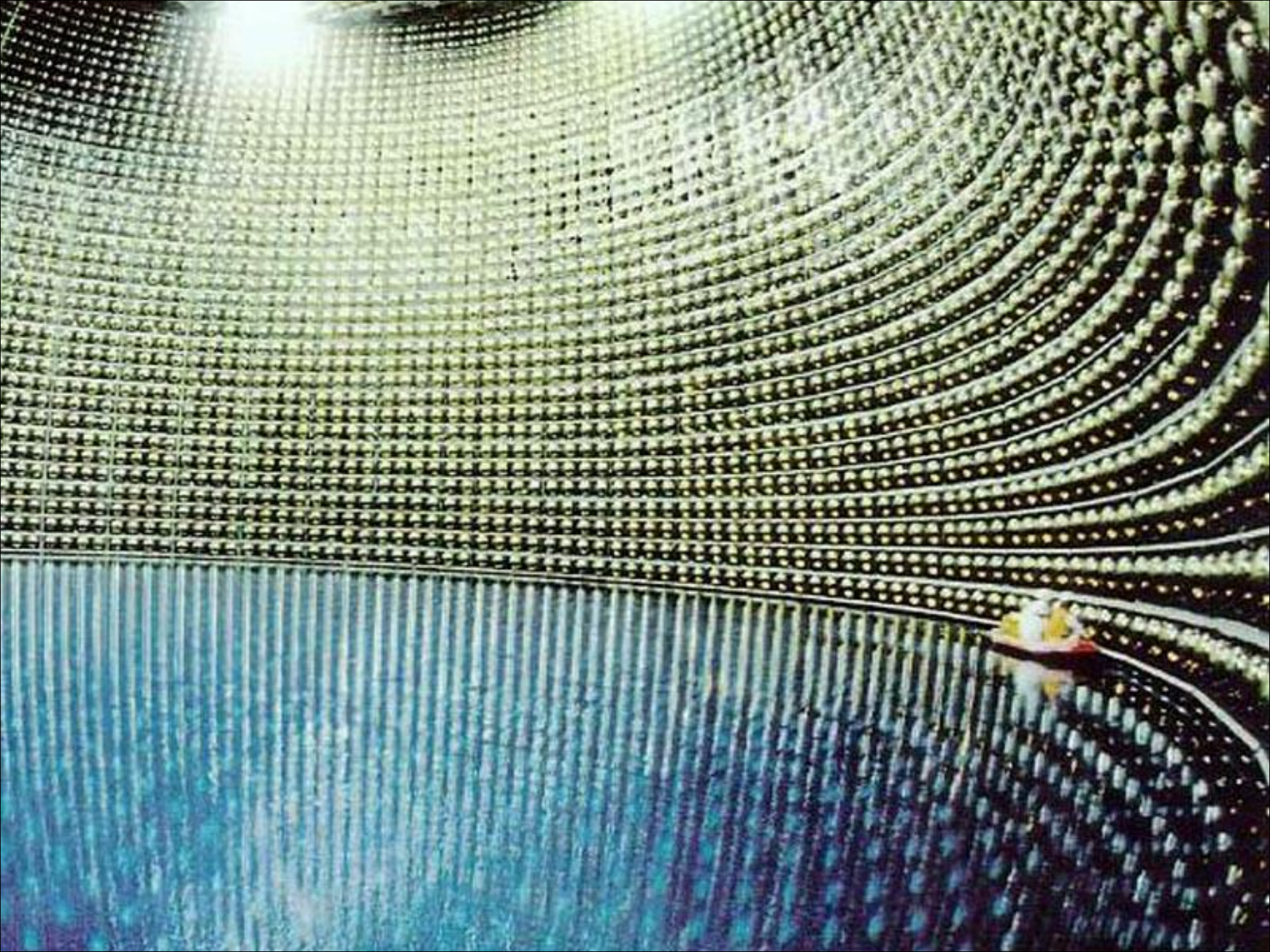
Глубина 1,5 км

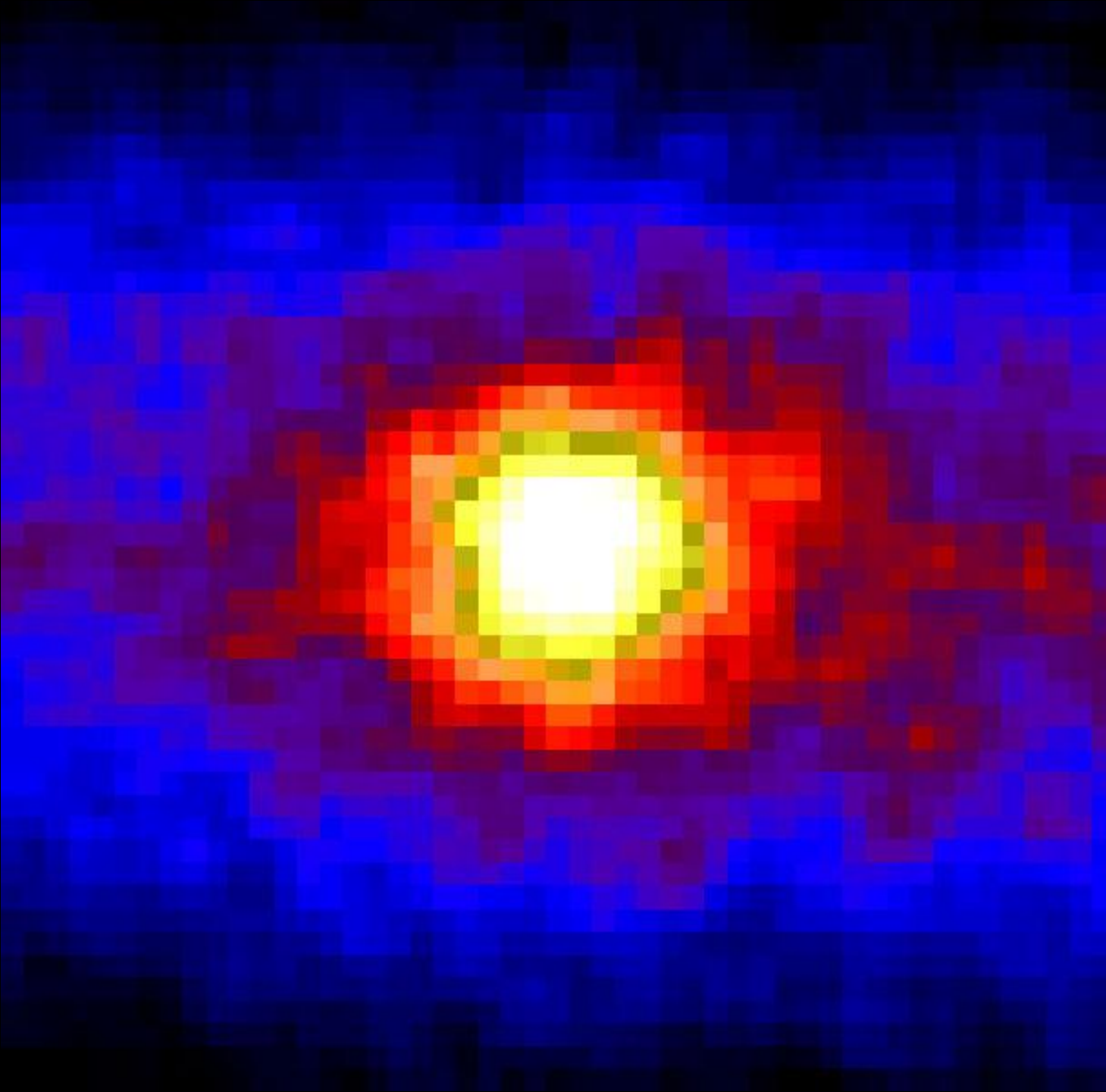
Объем 380 тыс л

Вещество -
тетрахлорэтилен
 C_2Cl_4

Авторы -
Раймонд Дэвис
и др. (1968-96)







Изображение
Солнца,
полученное
детектором
нейтрино
Суперкамиоканде
в 1998 г.

Экспозиция
500 сут

Ширина кадра
90 градусов

Three Generations of Matter (Fermions)

	I	II	III	
mass →	2.4 MeV/c ²	1.27 GeV/c ²	171.2 GeV/c ²	0
charge →	$\frac{2}{3}$	$\frac{2}{3}$	$\frac{2}{3}$	0
spin →	$\frac{1}{2}$	$\frac{1}{2}$	$\frac{1}{2}$	1
name →	u up	c charm	t top	γ photon
Quarks	4.8 MeV/c ²	104 MeV/c ²	4.2 GeV/c ²	0
	$-\frac{1}{3}$	$-\frac{1}{3}$	$-\frac{1}{3}$	0
	$\frac{1}{2}$	$\frac{1}{2}$	$\frac{1}{2}$	1
	d down	s strange	b bottom	g gluon
Leptons	<2.2 eV/c ²	<0.17 MeV/c ²	<15.5 MeV/c ²	91.2 GeV/c ²
	0	0	0	0
	$\frac{1}{2}$	$\frac{1}{2}$	$\frac{1}{2}$	1
	ν_e electron neutrino	ν_μ muon neutrino	ν_τ tau neutrino	Z ⁰ Z boson
	0.511 MeV/c ²	105.7 MeV/c ²	1.777 GeV/c ²	80.4 GeV/c ²
	-1	-1	-1	± 1
	$\frac{1}{2}$	$\frac{1}{2}$	$\frac{1}{2}$	1
	e electron	μ muon	τ tau	W [±] W boson
				Gauge Bosons

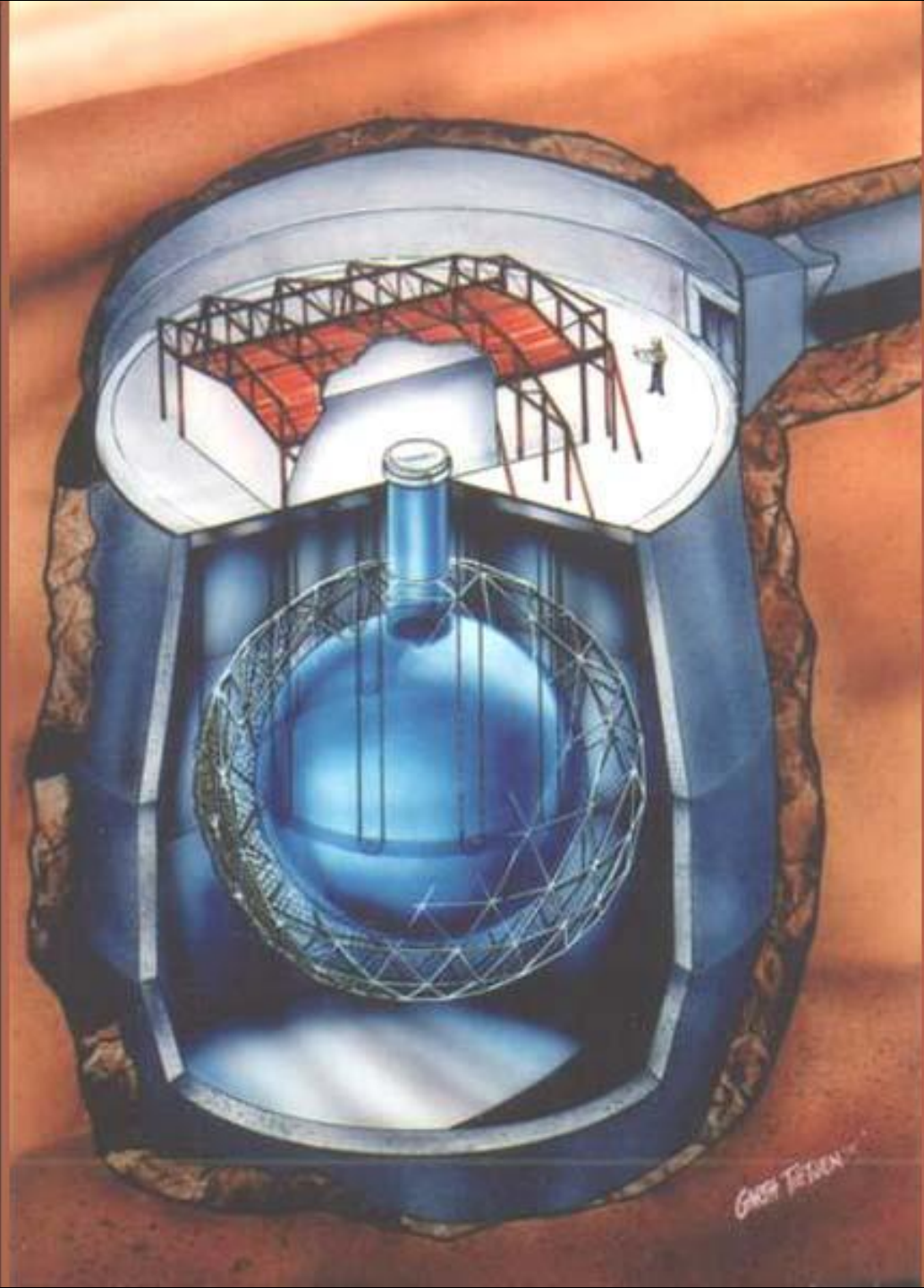
Садберийская нейтринная обсерватория
(г. Садбери, провинция Онтарио, Канада).

1000 тонн тяжелой воды (D_2O) в
прозрачном акриловом (плексигласовом)
шаре диаметром 12 м, окруженном
9600 ФЭУ на геодезической сфере,
диаметром 18 м, погруженной в
резервуар с чистой водой
на глубине 2 км.

В 2002 г. здесь решена проблема
солнечного нейтрино -
зарегистрированы все три типа нейтрино
(ν_e ν_μ ν_τ) в таком общем количестве,
сколько ν_e должно рождаться на Солнце

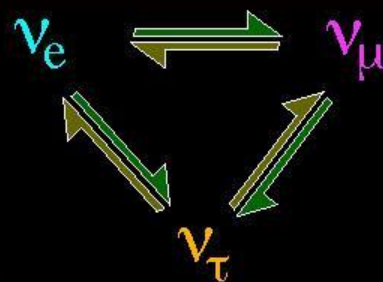
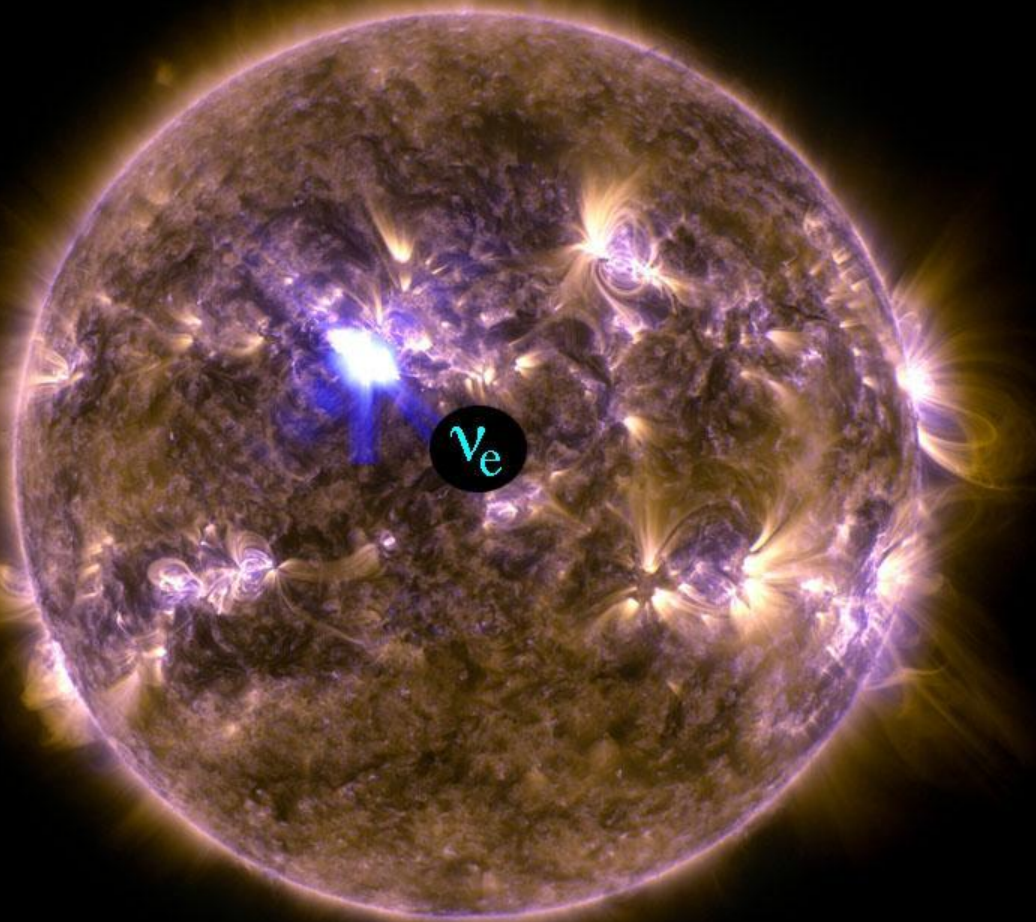
Тем самым доказано, что:

- модель Солнца верна
- нейтрино имеет массу покоя
- происходят осцилляции нейтрино



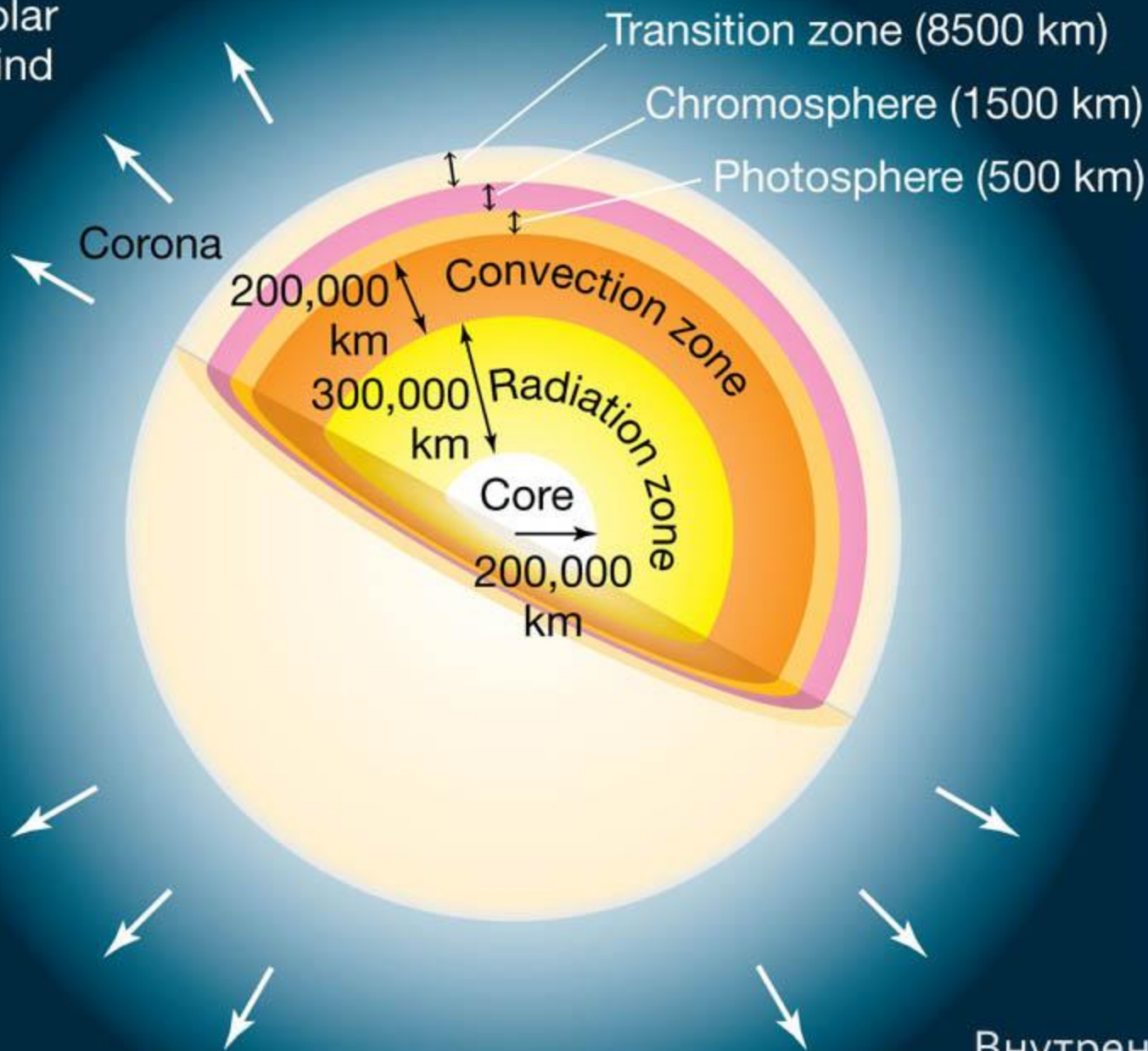
СЕРГЕЙ ФЕДОРОВ

Осцилляции нейтрино по пути от Солнца к Земле



Родившись в недрах Солнца как электронные нейтрино, эти частицы за 8 мин пути к Земле частично превращаются в нейтрино других сортов (ароматов) - мюонные и тау

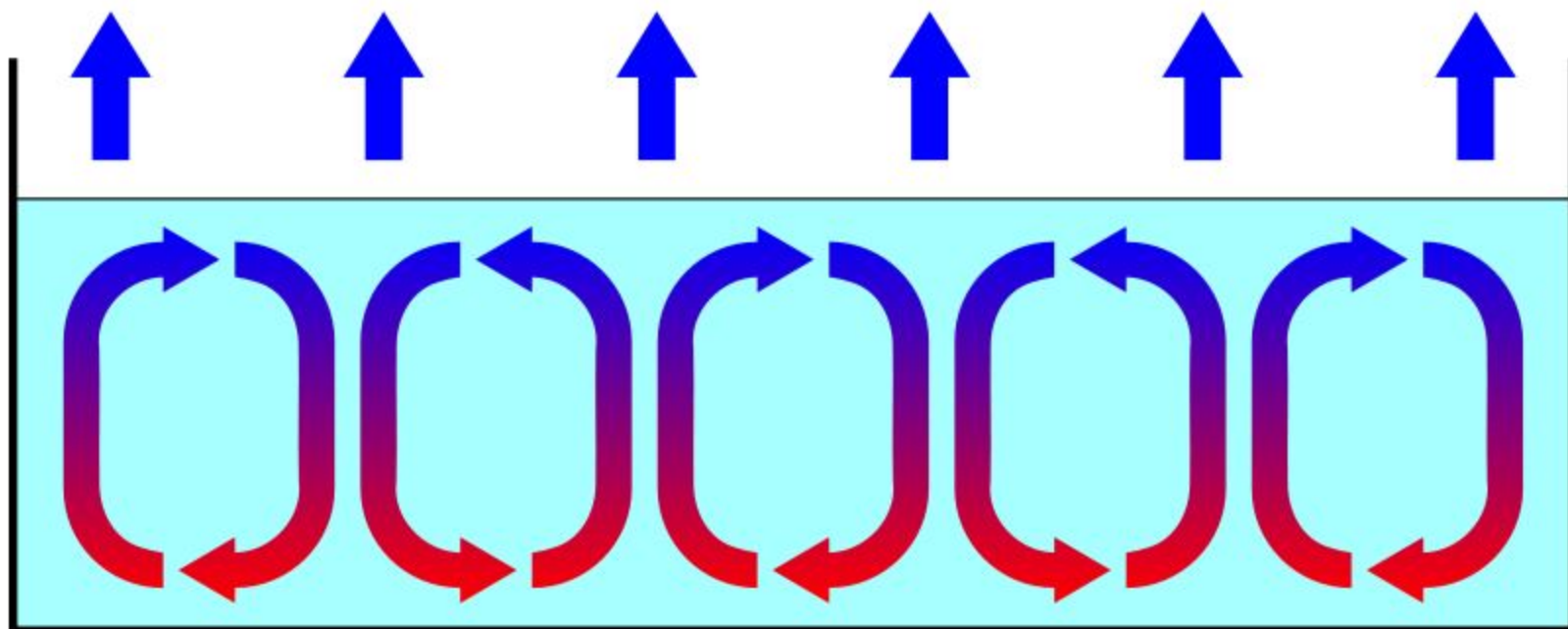
Solar
wind



Внутреннее строение
звезды типа Солнца

Формирование конвективных ячеек Бенара

Охлаждение

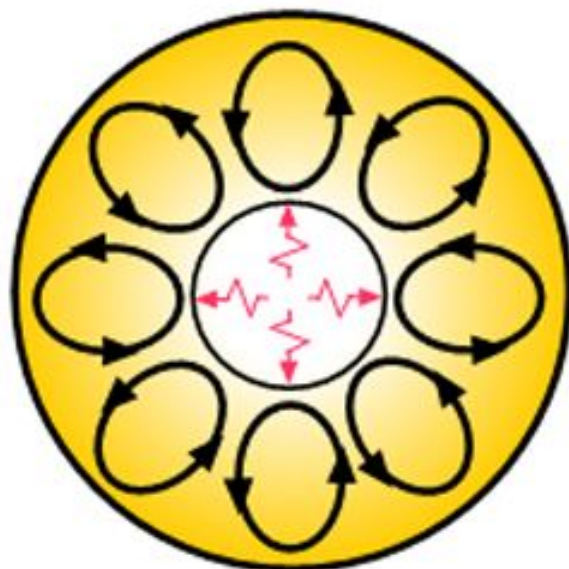


Нагрев

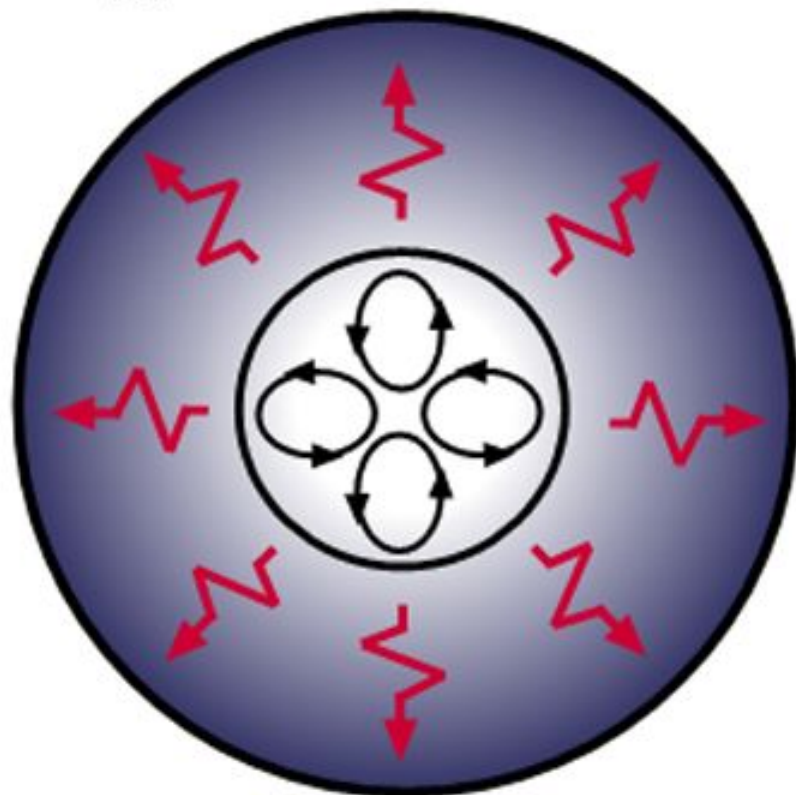
Перенос энергии в недрах звёзд



$M < 0,5$



$0,5 - 1,5$



$M > 1,5$

Масса звезды в массах Солнца

Из трёх известных механизмов переноса энергии (теплопроводность, излучение и конвекция) нормальные звёзды используют два:

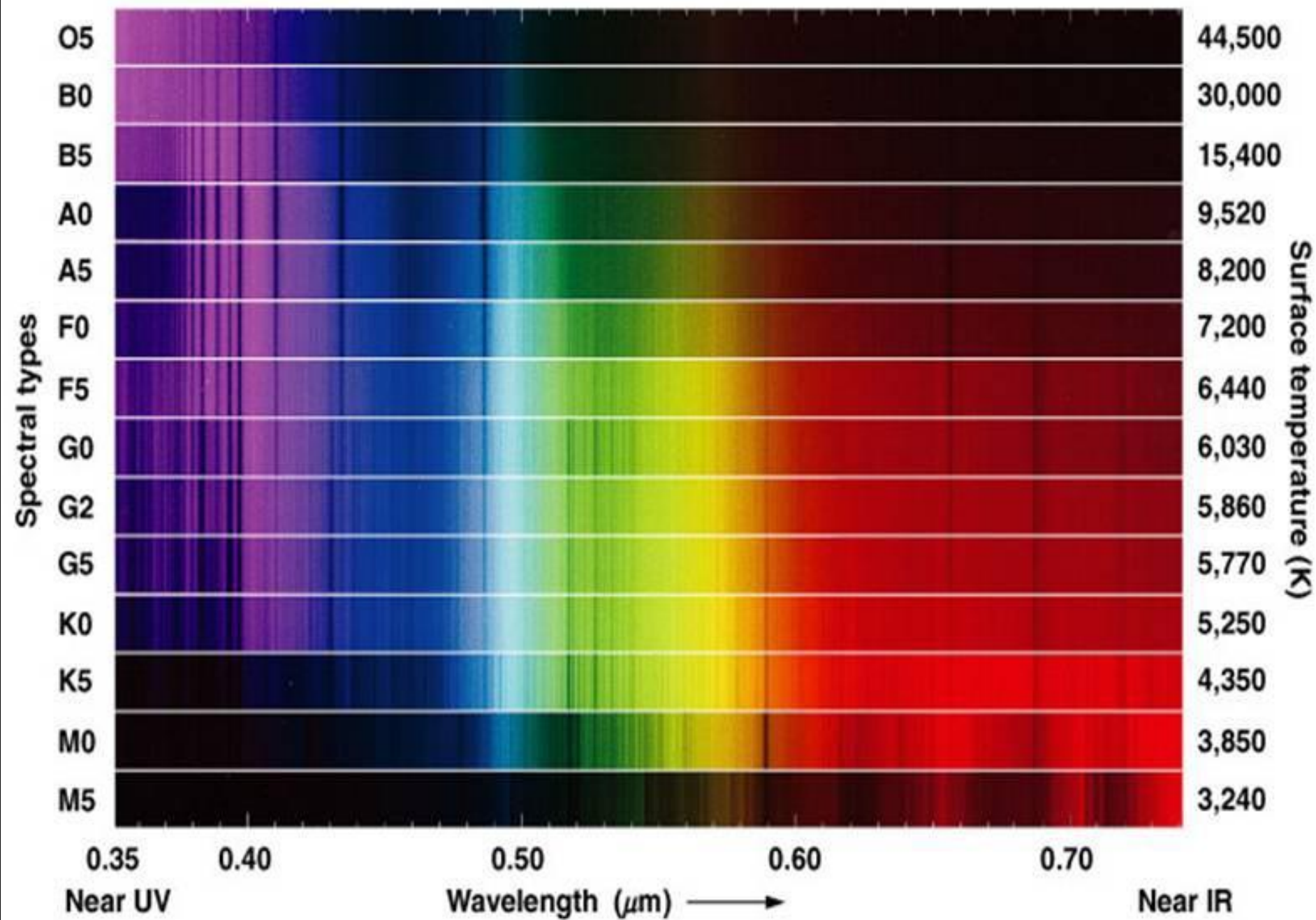
лучистый перенос, т. е. диффузию квантов () и

конвекцию, т. е. макроскорическую циркуляцию вещества ()

Эволюция звезд



Спектры звёзд

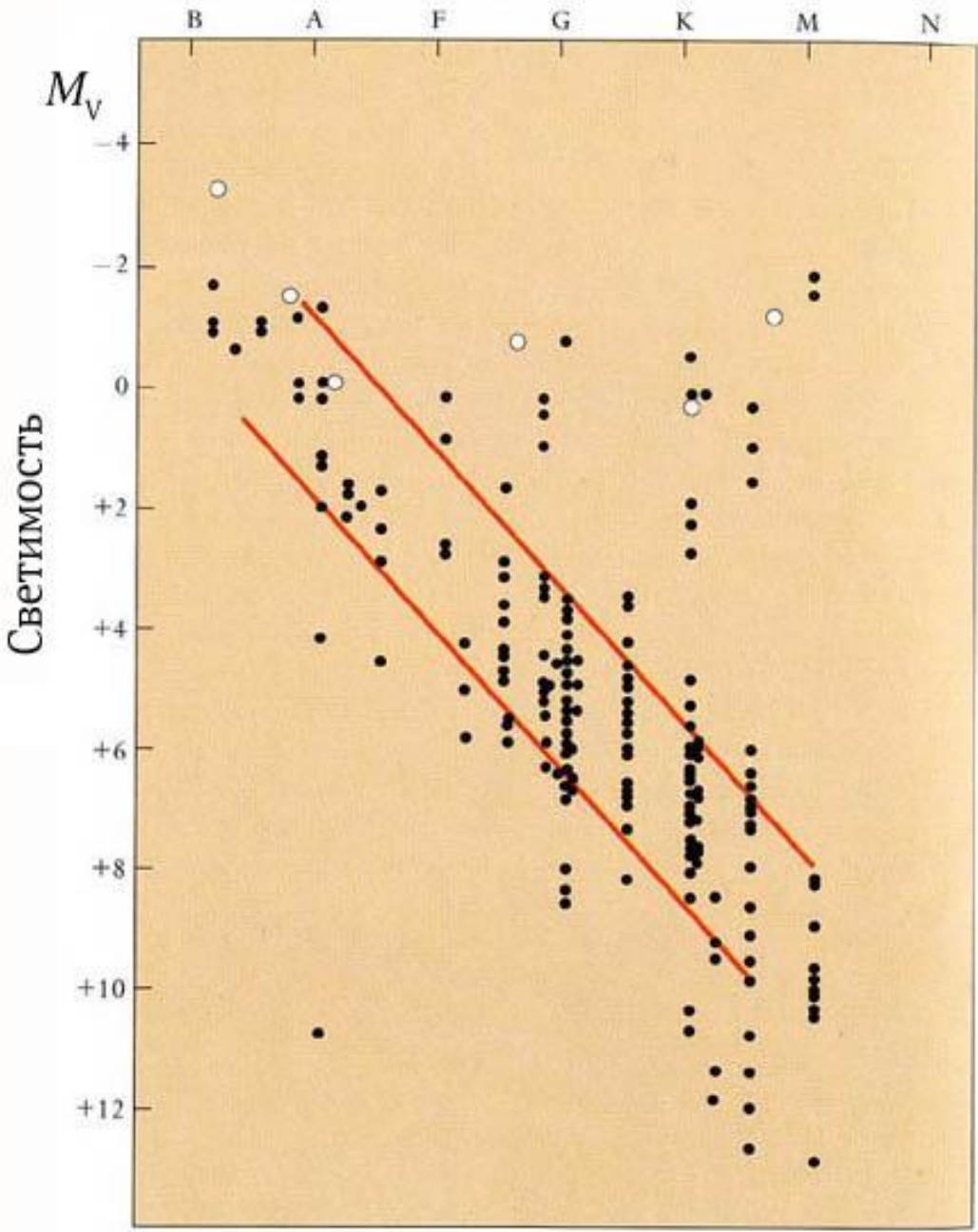




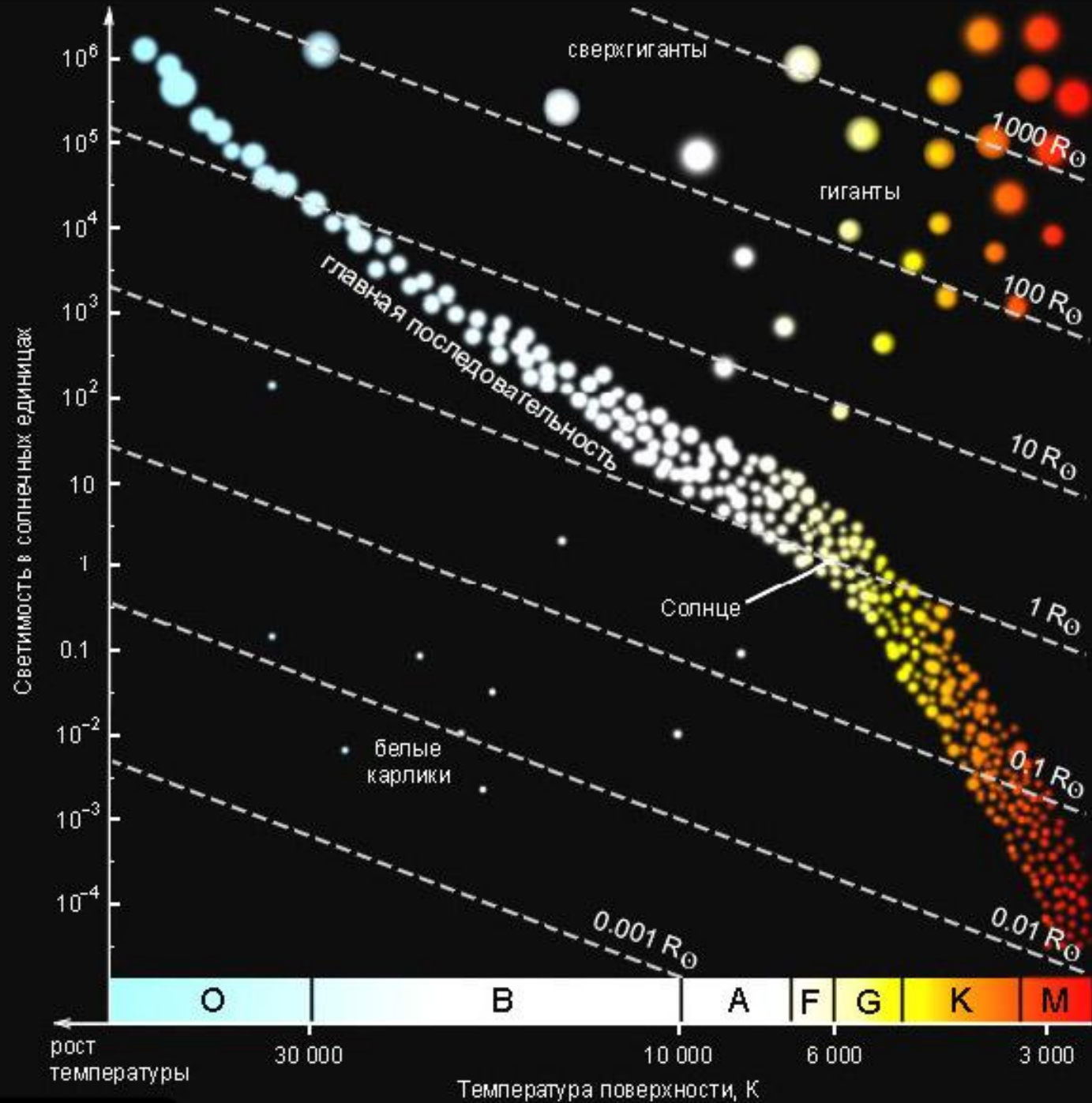
Генри Норрис Рассел (США)



Эйна́р Герцшпру́нг (Дания)



Спектральный класс (температура)



Светимость в солнечных единицах

рост температуры

Температура поверхности, К

O B A F G K M

$0.001 R_{\odot}$

$0.01 R_{\odot}$

$0.1 R_{\odot}$

$1 R_{\odot}$

$10 R_{\odot}$

$100 R_{\odot}$

$1000 R_{\odot}$

сверхгиганты

гиганты

главная последовательность

Солнце

белые карлики

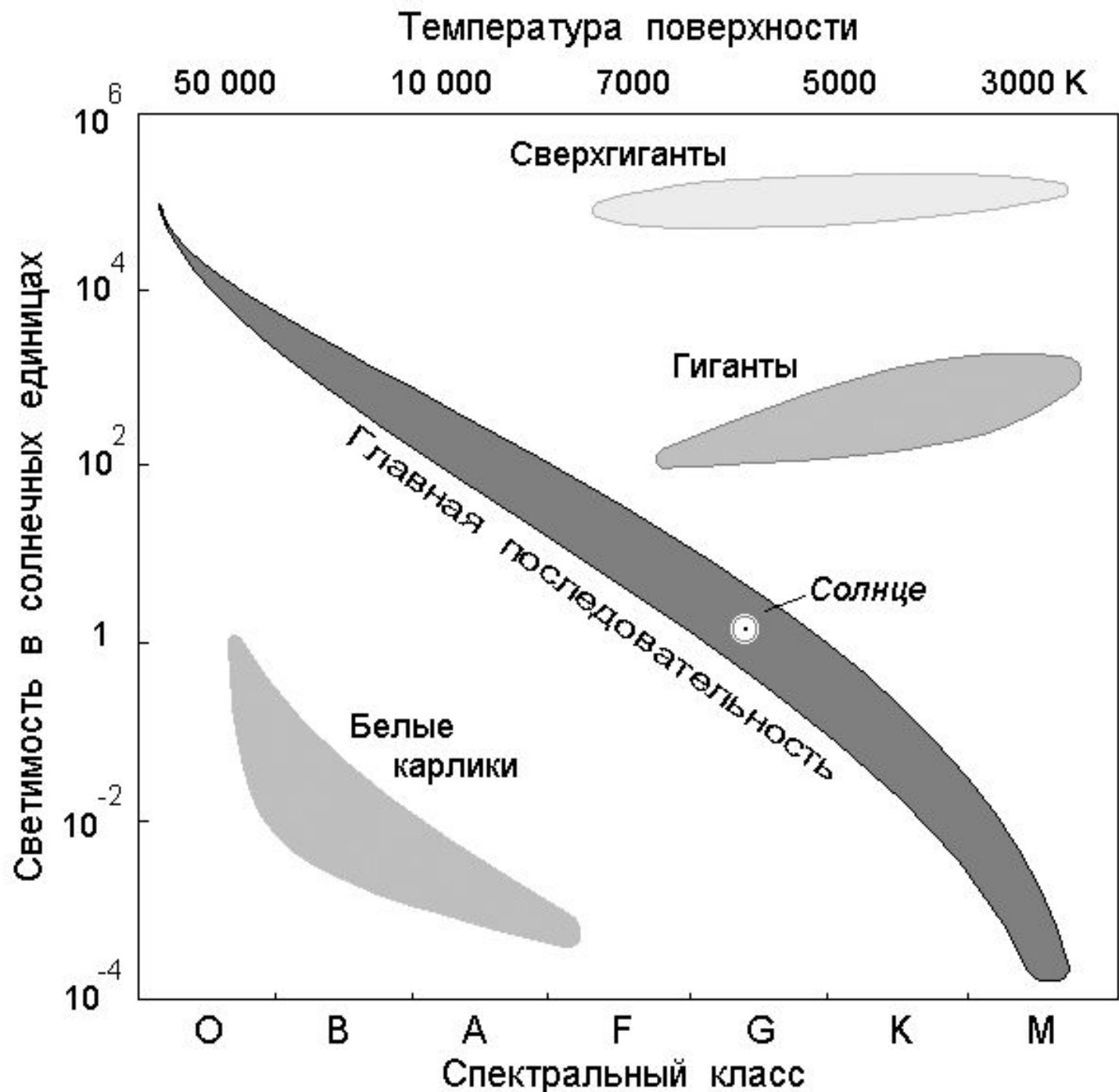


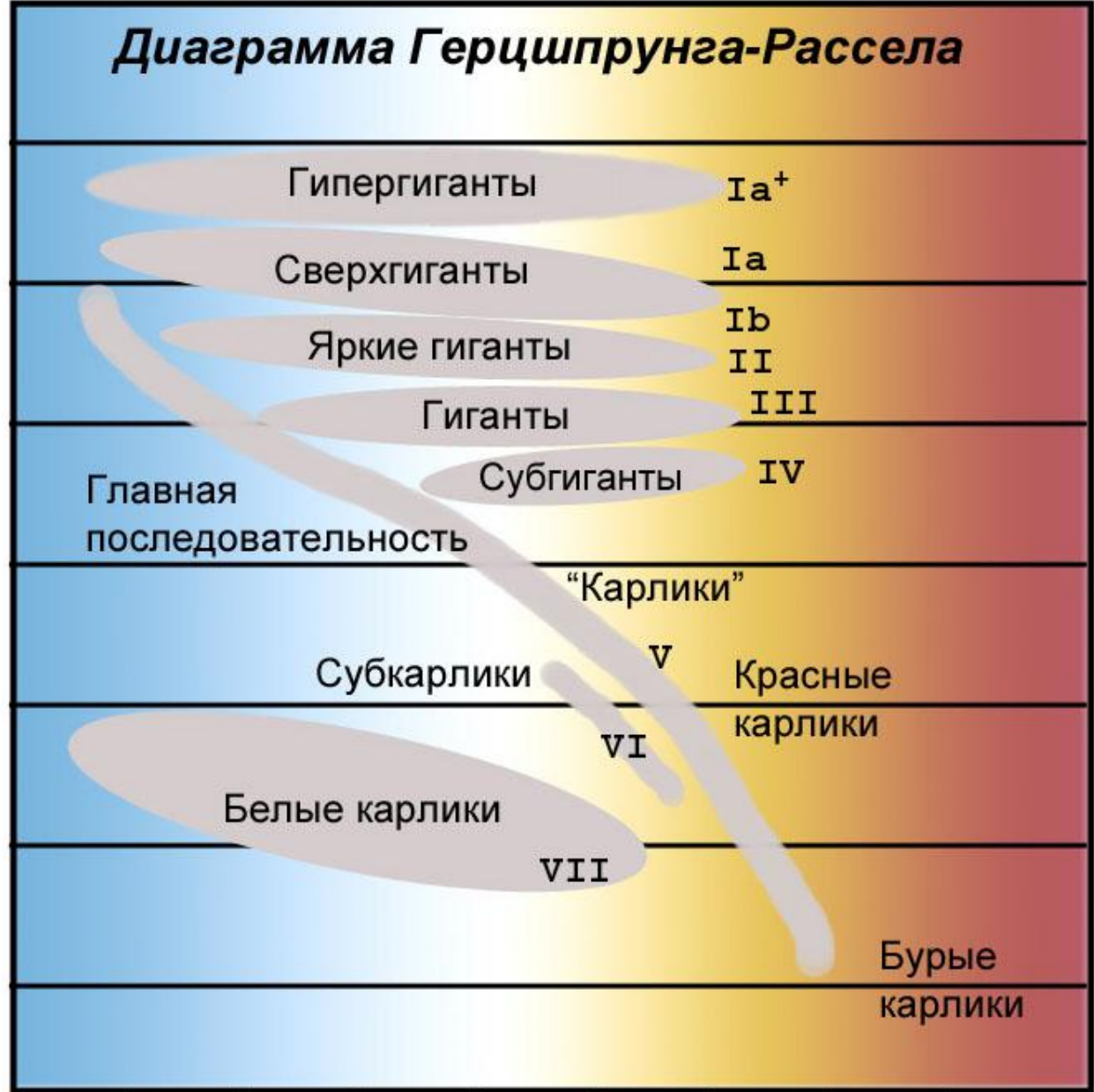
Диаграмма Герцшпрунга-Рассела

Светимость (в солнечных единицах)

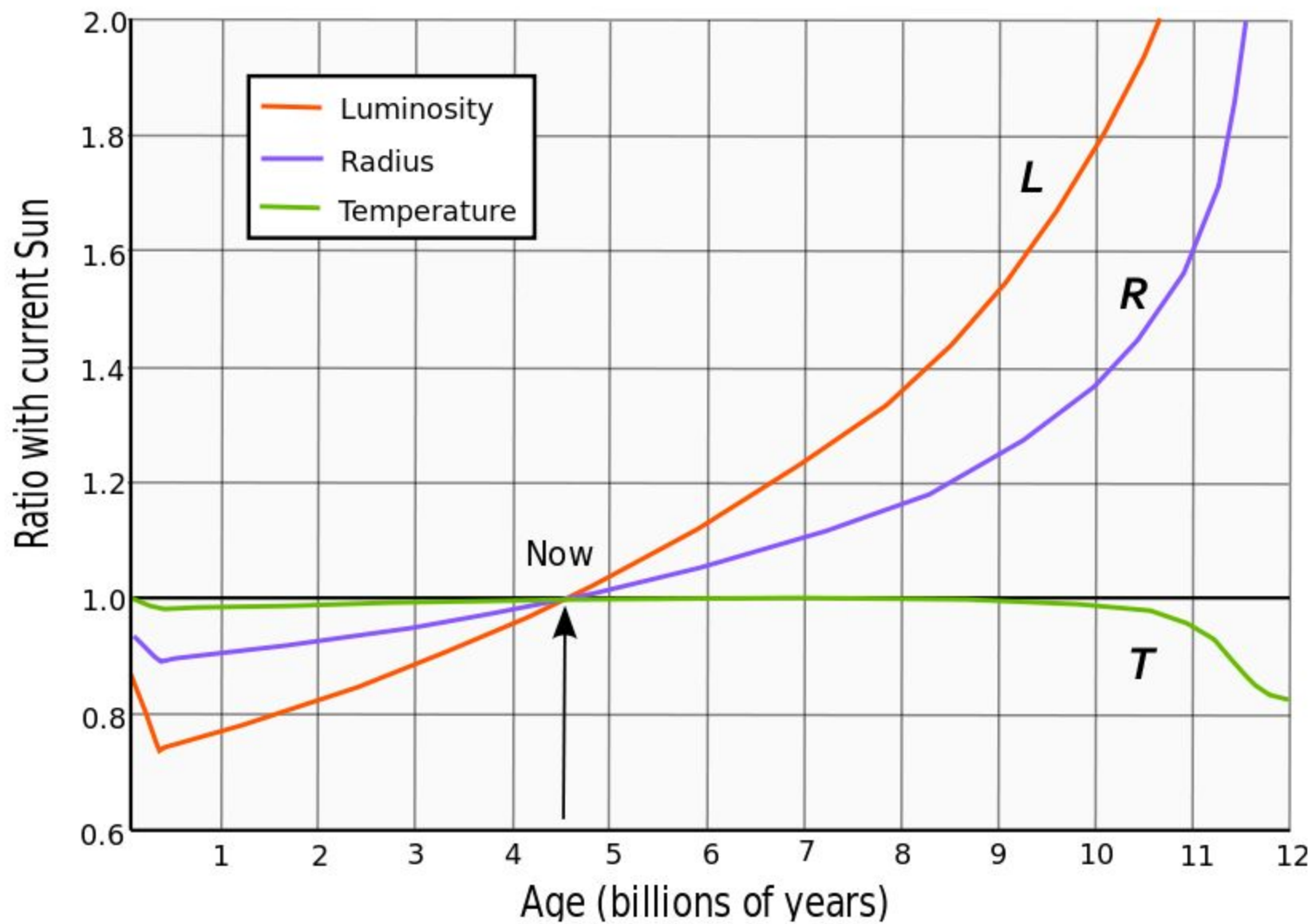
1000000
10000
100
1
0,01
0,0001
0,000001

О | В | А | F | G | K | M | L | T

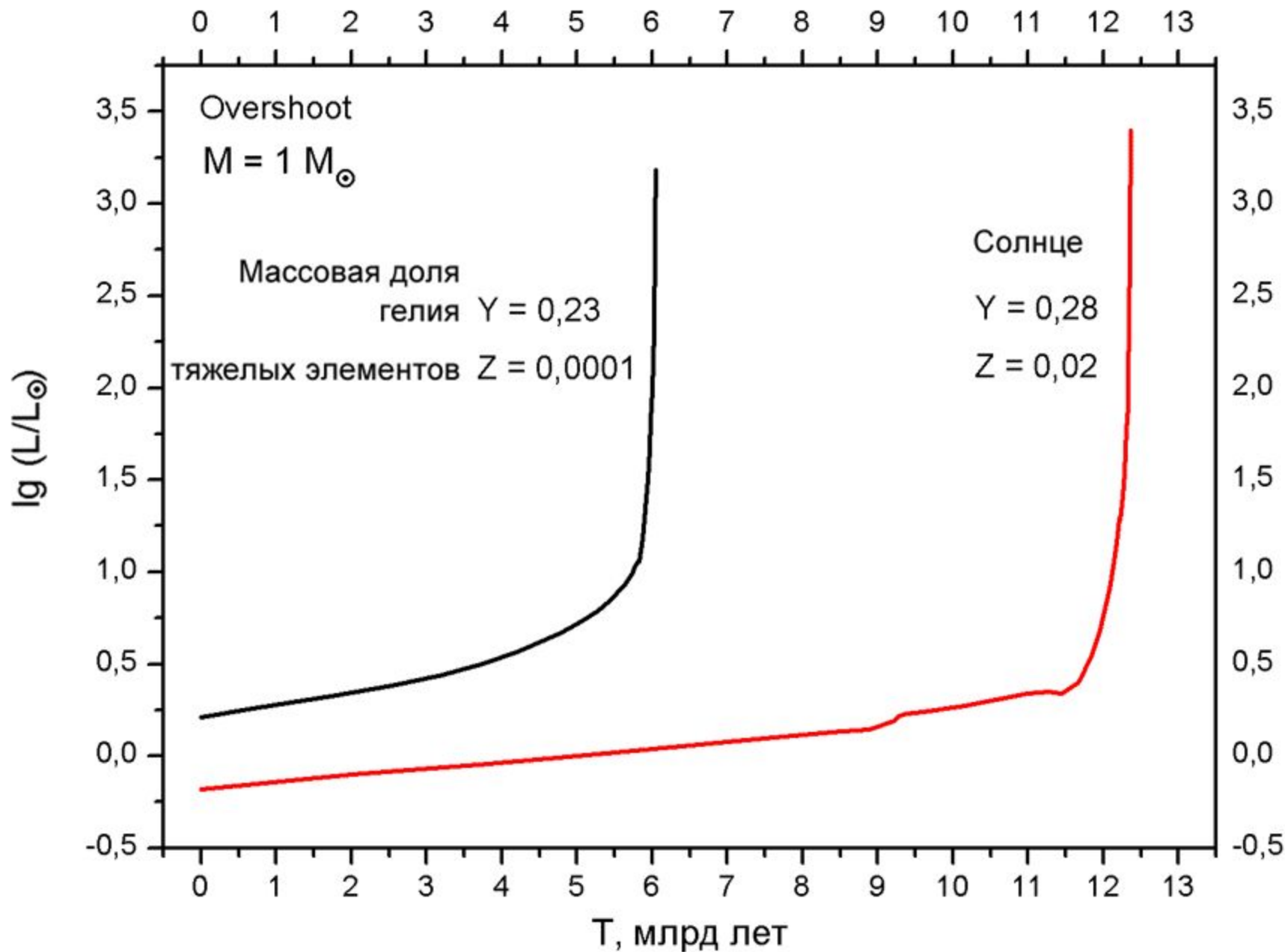
Спектральный класс



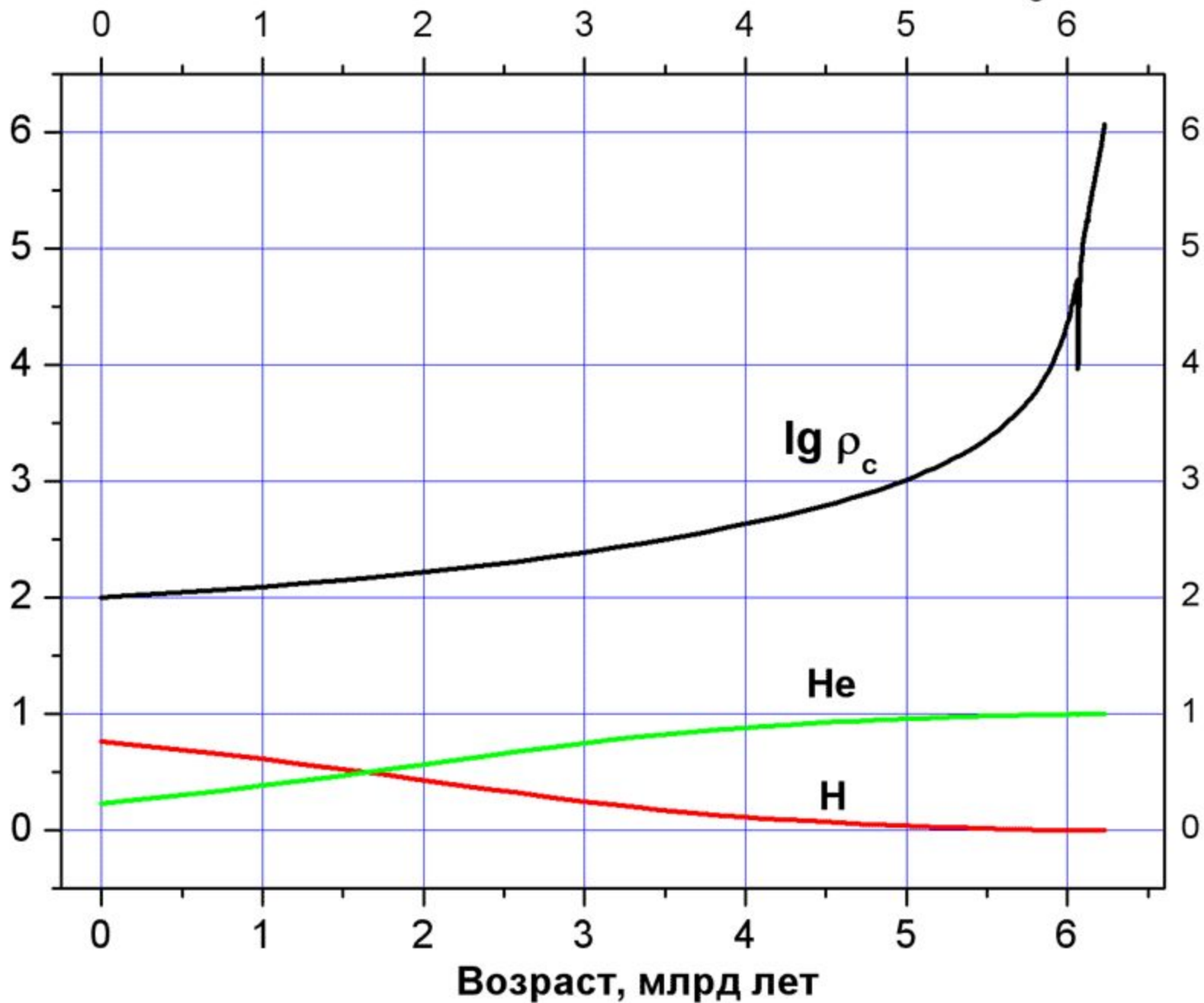
Эволюция внешних параметров Солнца

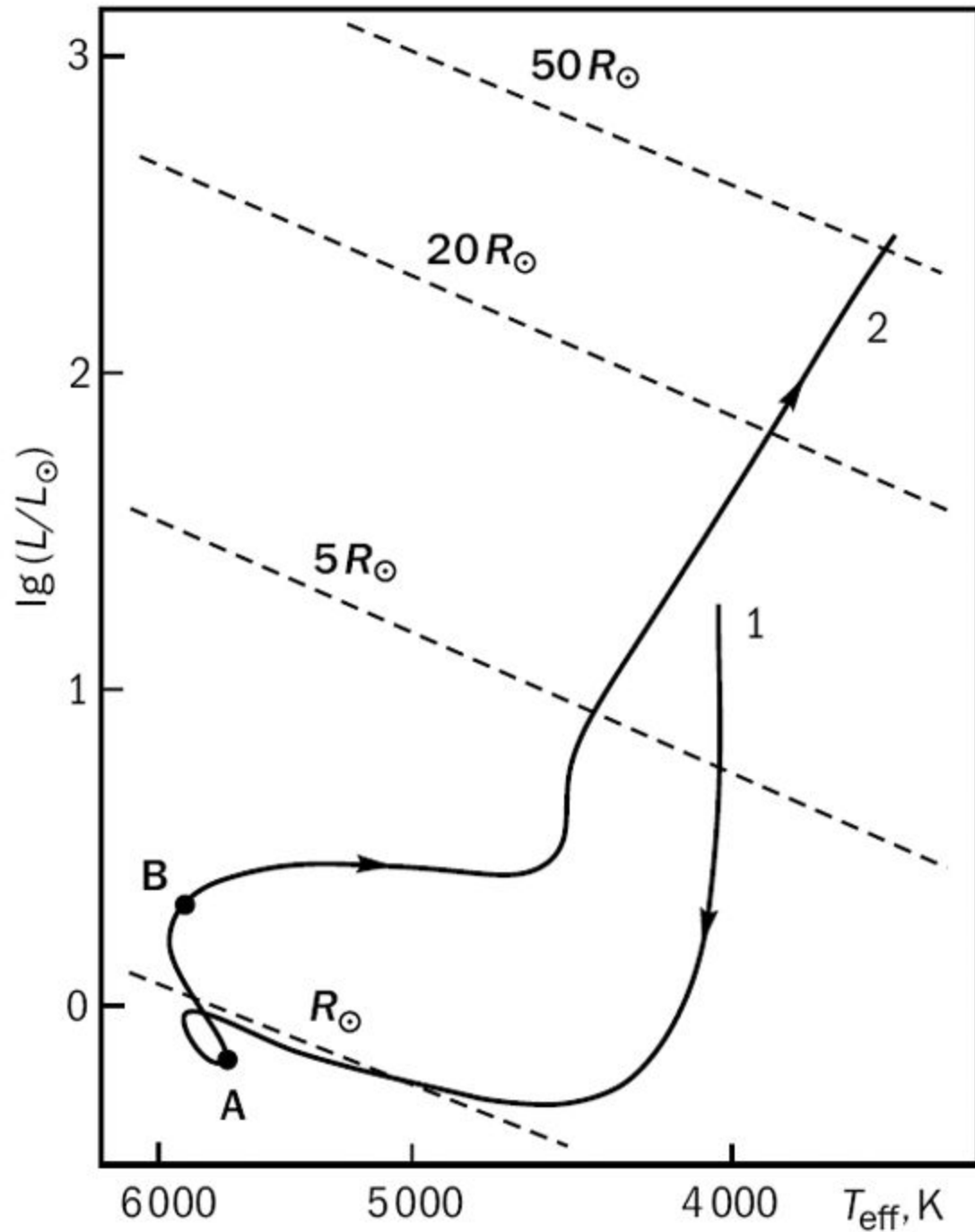


Эволюция светимости звезды с начальной массой $1 M_{\odot}$



Эволюция плотности и химсостава в центре звезды $M = 1 M_{\odot}$ $Z = 0$





Эволюционный трек звезды с массой $1 M_{\odot}$

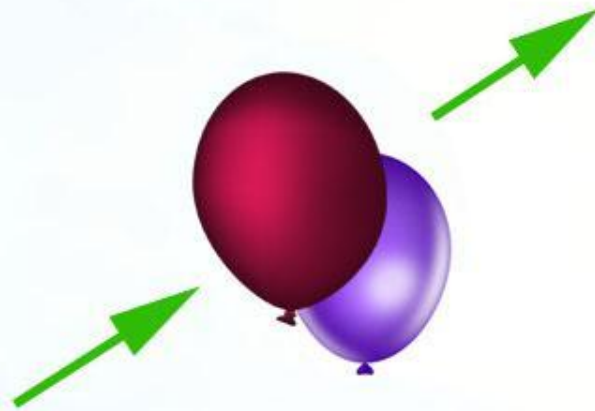
- 1 - сжатие на стадии протозвезды;
- 2 - расширение на стадии красного гиганта.

В точке **A** в ядре начинаются реакции горения водорода.

В точке **B** горение перемещается в слой над ядром, а само гелиевое ядро начинает сжиматься.

Чем больше
размер оболочки,
тем она прозрачнее

Воздушный шарик -
модель красного гиганта

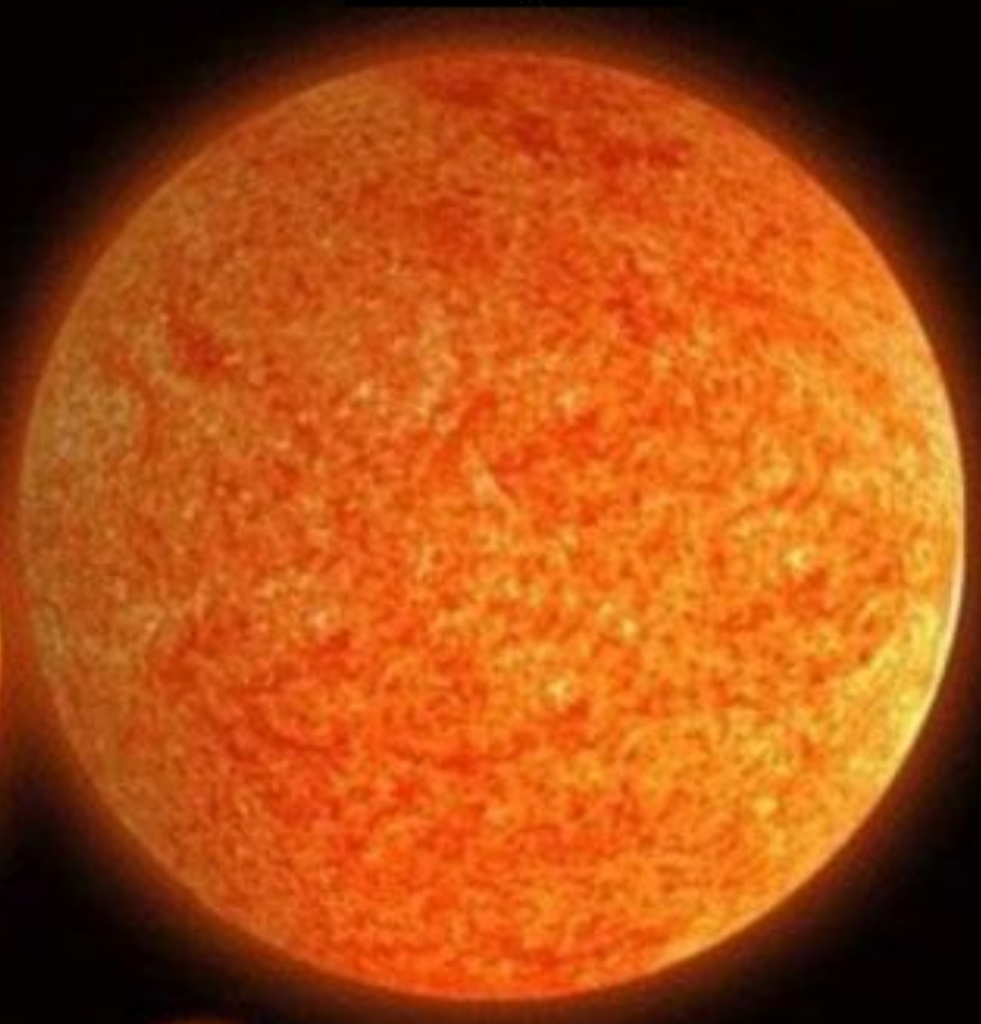


Надуваем!

Эволюция Солнца



Антарес



Бетельгейзе



Наше Солнце

Сириус

Арктур

Поллукс



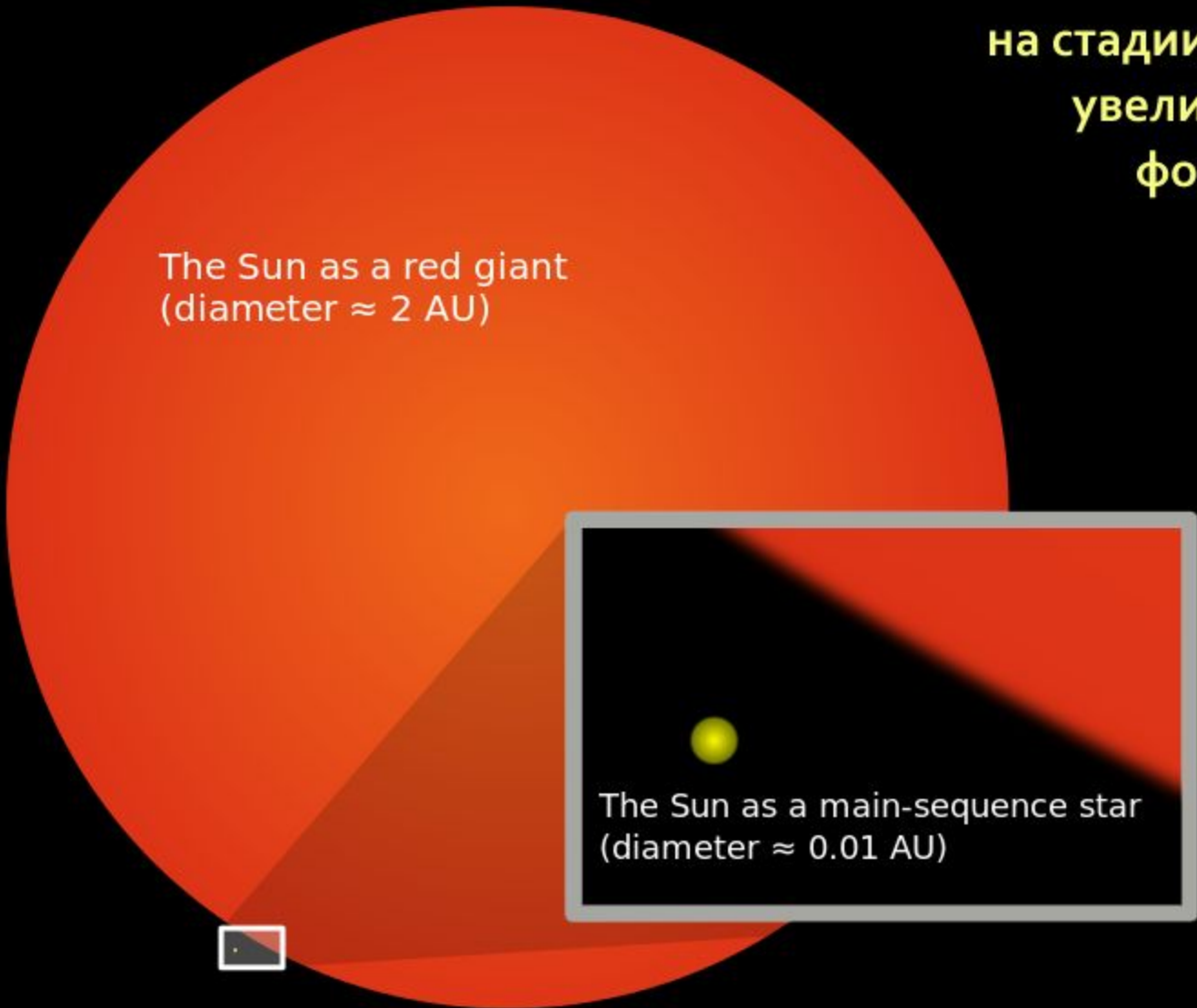
Ригель



Альдебаран

Солнце

на стадии красного гиганта
увеличит размер своей
фотосферы в 200 раз
и достигнет
орбиты
Земли



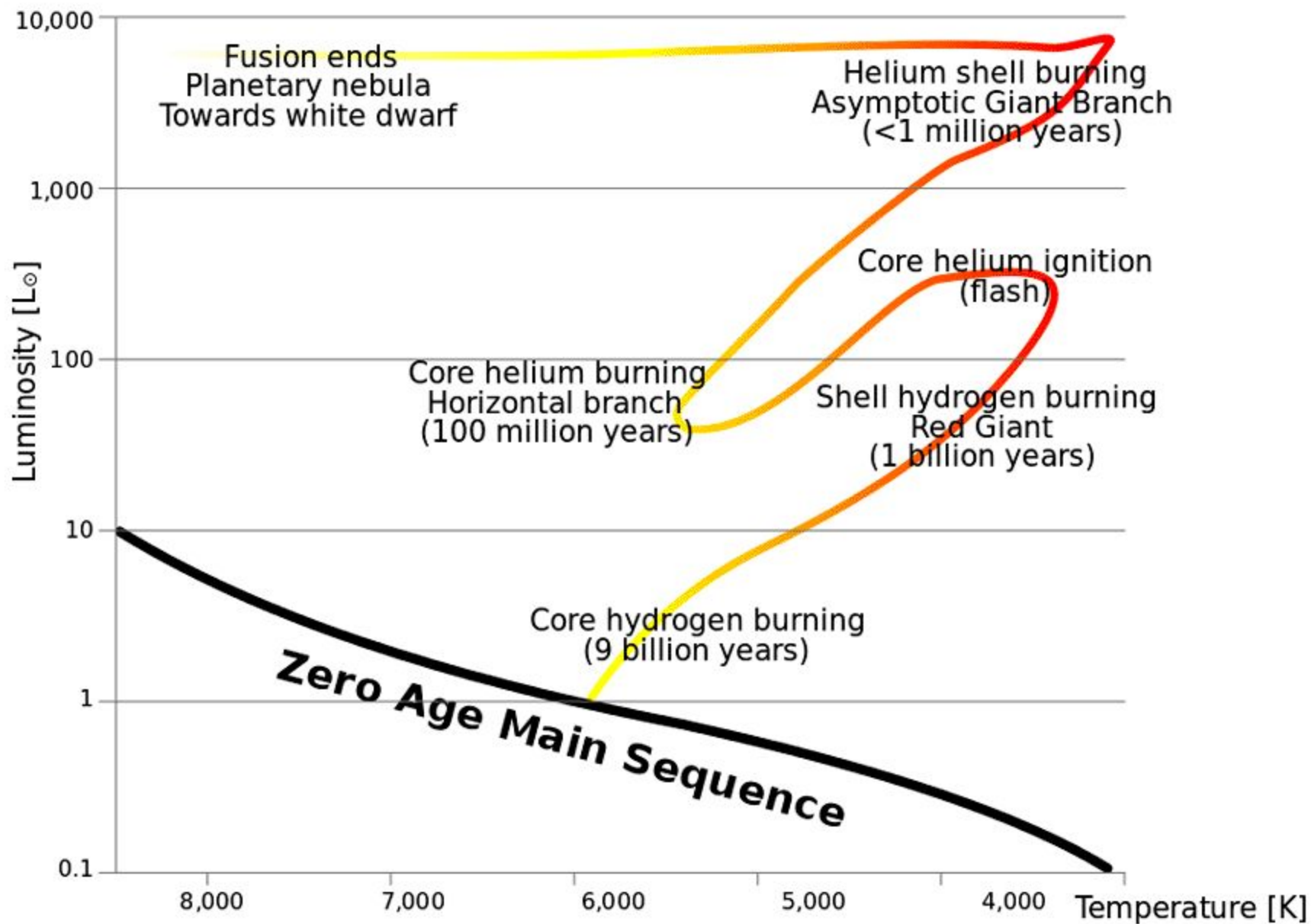
The Sun as a red giant
(diameter ≈ 2 AU)

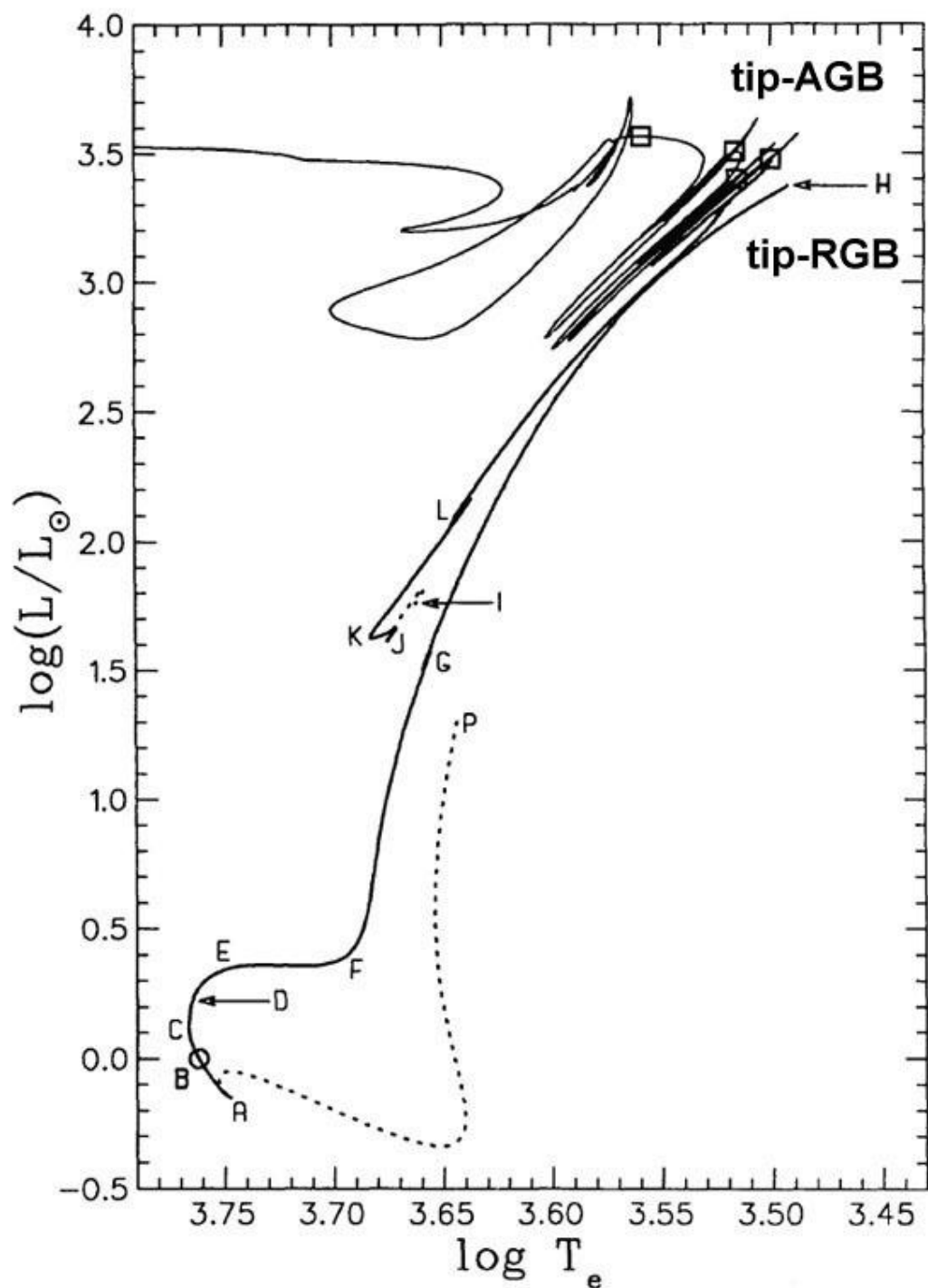
The diagram features a large orange-red circle representing the Sun as a red giant. A smaller yellow-green circle represents the Sun as a main-sequence star. A rectangular inset with a grey border shows the main-sequence star in detail. A small white square at the bottom left of the red giant circle contains a tiny version of the main-sequence star, illustrating the scale difference.

The Sun as a main-sequence star
(diameter ≈ 0.01 AU)

Эволюция Солнца

от начальной главной последовательности до окончания термоядерных реакций





Эволюция Солнца с учетом потери массы

- A-E - главная последовательность
- E-F - покраснение
- F-H - ветвь красных гигантов
- I - L - горизонтальная ветвь
- L-1st flash - ранняя асимпт.ветвь
- Тепловые пульсации на AGB
- Переход к белым карликам

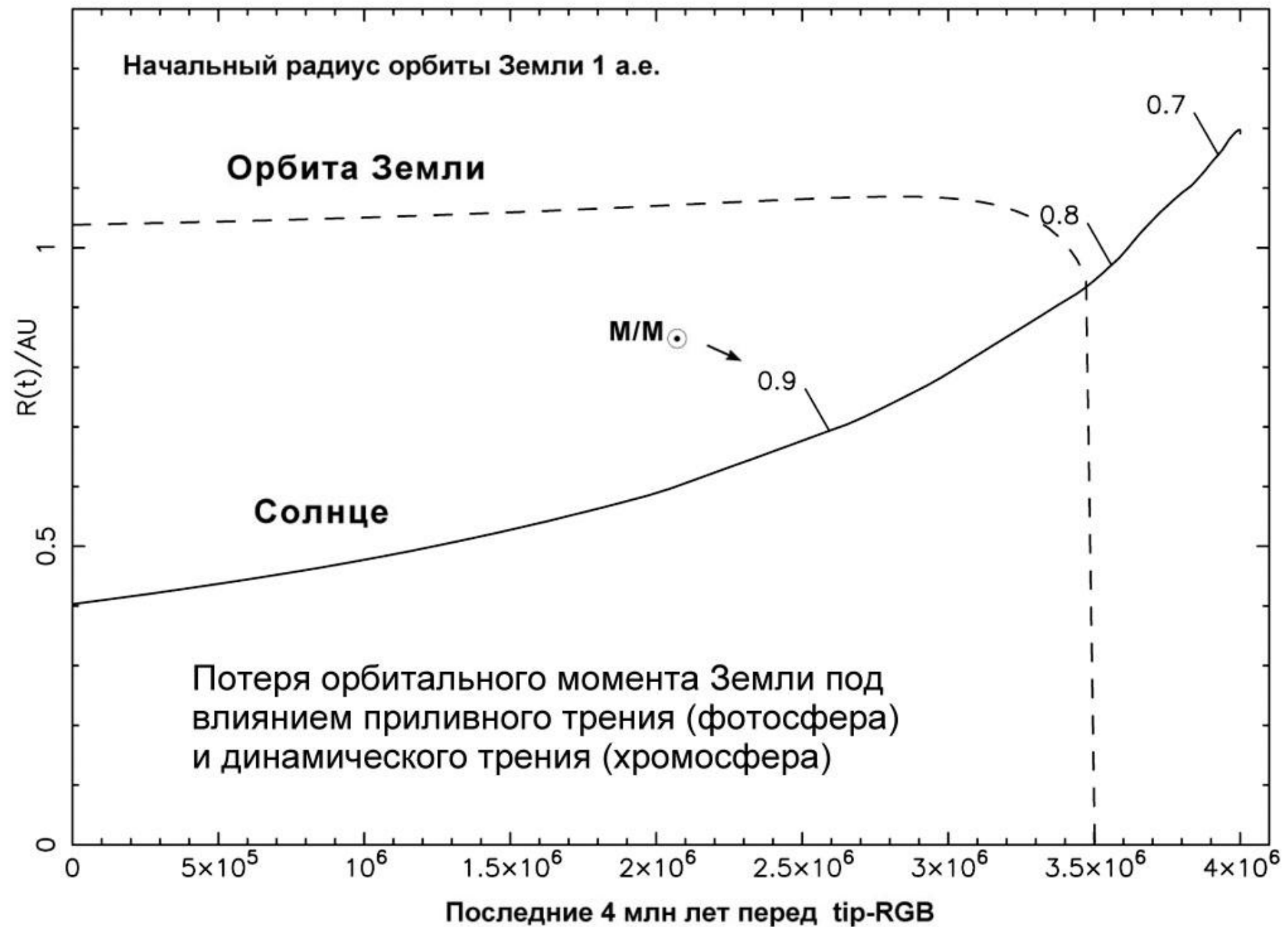
THE ASTROPHYSICAL JOURNAL, 418:457-468, 1993 November 20

OUR SUN. III. PRESENT AND FUTURE

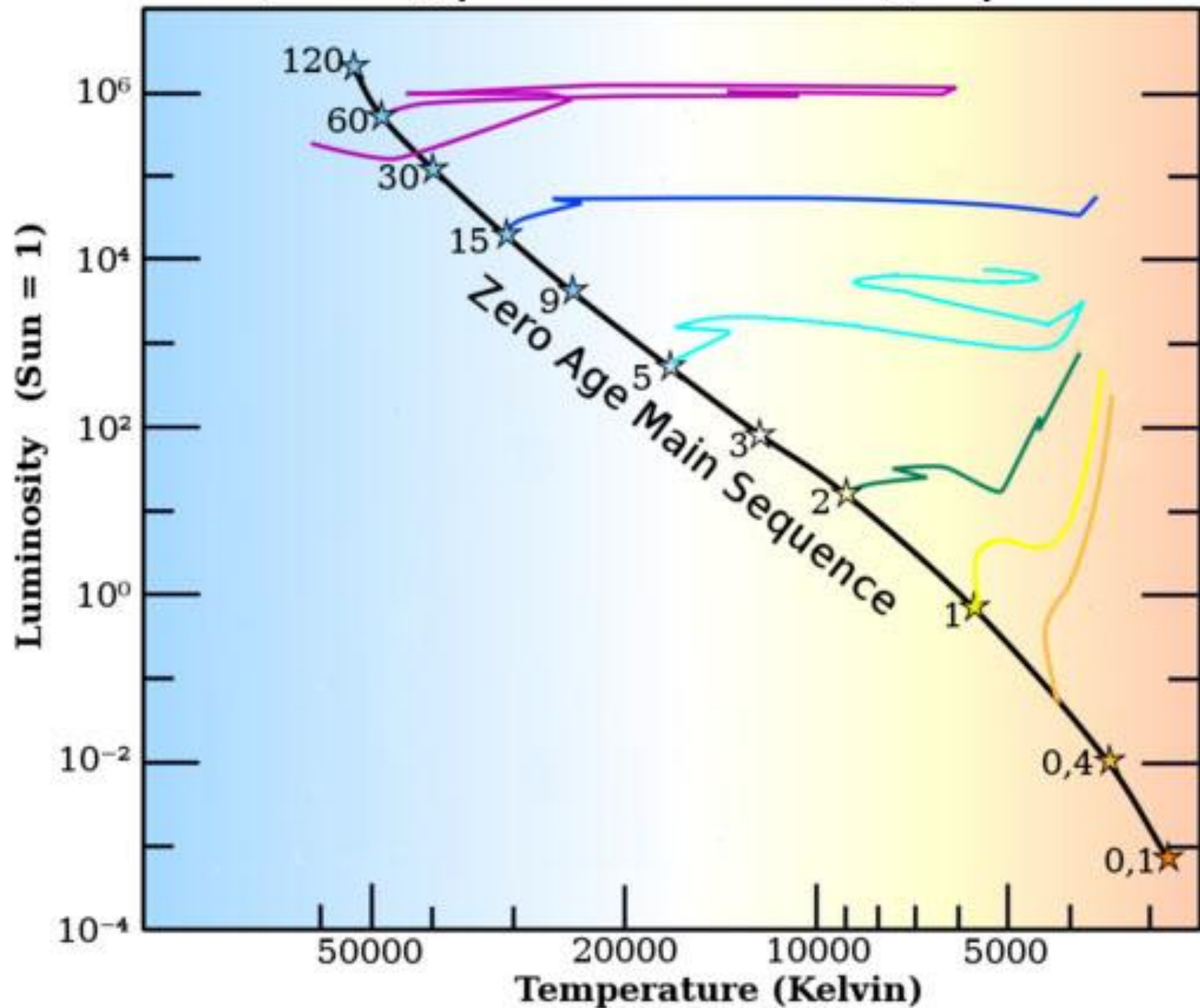
I.-JULIANA SACKMANN, ARNOLD I. BOOTHROYD, AND KATHLEEN E. KRAEMER

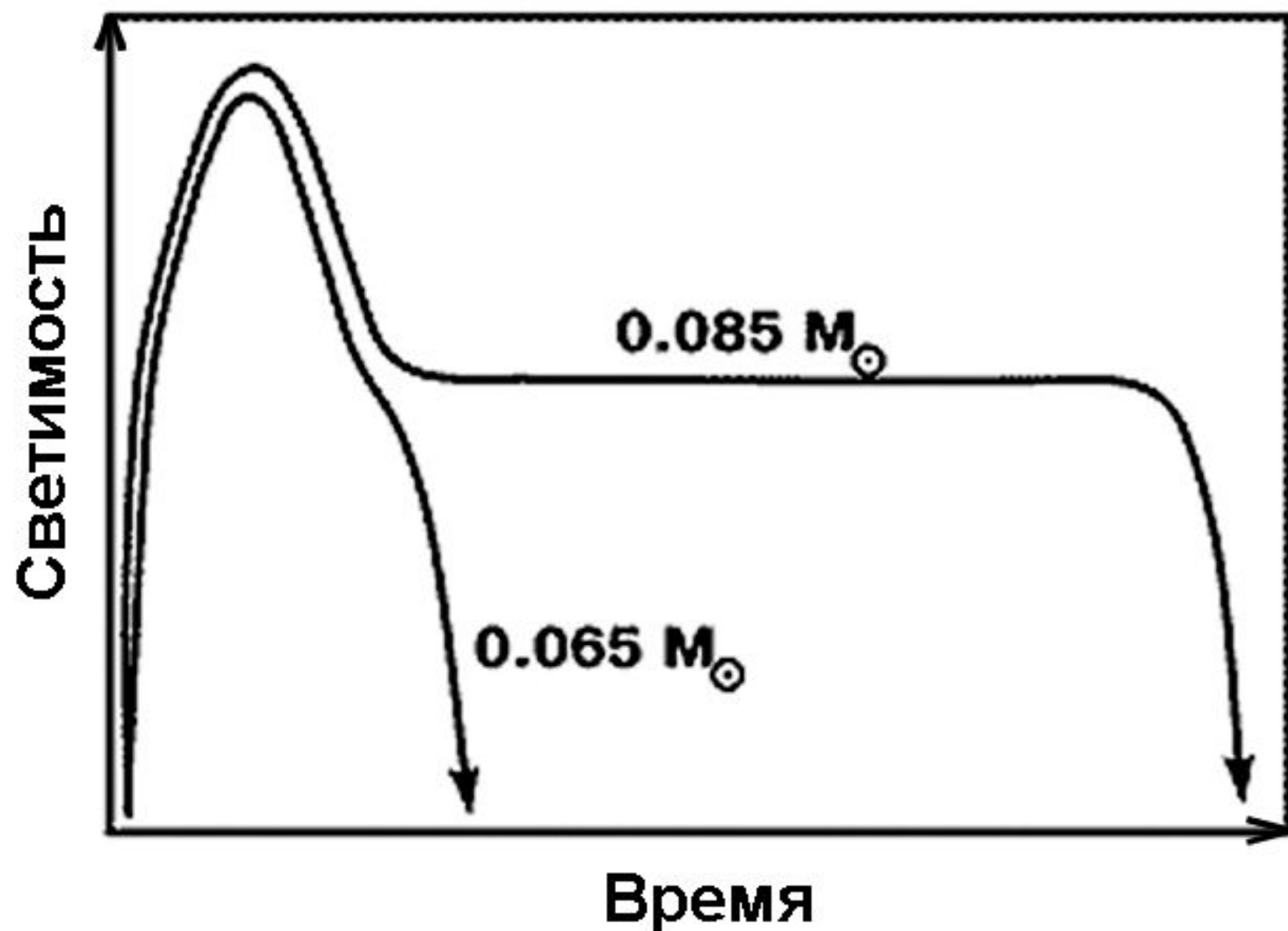
SOLAR EVOLUTION MODEL WITH MASS LOSS

Phase	Age (Gyr)	$L (L_{\odot})$	$T_{\text{eff}} \text{ (K)}$	$R (R_{\odot})$	$M_{\text{Sun}} (M_{\odot})$
ZAMS	0.00	0.70	5596	0.89	1.000
Present	4.58	1.00	5774	1.00	1.000
MS:hottest	7.13	1.26	5820	1.11	1.000
MS:final	10.00	1.84	5751	1.37	1.000
RGB:tip	12.17	2730.	2602	256.	0.668
ZA-He	12.17	53.7	4667	11.2	0.668
AGB:tip	12.30	2090.	3200	149.	0.546
AGB:tip-TP	12.30	4170.	3467	179.	0.544

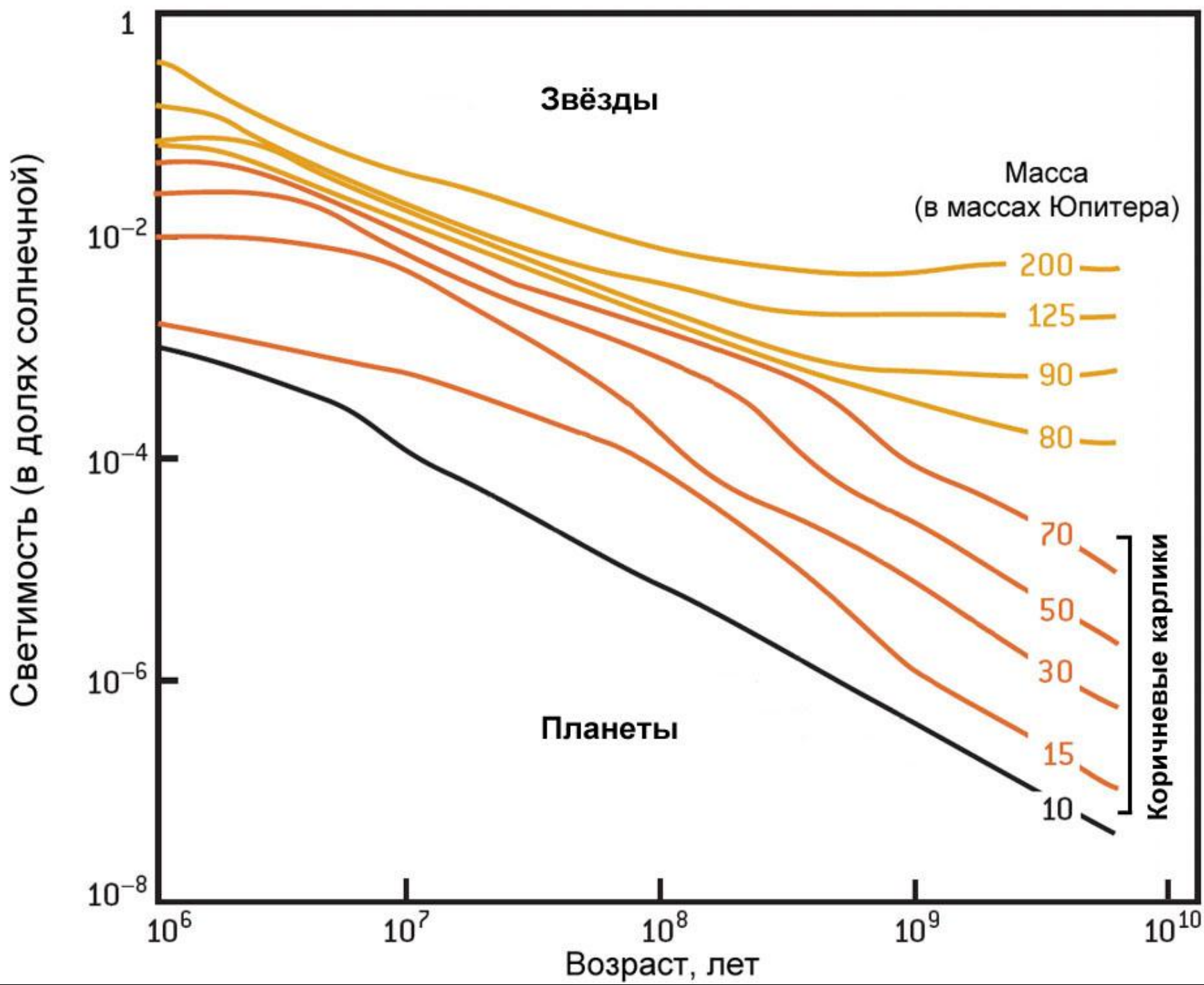


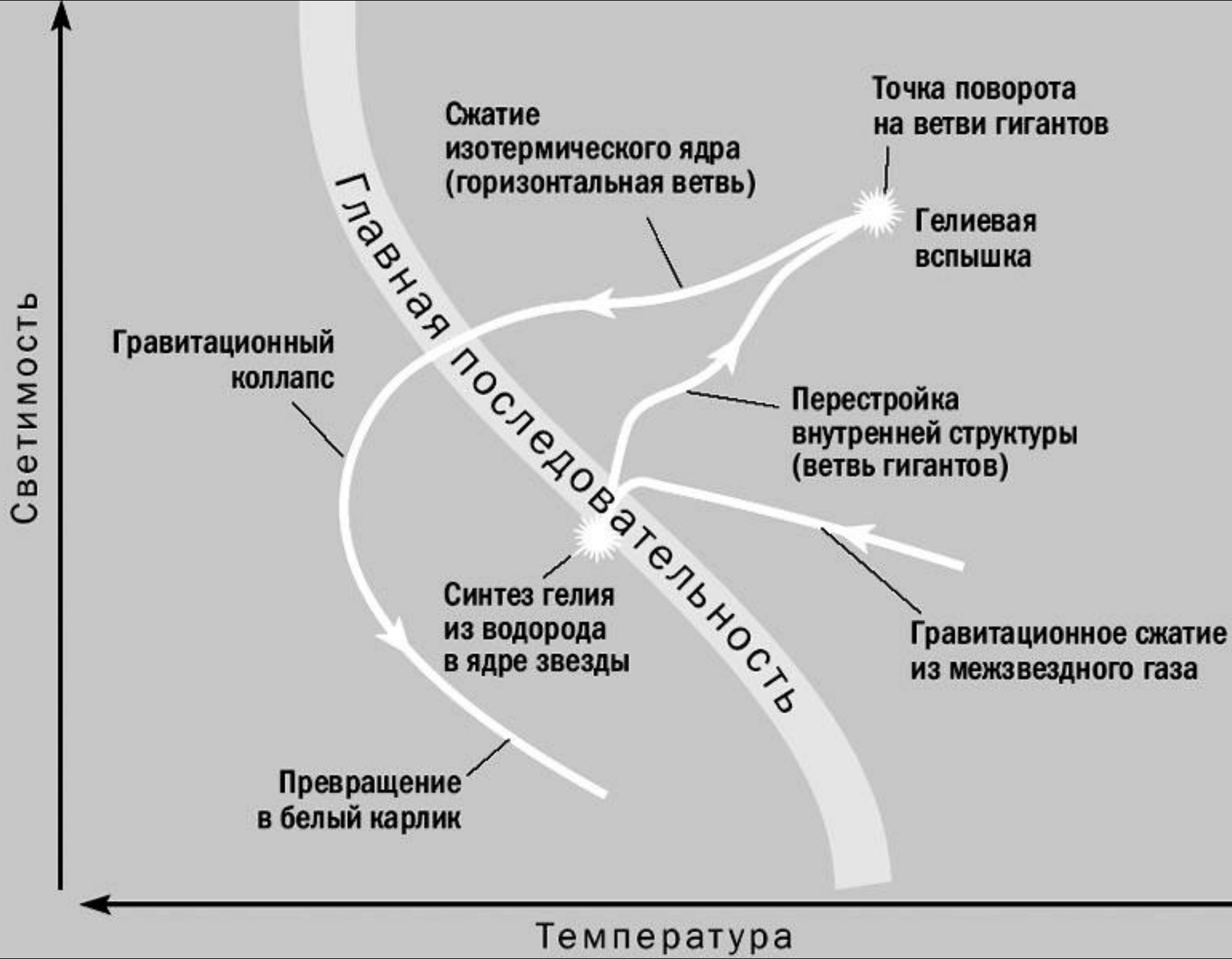
Эволюция звезд разной массы на ГР-диаграмме от ГП

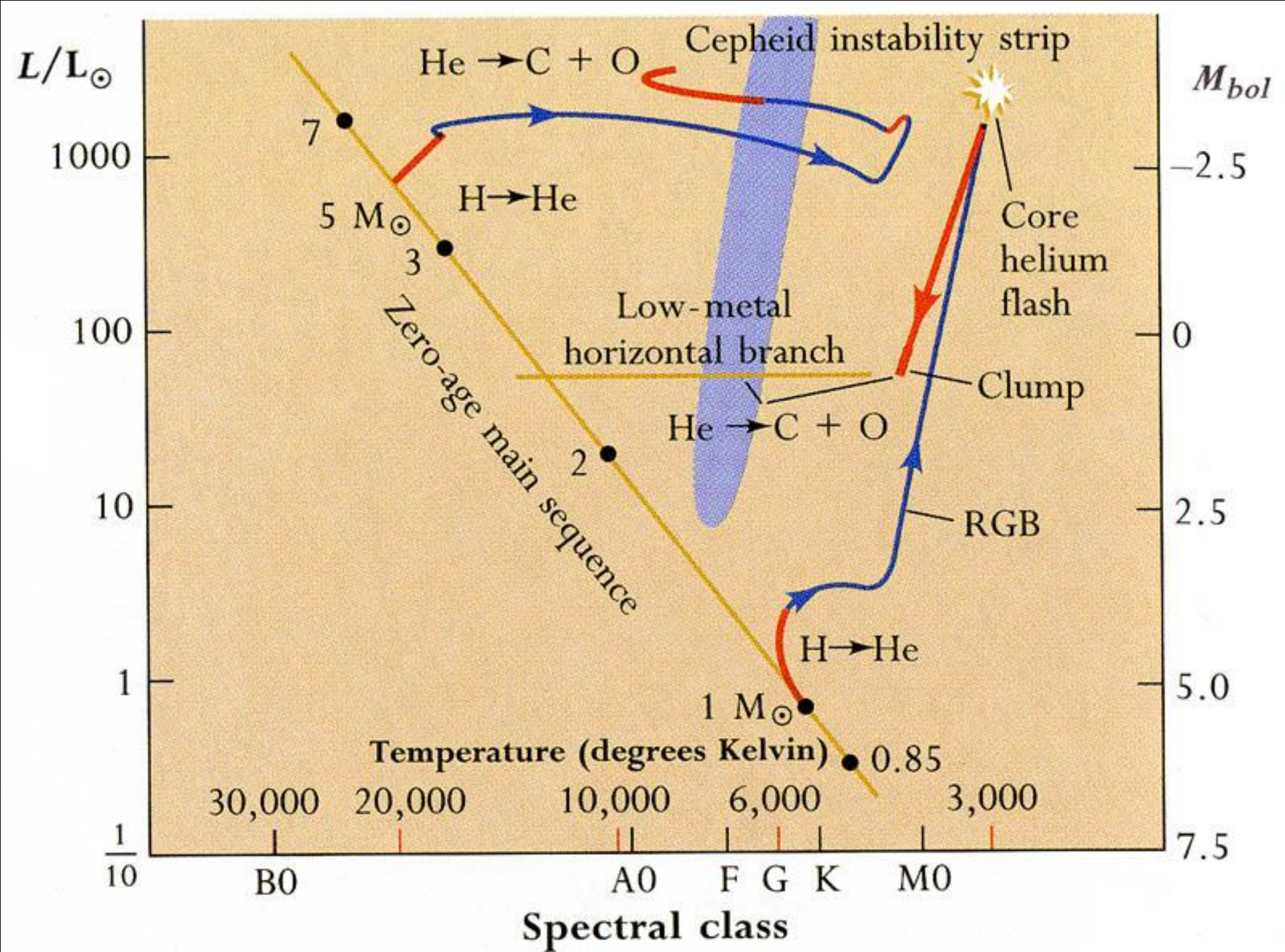




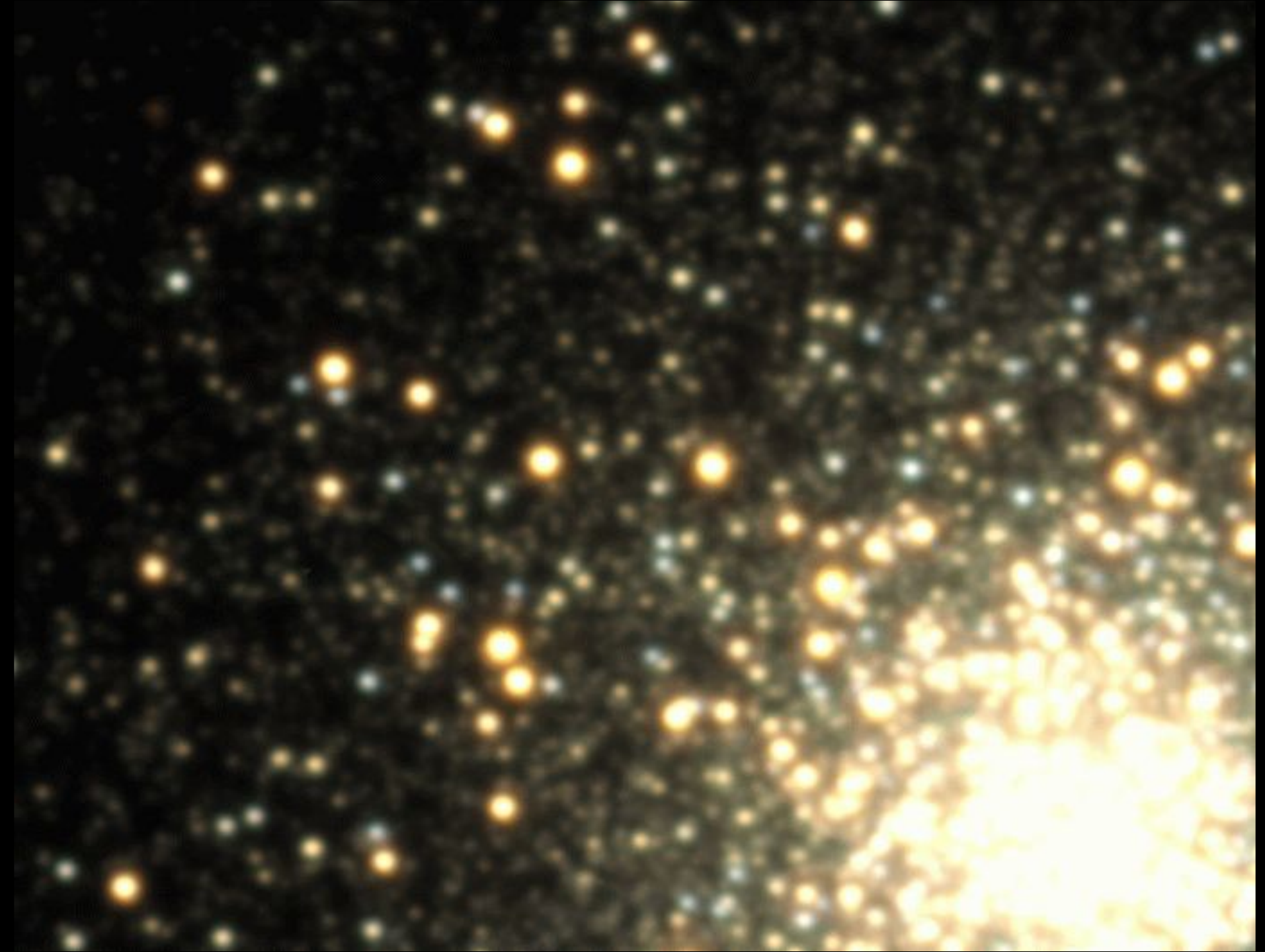
Эволюция светимости двух протозвезд, имеющих массы чуть больше и чуть меньше нижнего предела, необходимого для протекания термоядерной *pp*-реакции







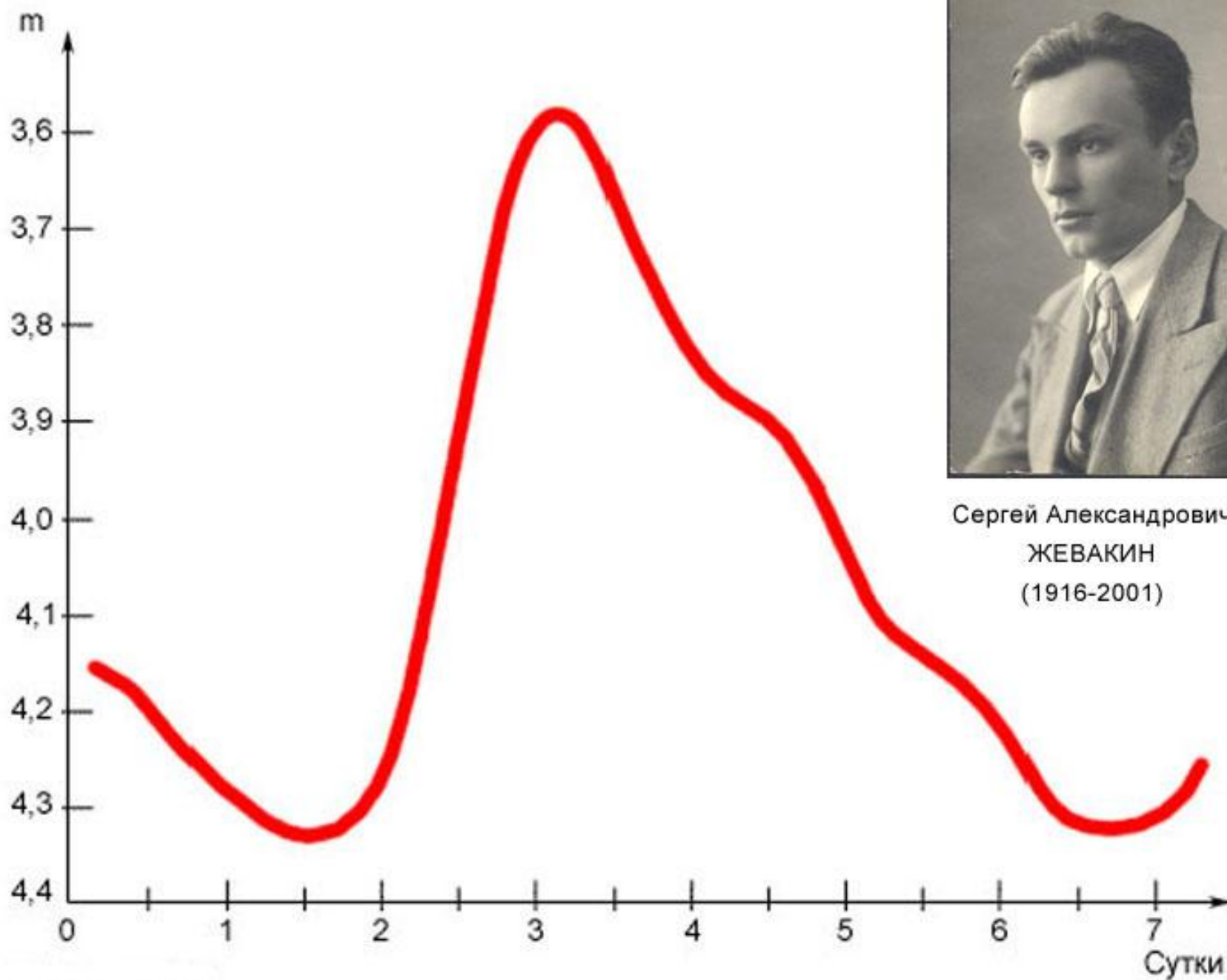






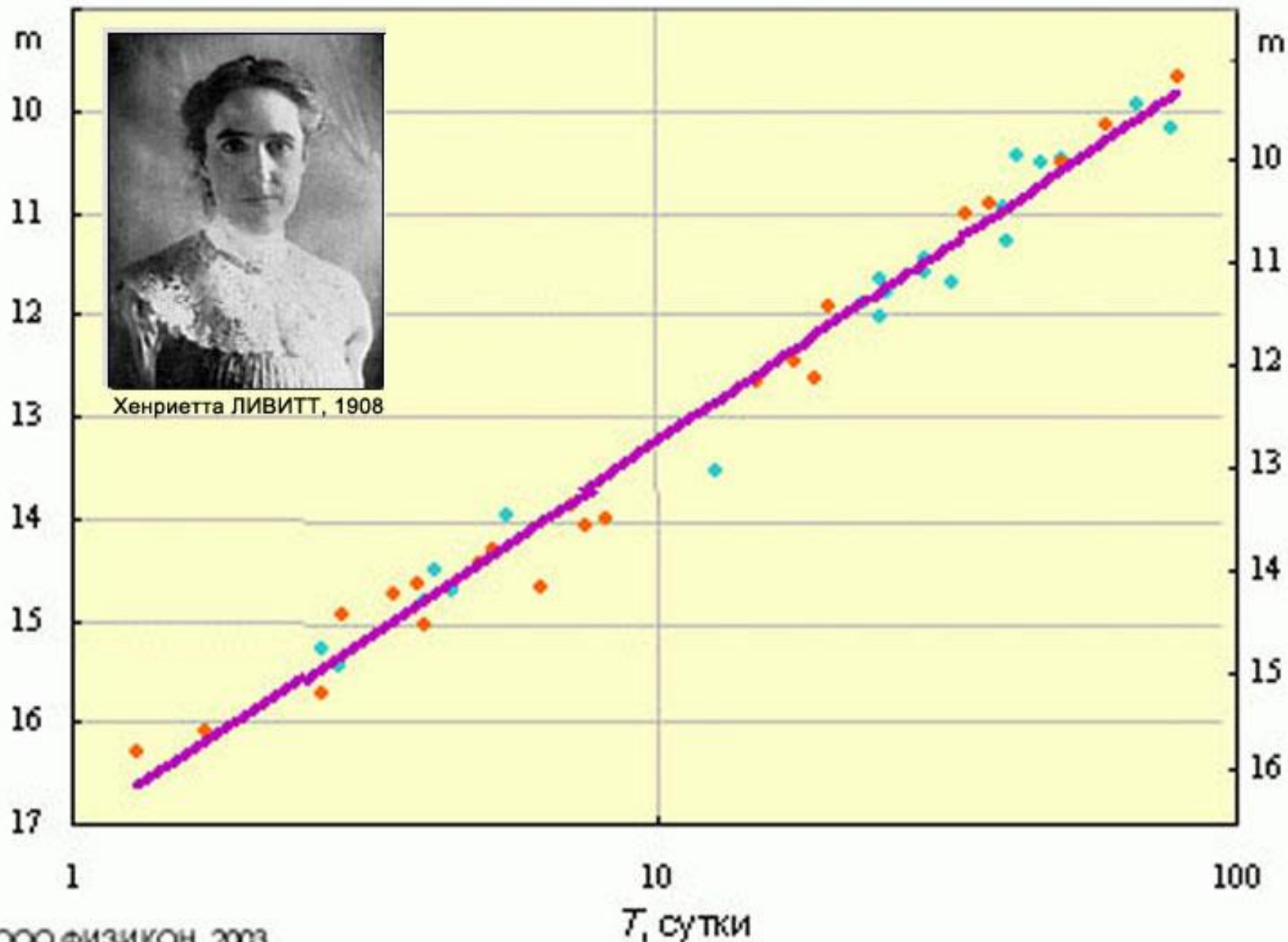


Сергей Александрович
ЖЕВАКИН
(1916-2001)



• MMO

• БМО



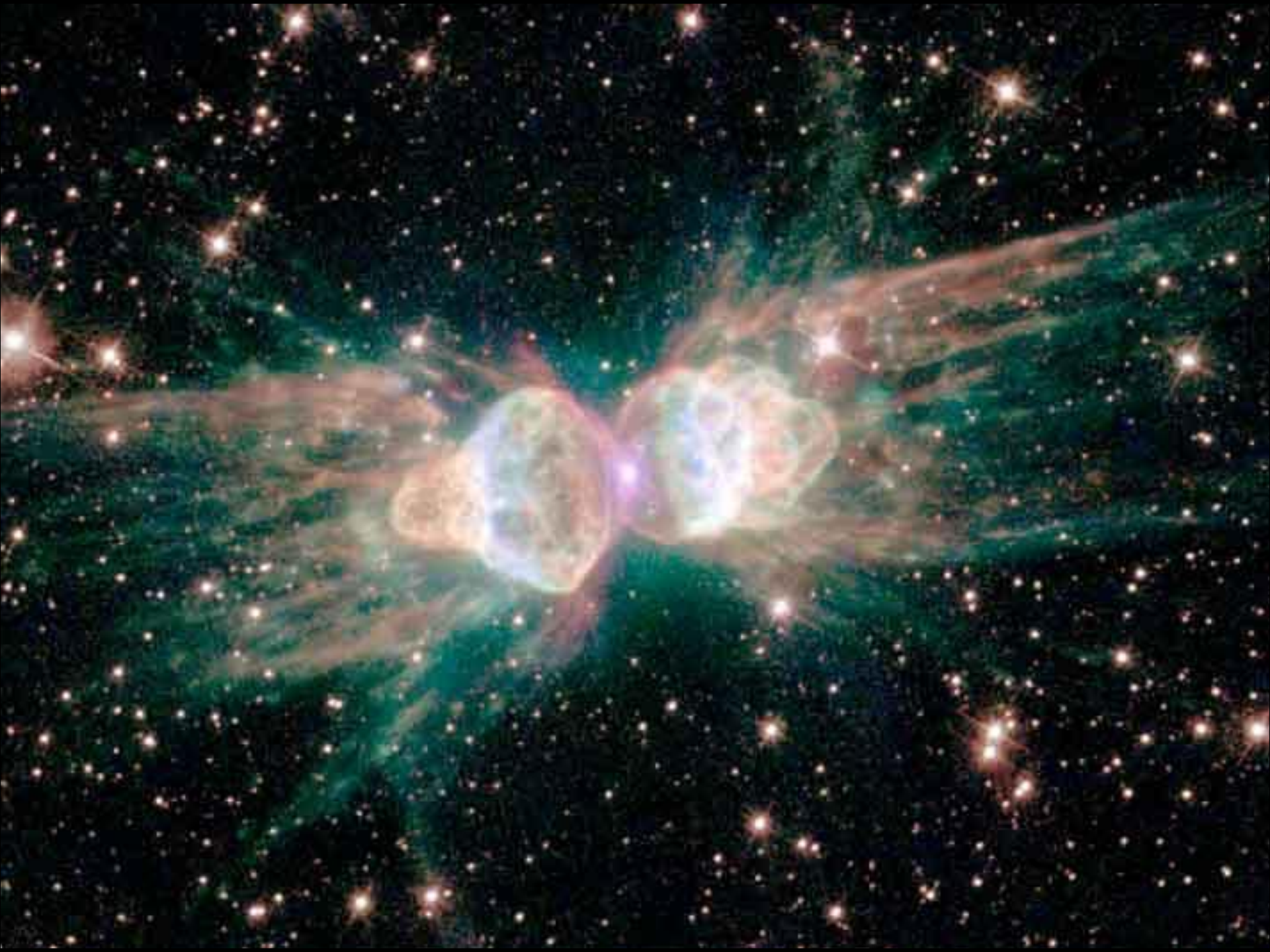
Хенриетта ЛИВИТТ, 1908

Поздние стадии эволюции одиночных и двойных звезд

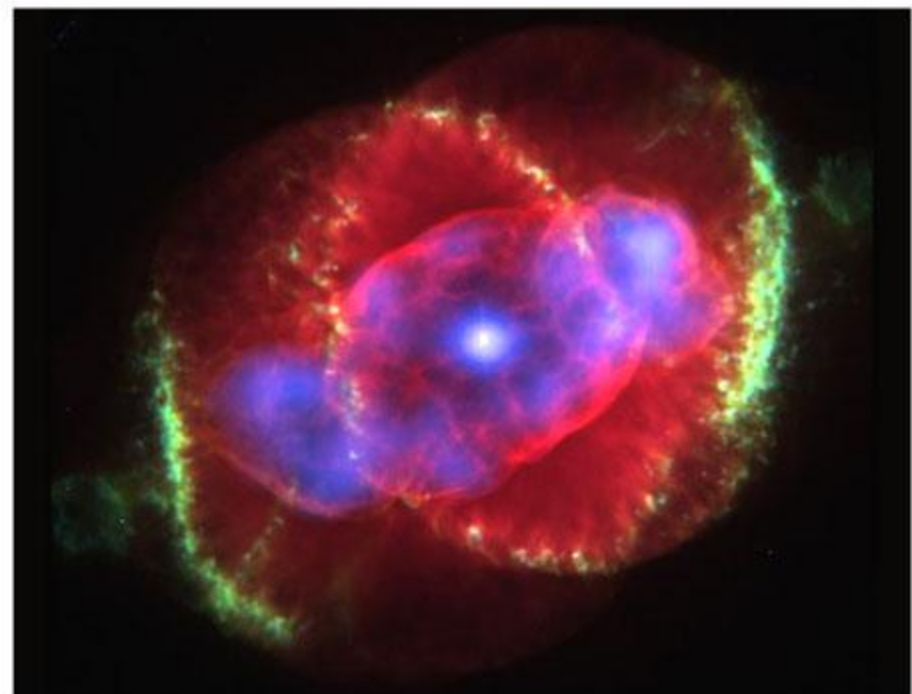
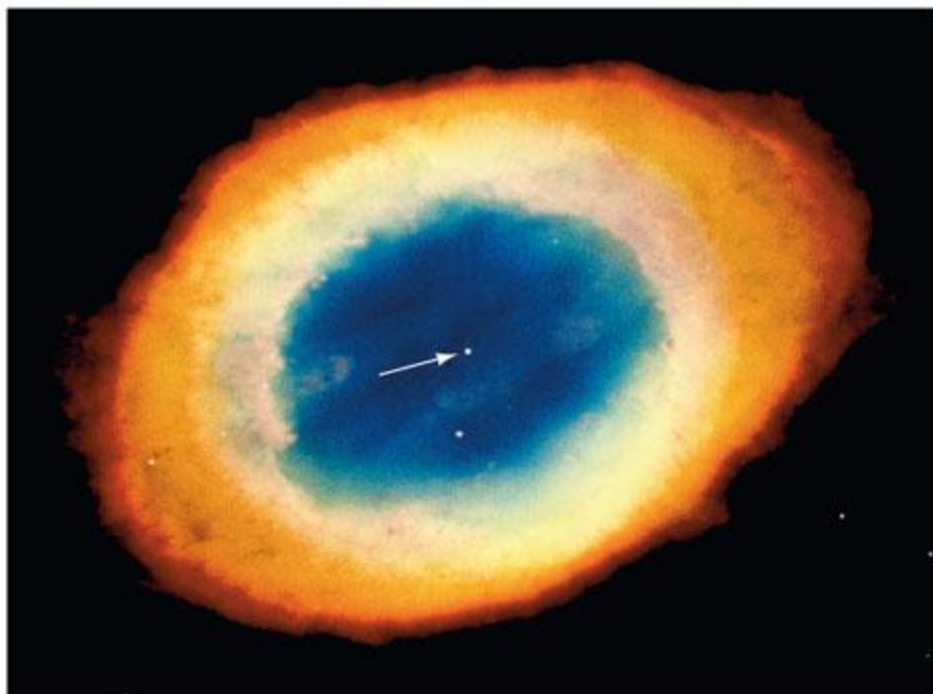
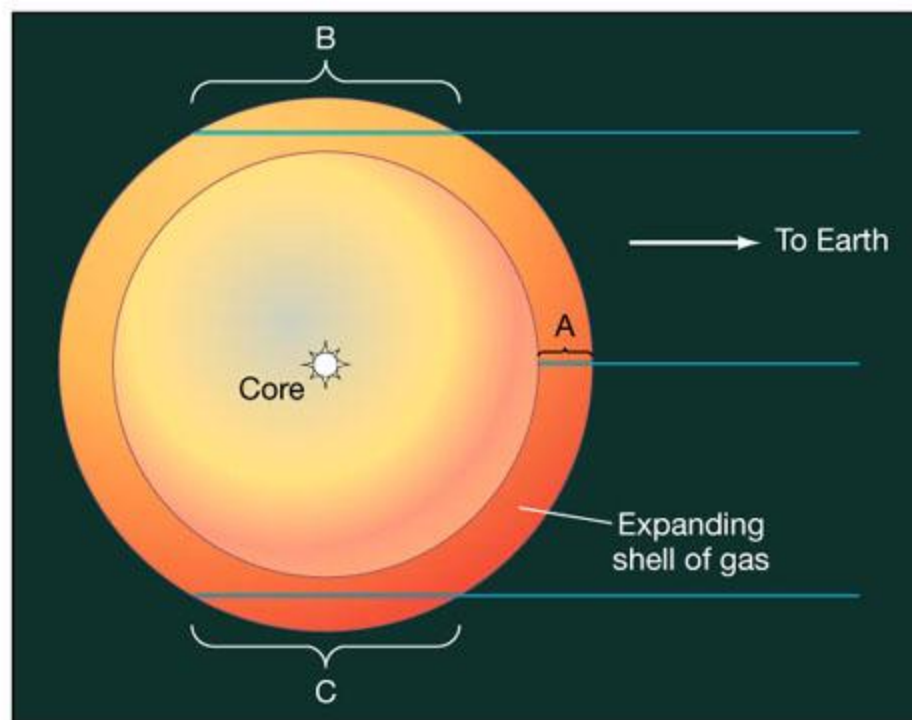
**белые карлики
нейтронные звезды
черные дыры**











Звезда
Вольф 457



Белый карлик
Лейтена



Белые карлики

Масса как у Солнца,
размер как у Земли

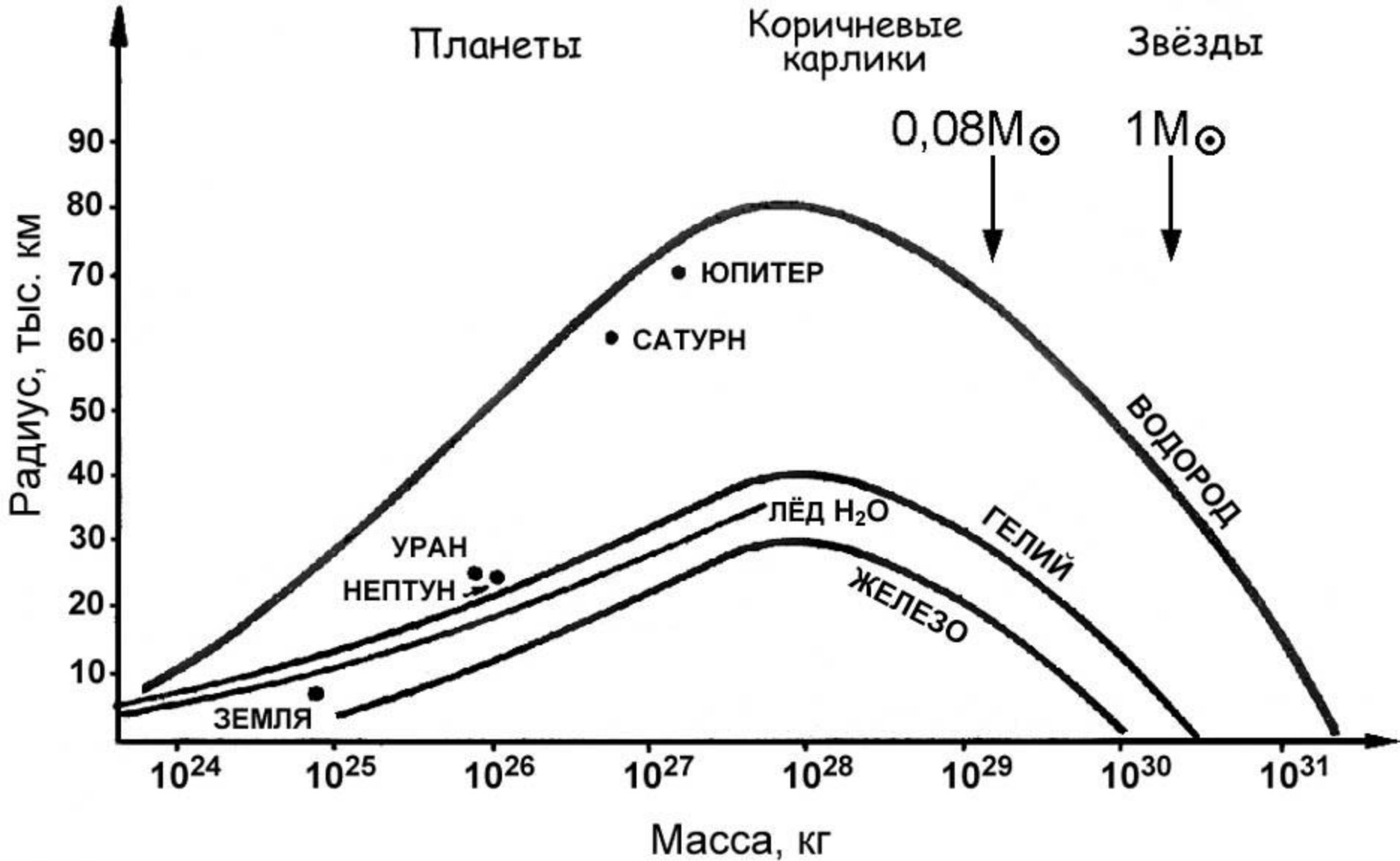
Следовательно,
средняя плотность
в миллион раз
(100 x 100 x 100)
больше, чем у Солнца,
т. е. 1,5 млн г/см³

Земля

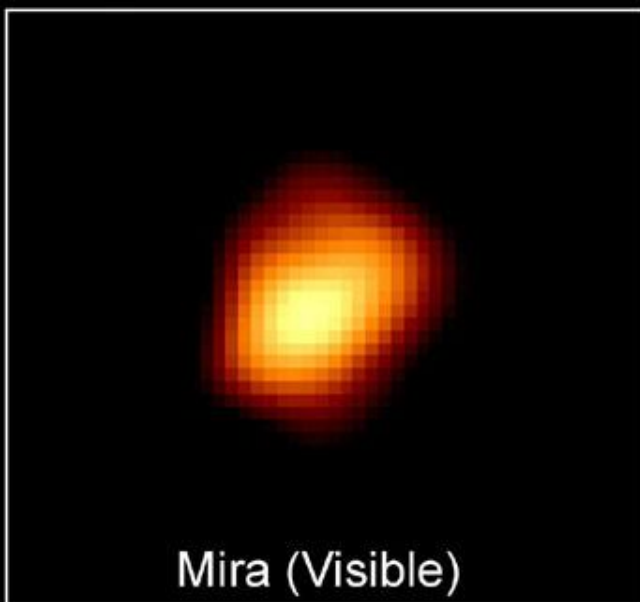




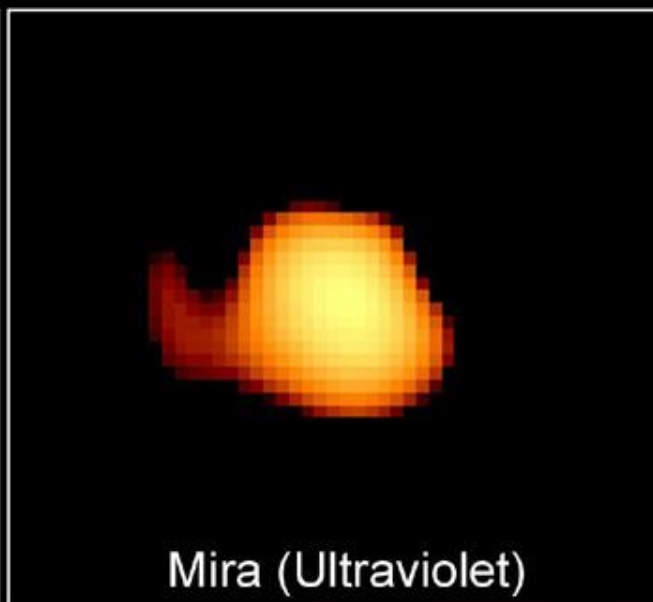
Субраманьян
Чандрасекар
(1910-1995)



Размер холодных равновесных конфигураций различной массы и химического состава



Mira (Visible)



Mira (Ultraviolet)

Mira Omicron Ceti

Hubble Space
Telescope

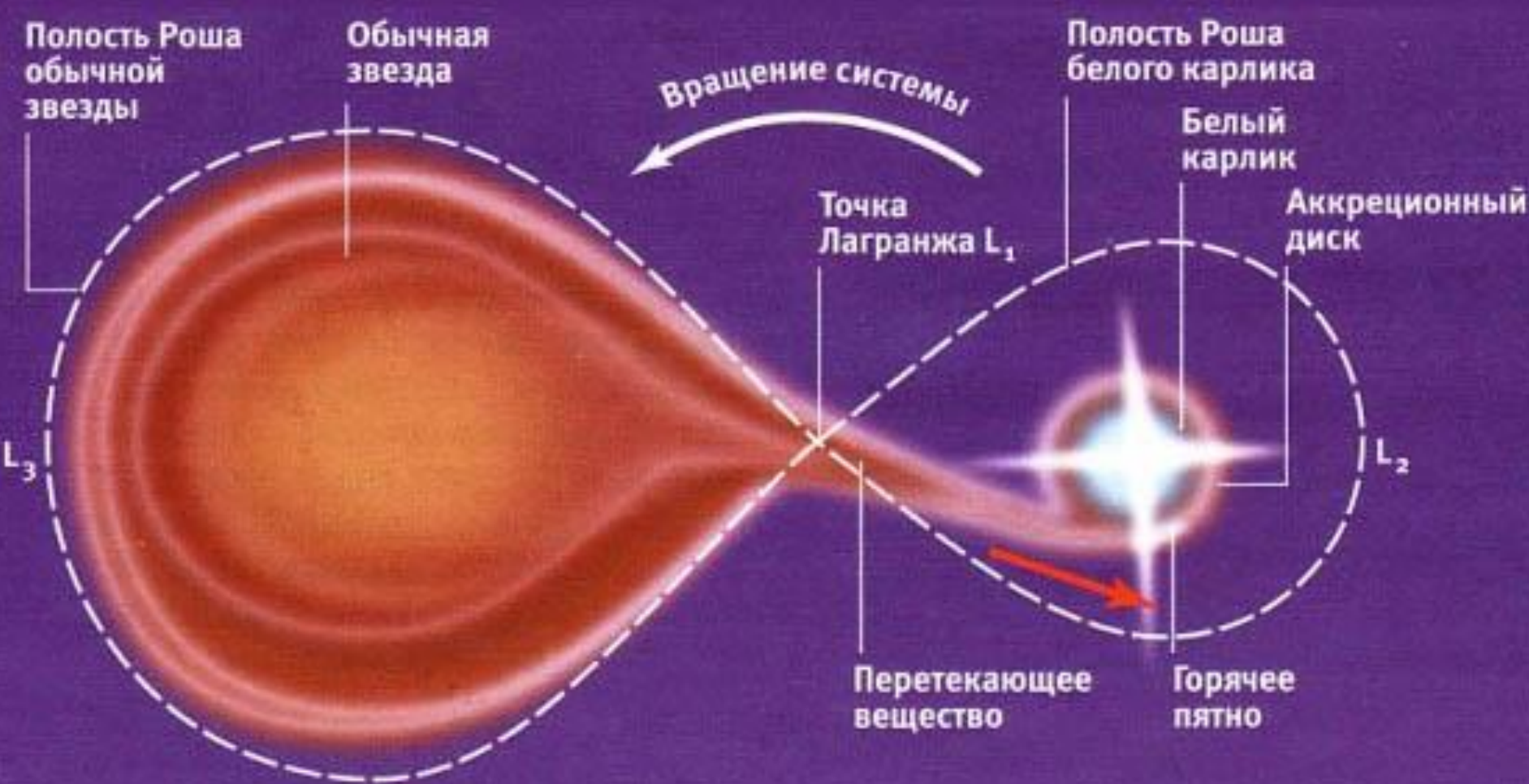


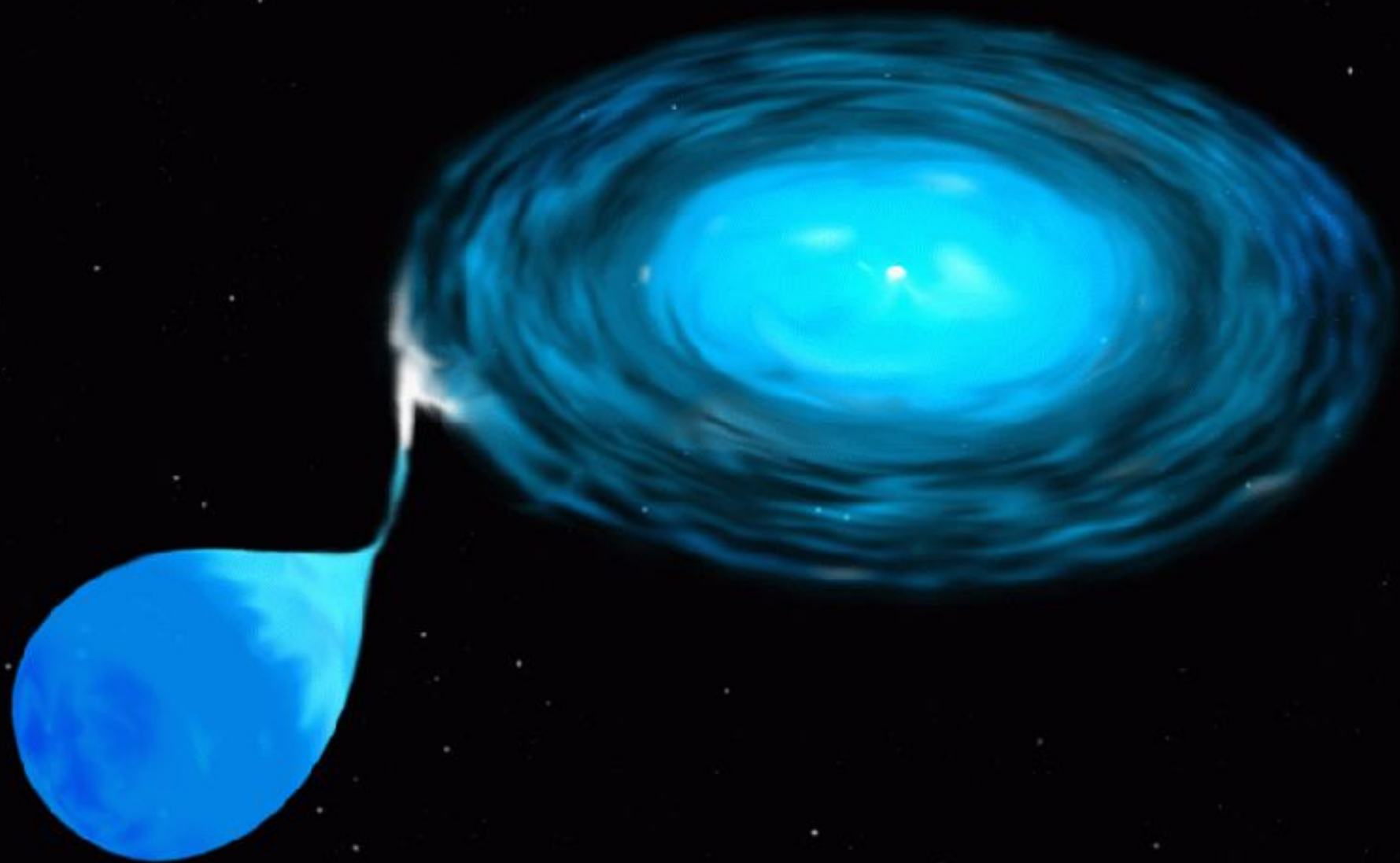
Рентгеновский снимок

Chandra

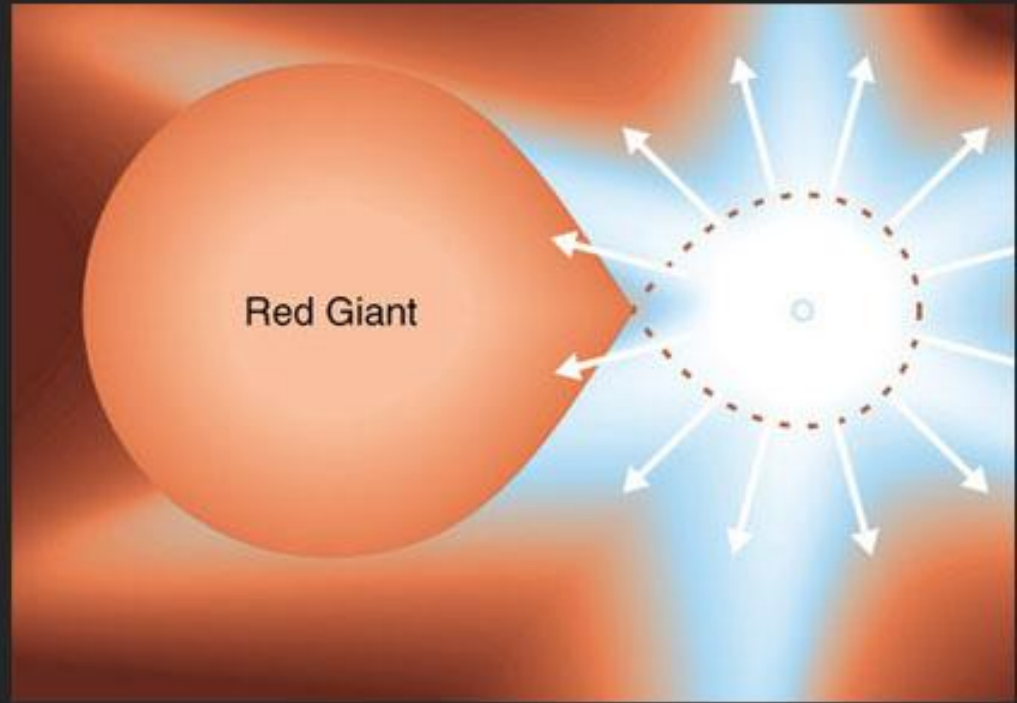
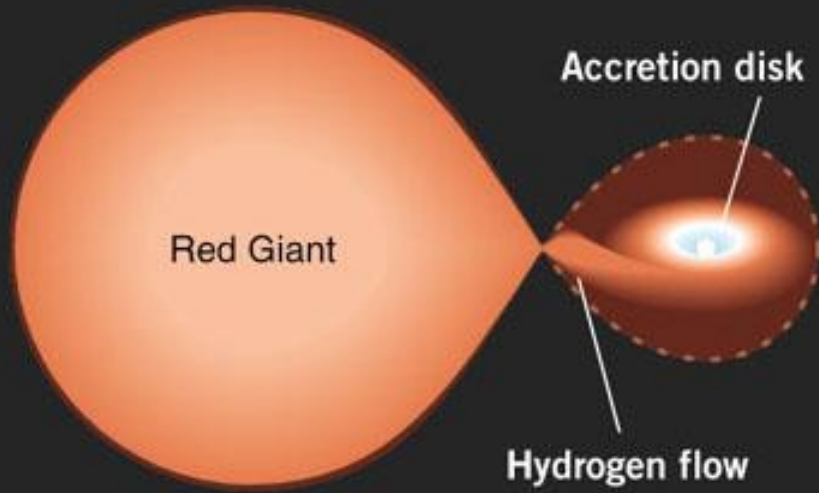
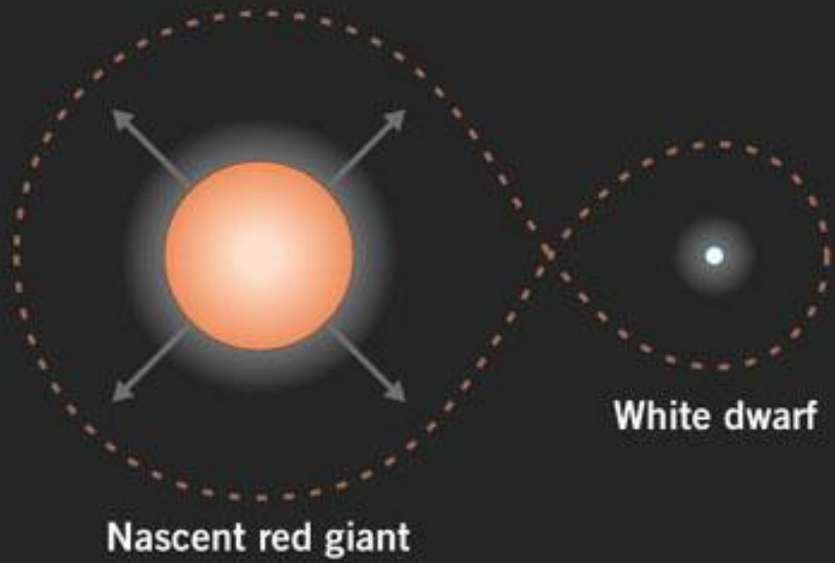


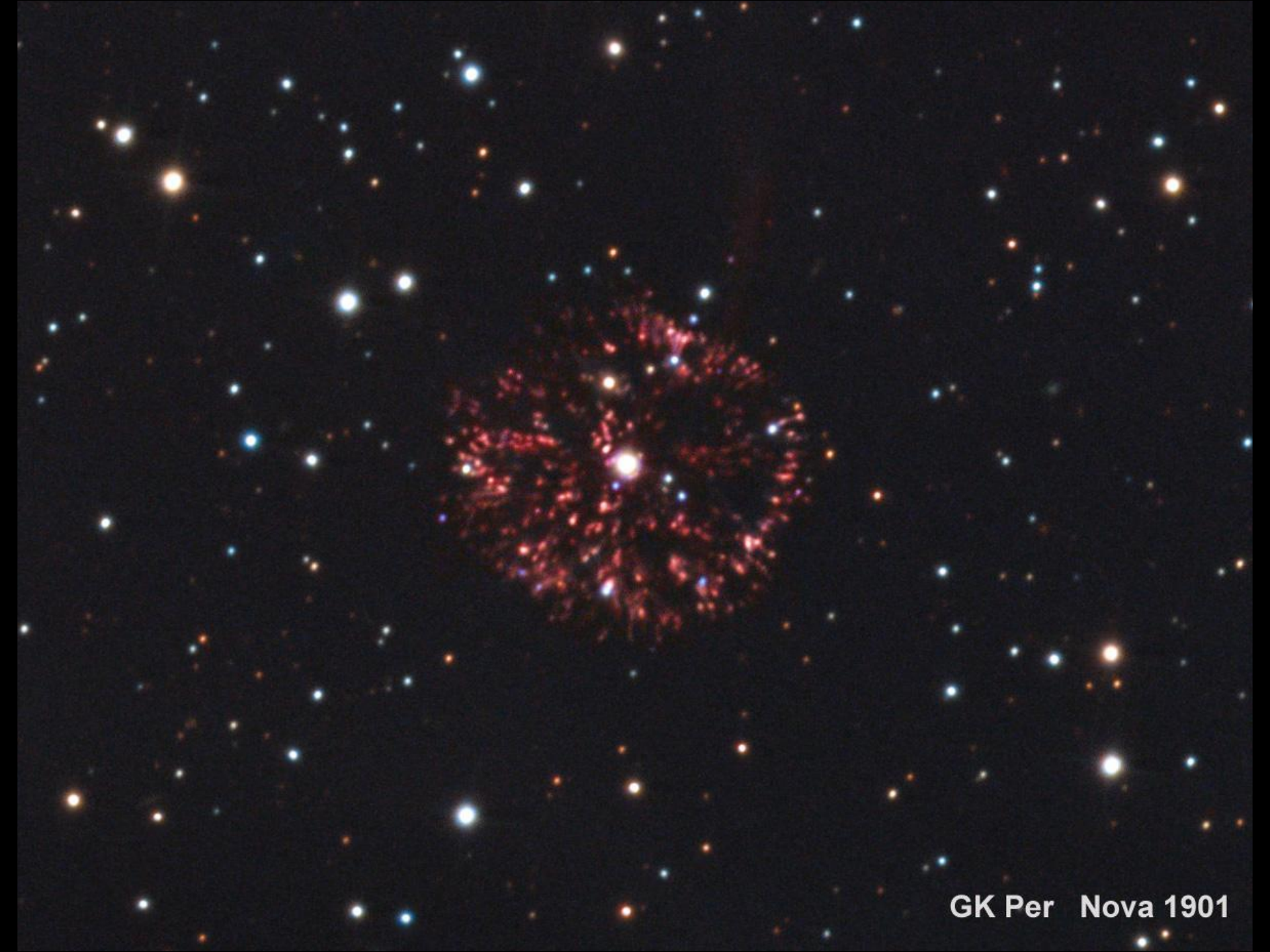
Рисунок художника



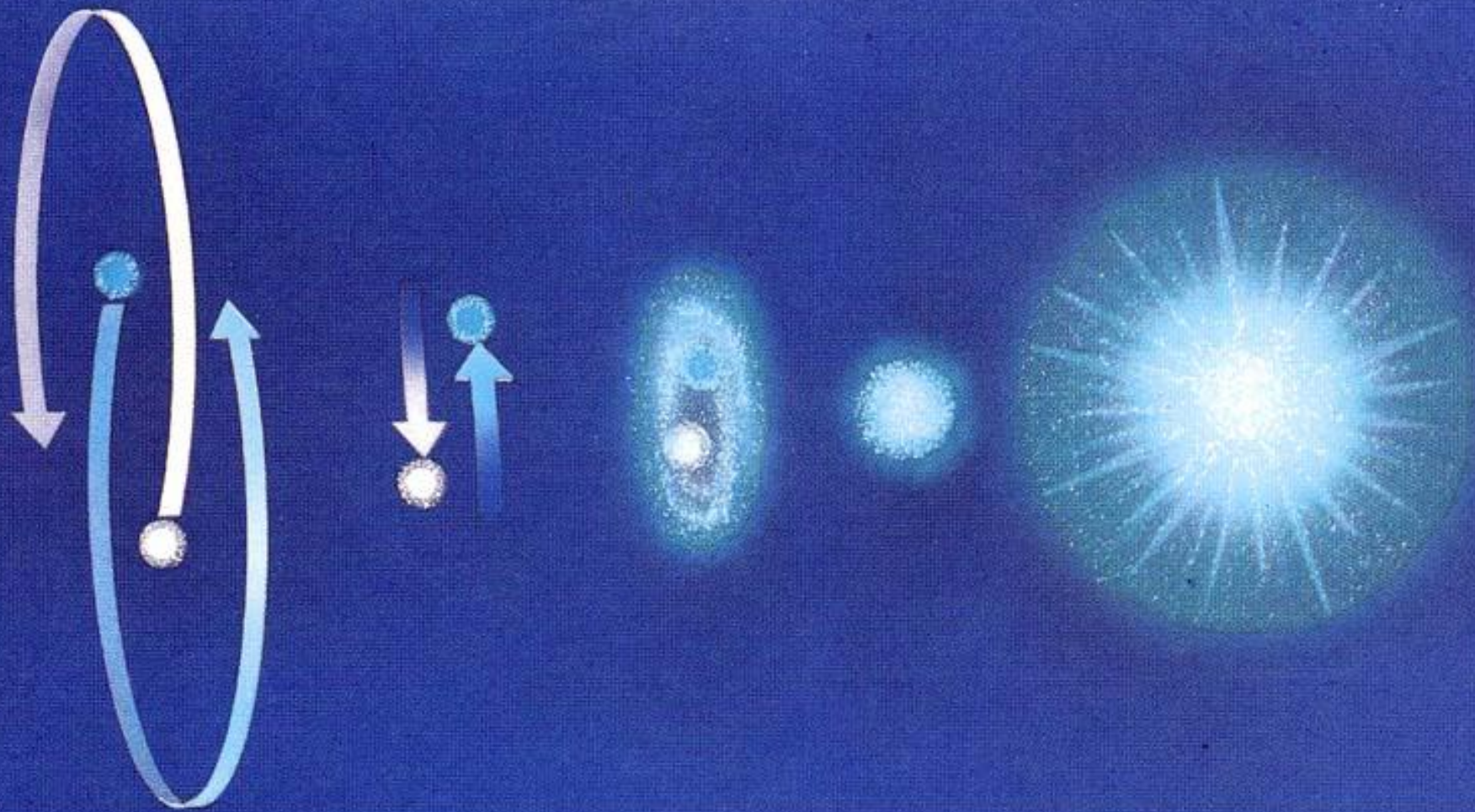


Nova



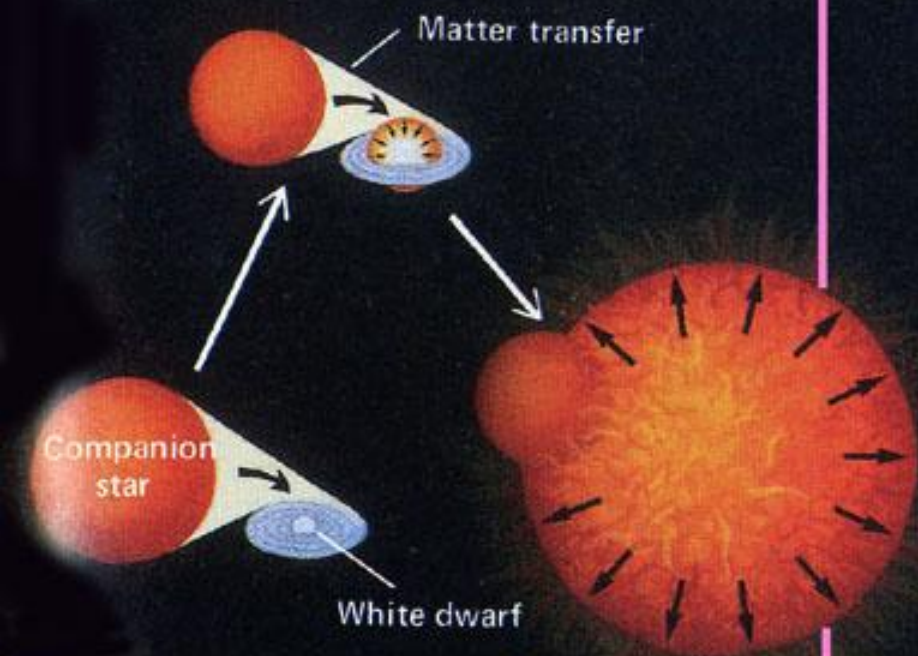


GK Per Nova 1901



Слияние белых карликов

Type I Supernova



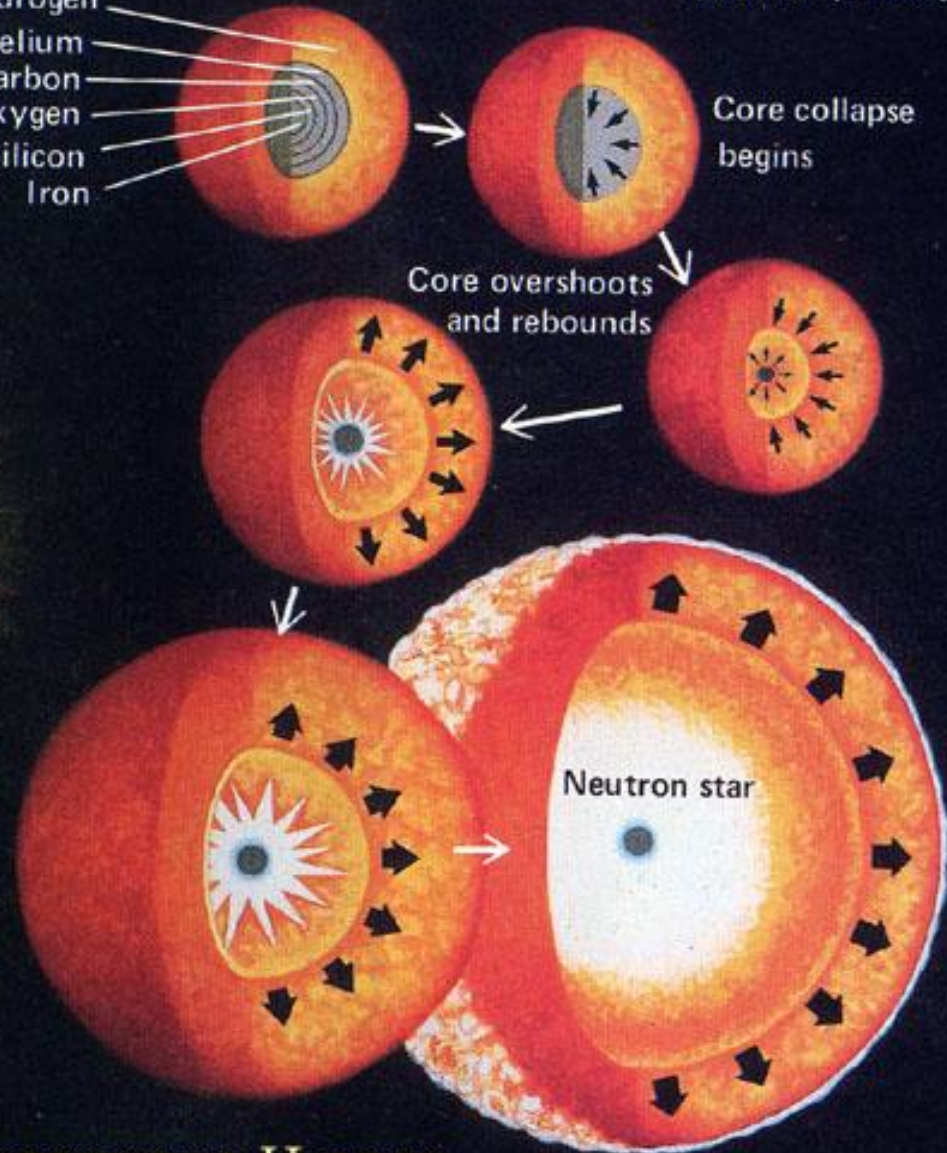
Сверхновая типа Ia

В спектре нет линий водорода и гелия, но есть Ca, Mg, Fe, Si.
Кривые блеска подобны и в максимуме одинаковы (-20^m)

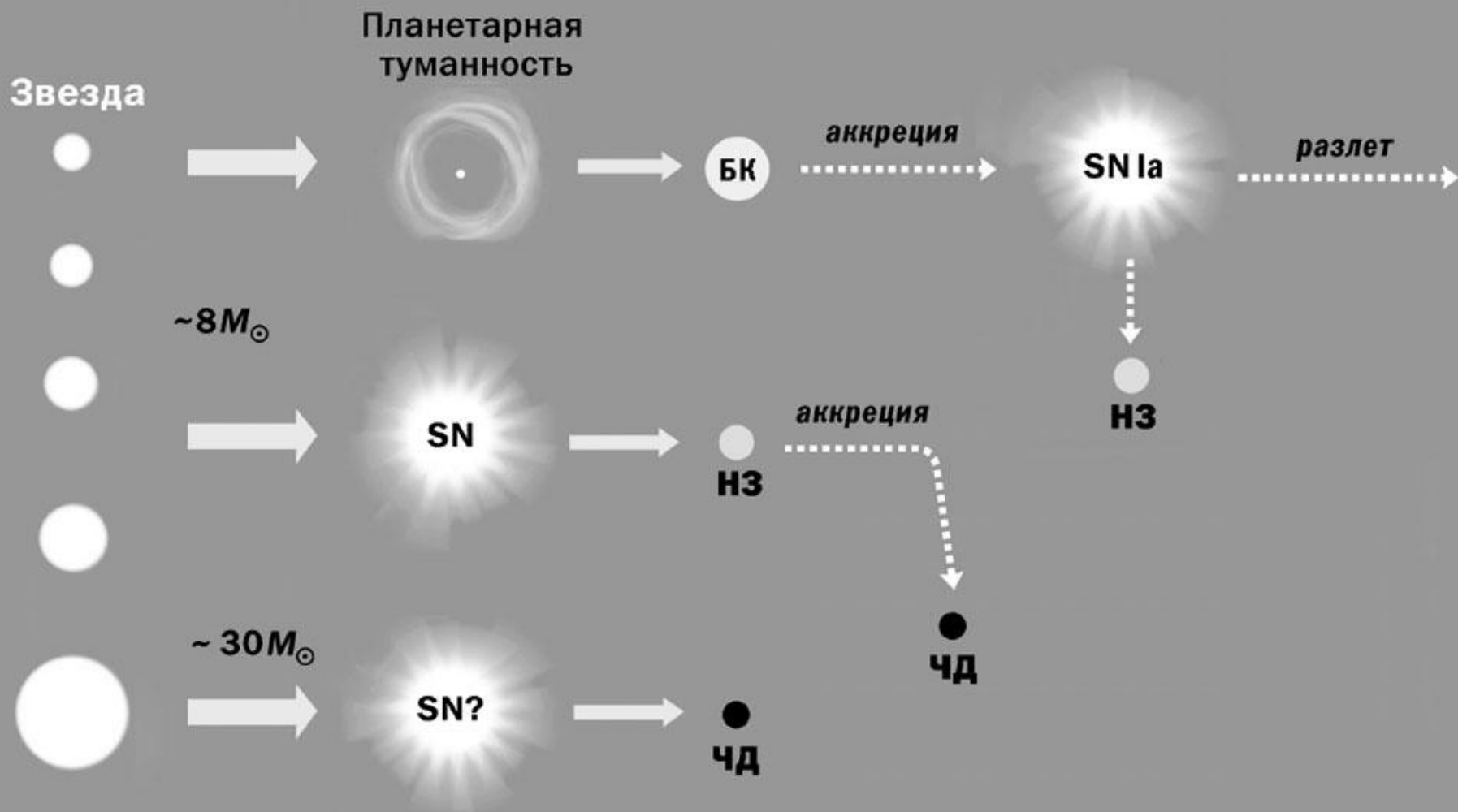
Dominant elements

Hydrogen
Helium
Carbon
Oxygen
Silicon
Iron

Type II Supernova



Сверхновая II типа

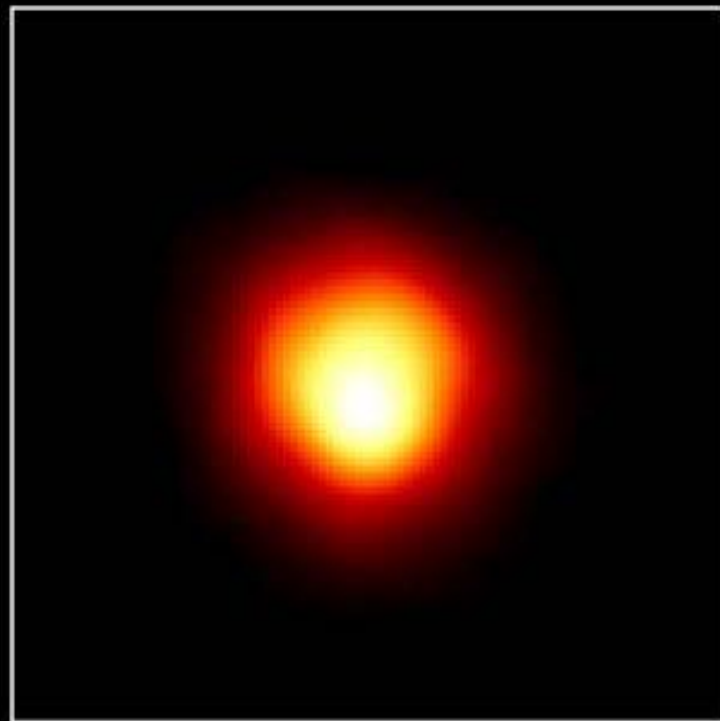


Конечные стадии эволюции звёзд разной массы



M 51 SN2005CS 7 июля 2005 г.

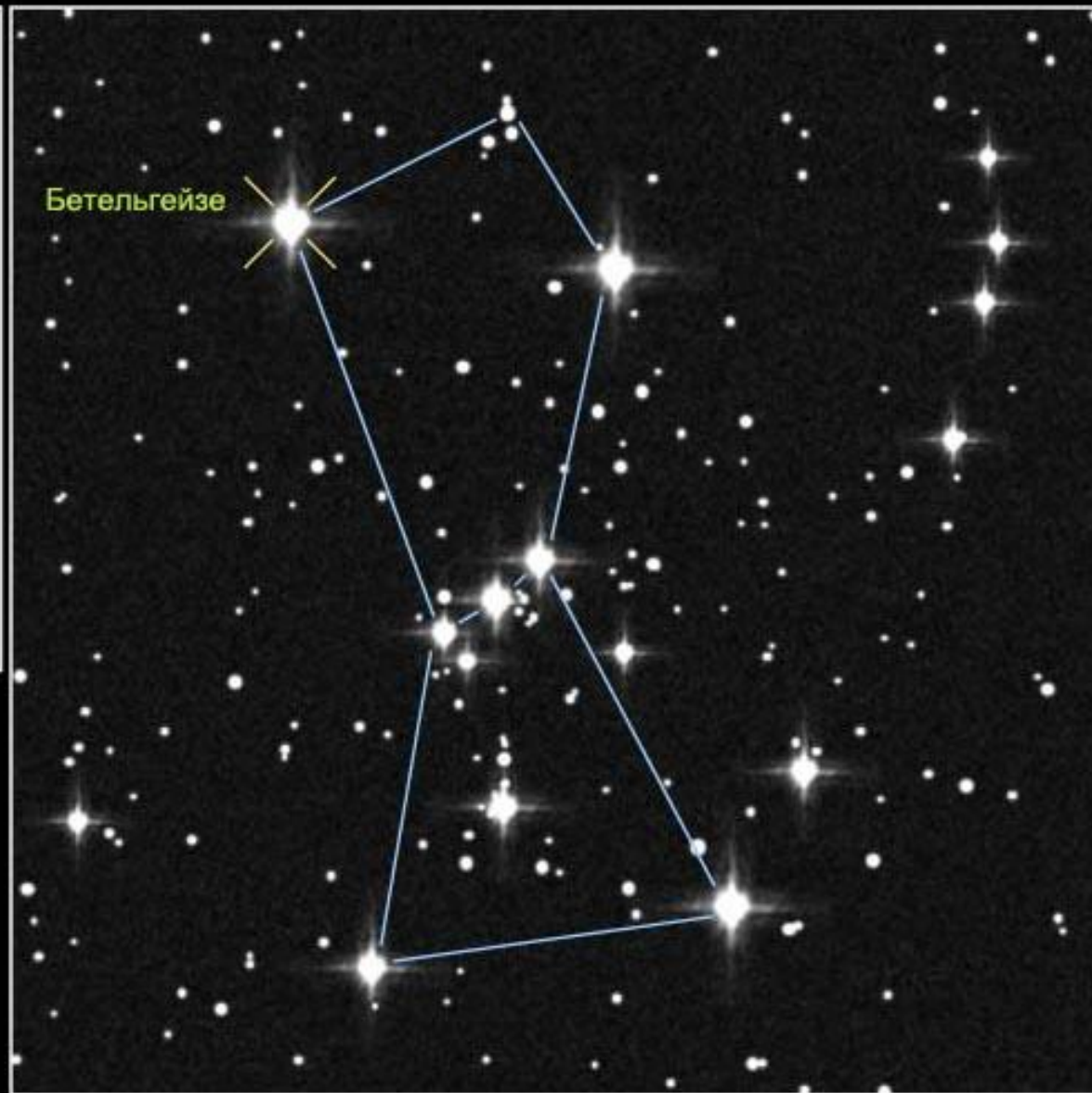
Звезда Бетельгейзе. Фото Космического телескопа "Хаббл"



Размер звезды Бетельгейзе

Размер орбиты Земли

Размер орбиты Юпитера



Созвездие Орион

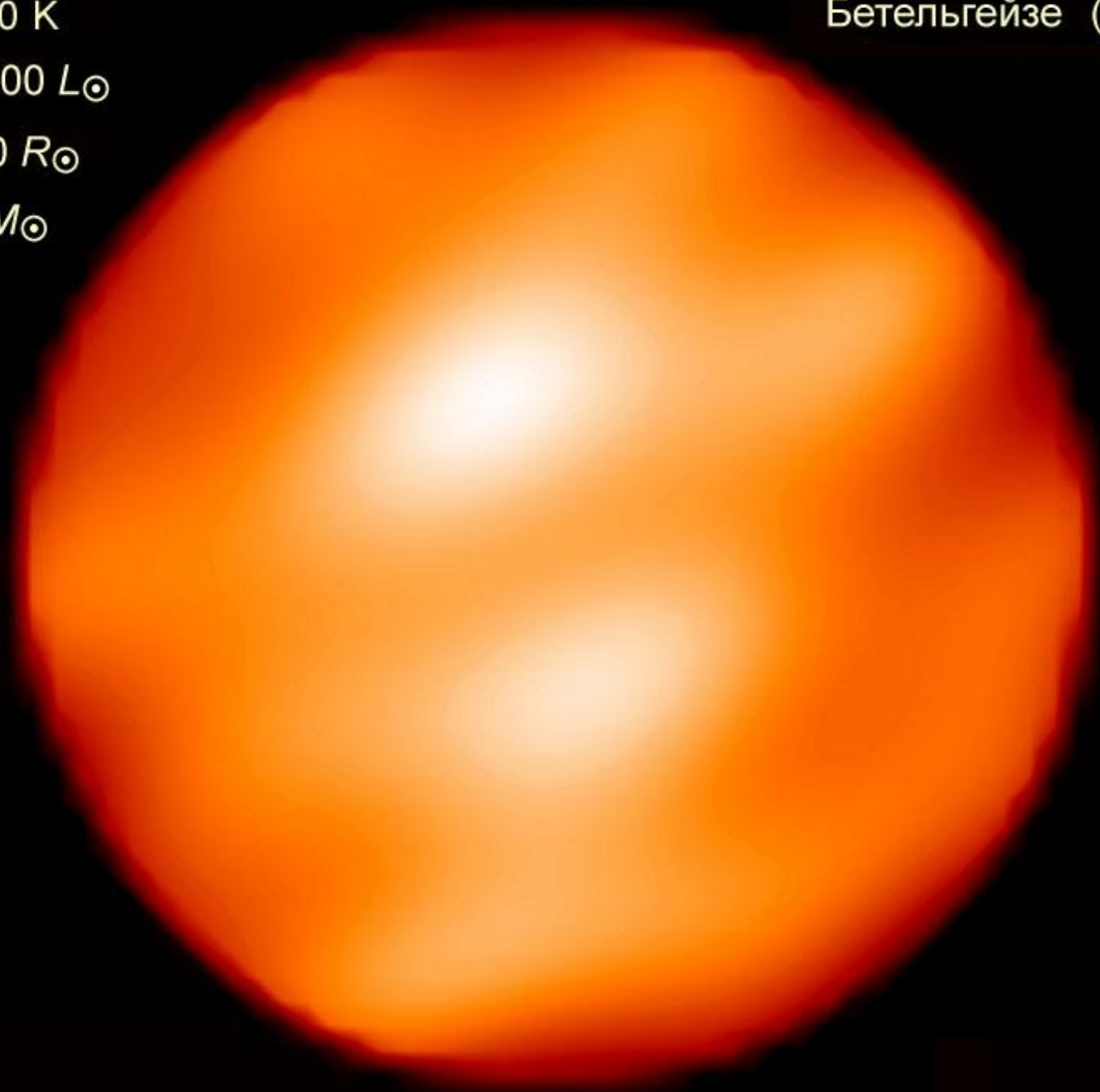
$T = 3600 \text{ K}$

$L = 80\,000 L_{\odot}$

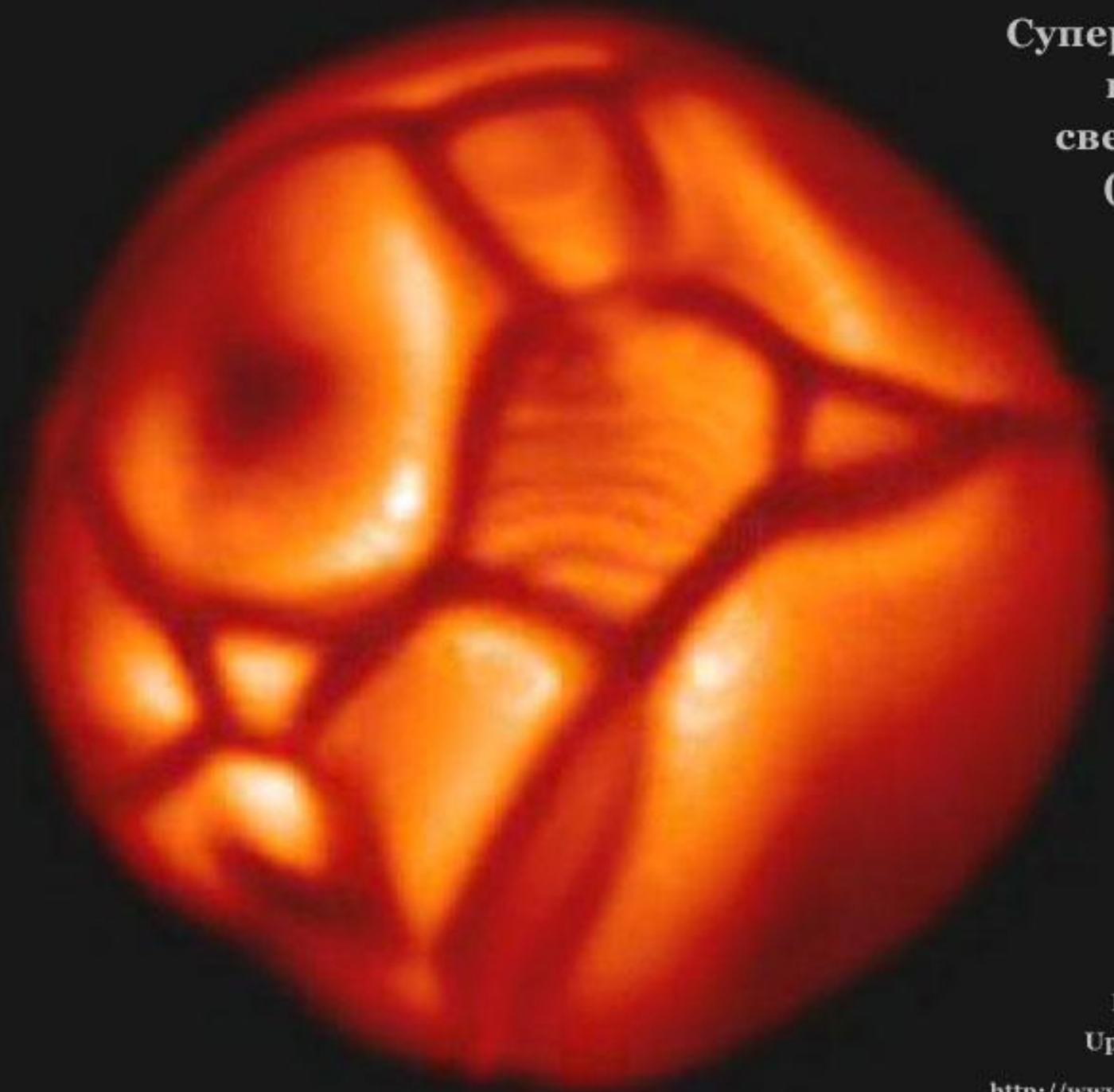
$R = 1000 R_{\odot}$

$M = 15 M_{\odot}$

Бетельгейзе (α Orionis)



**Супергрануляция
красного
сверхгиганта
(модель)**

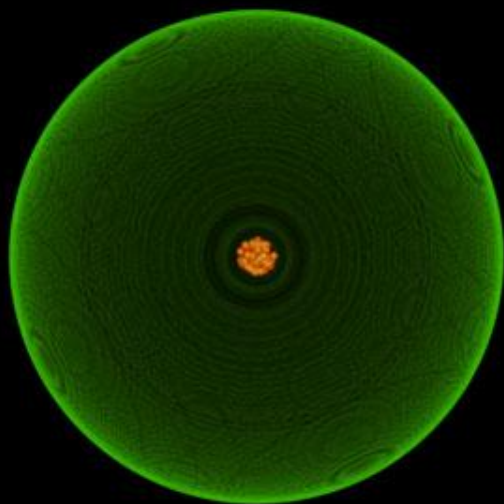


**Bernd Freytag
Uppsala University**

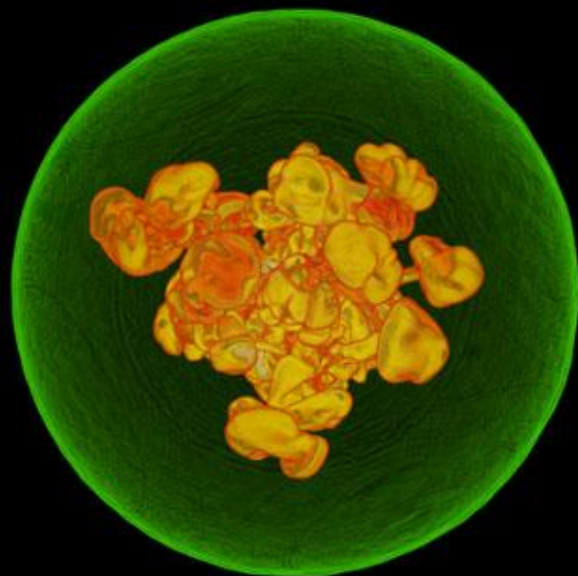
<http://www.astro.uu.se/~bf/movie/>



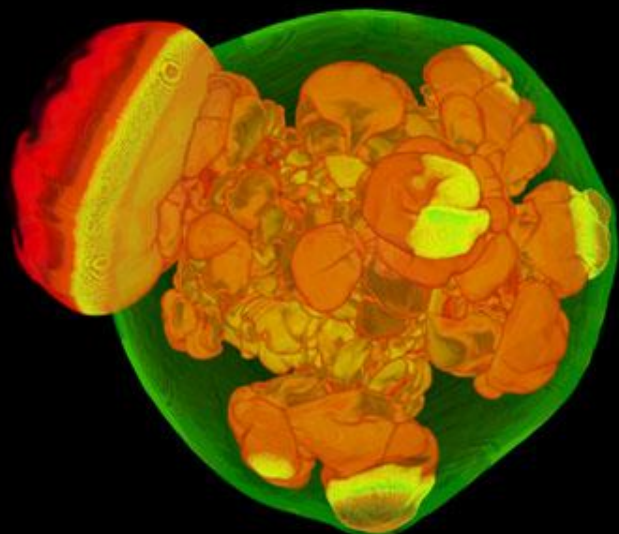
Time: 0.0 seconds



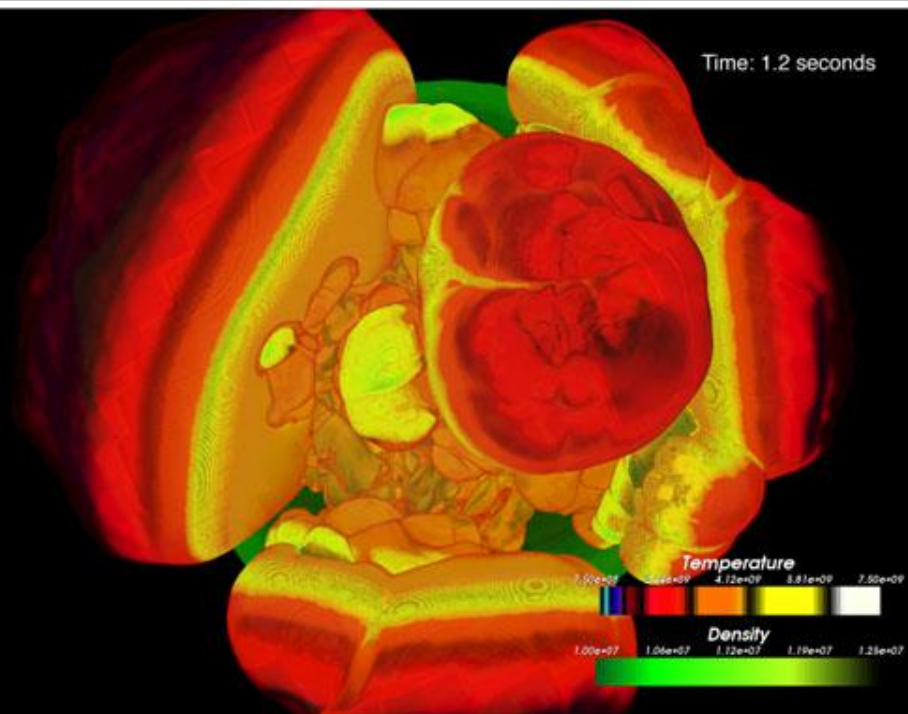
Time: 0.85 seconds



Time: 1.1 seconds



Time: 1.2 seconds



White Dwarf Deflagration

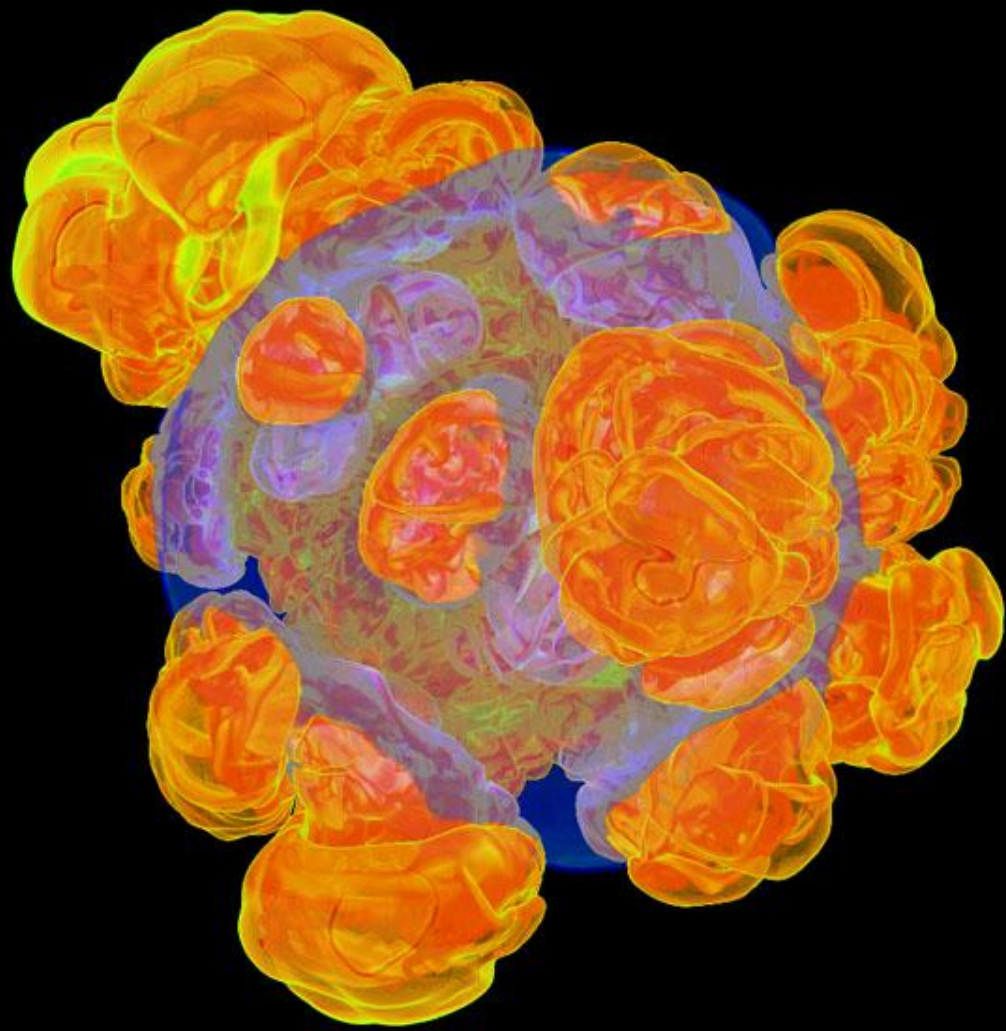
Resolution: 6 km

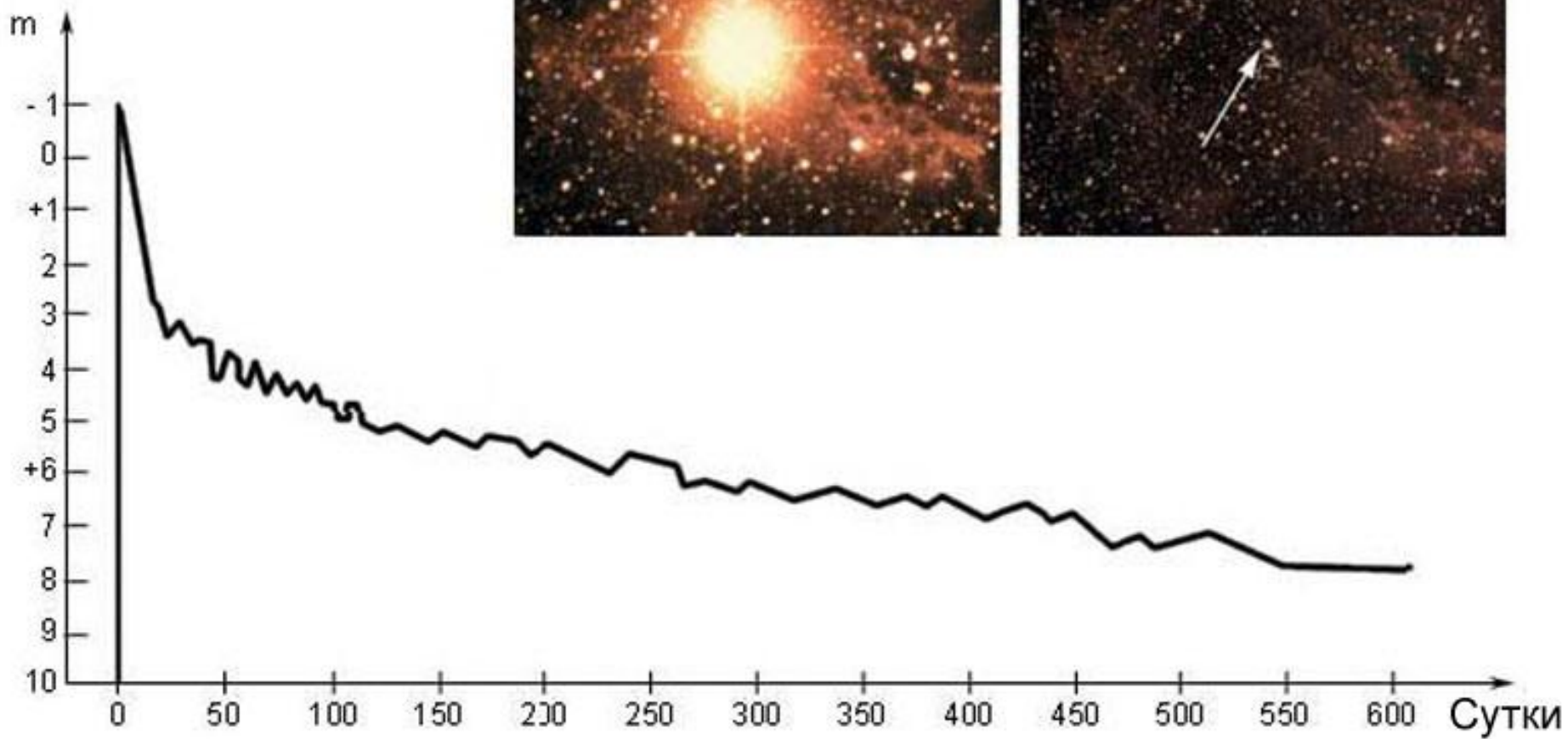
Initial Bubble Radius: 18 km

Ignition Offset: 42 km

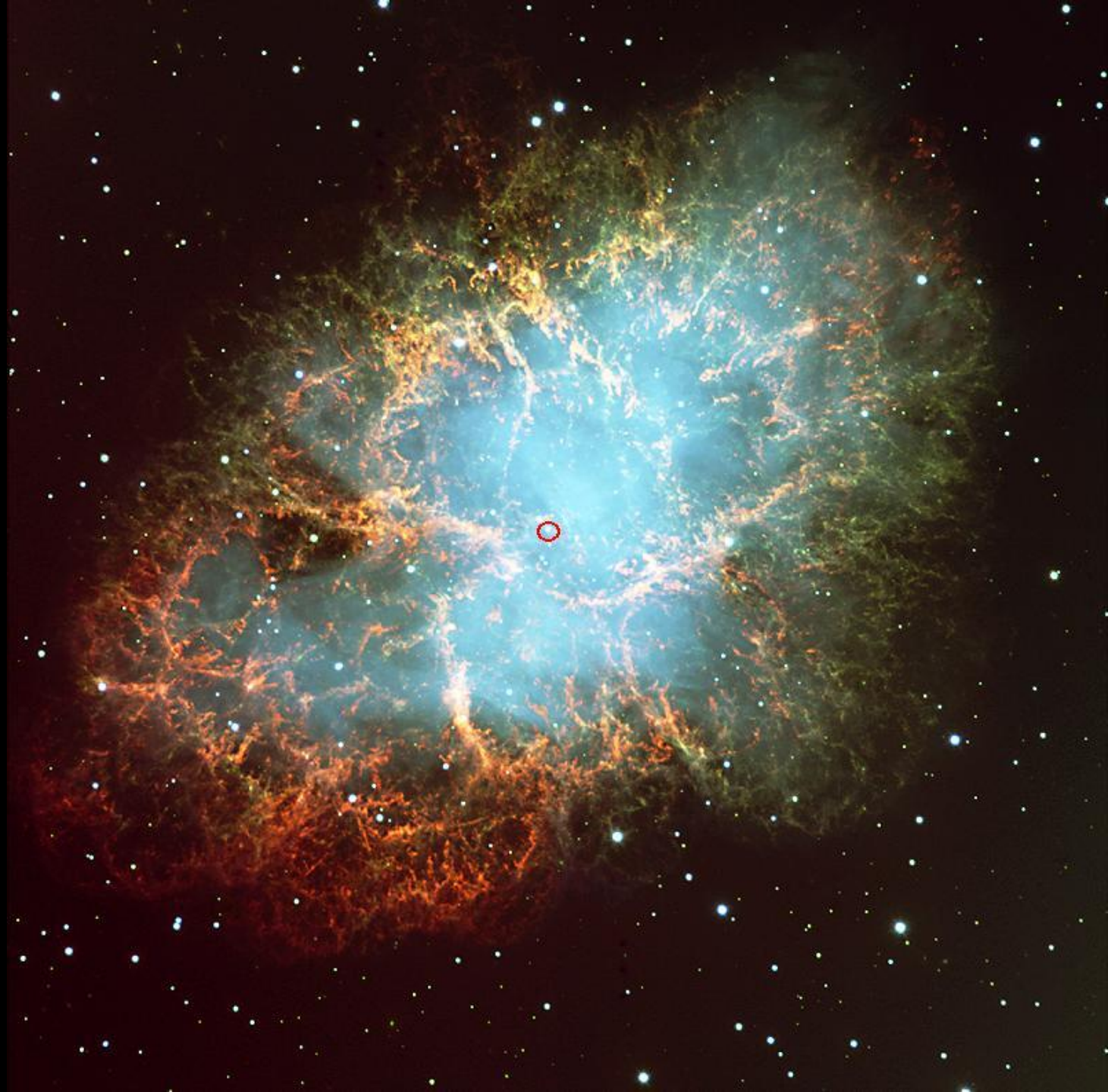
Variable 1: Density [$1.5e+07$ - $2.0e+07$]

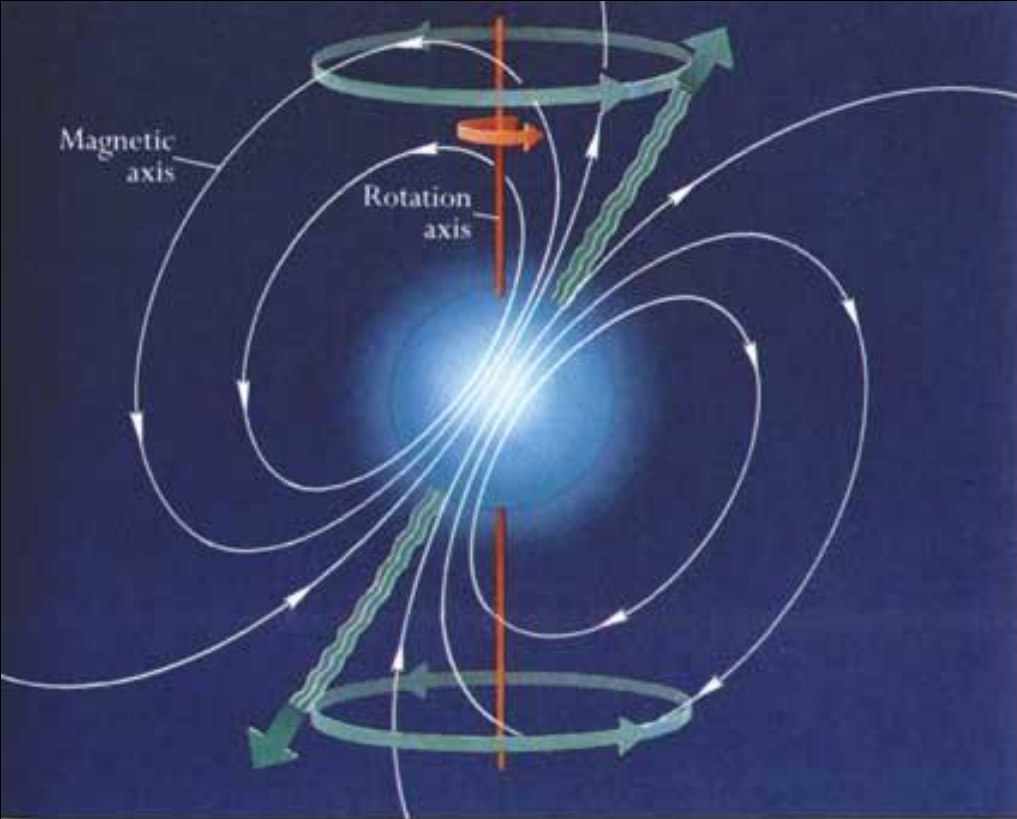
Variable 2: Temperature: [$1.5e+09$ - $4.0e+09$]



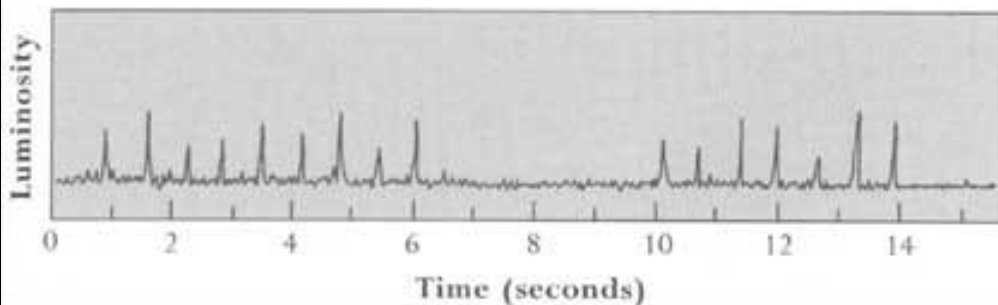


Кривая блеска сверхновой





Радиопульсар



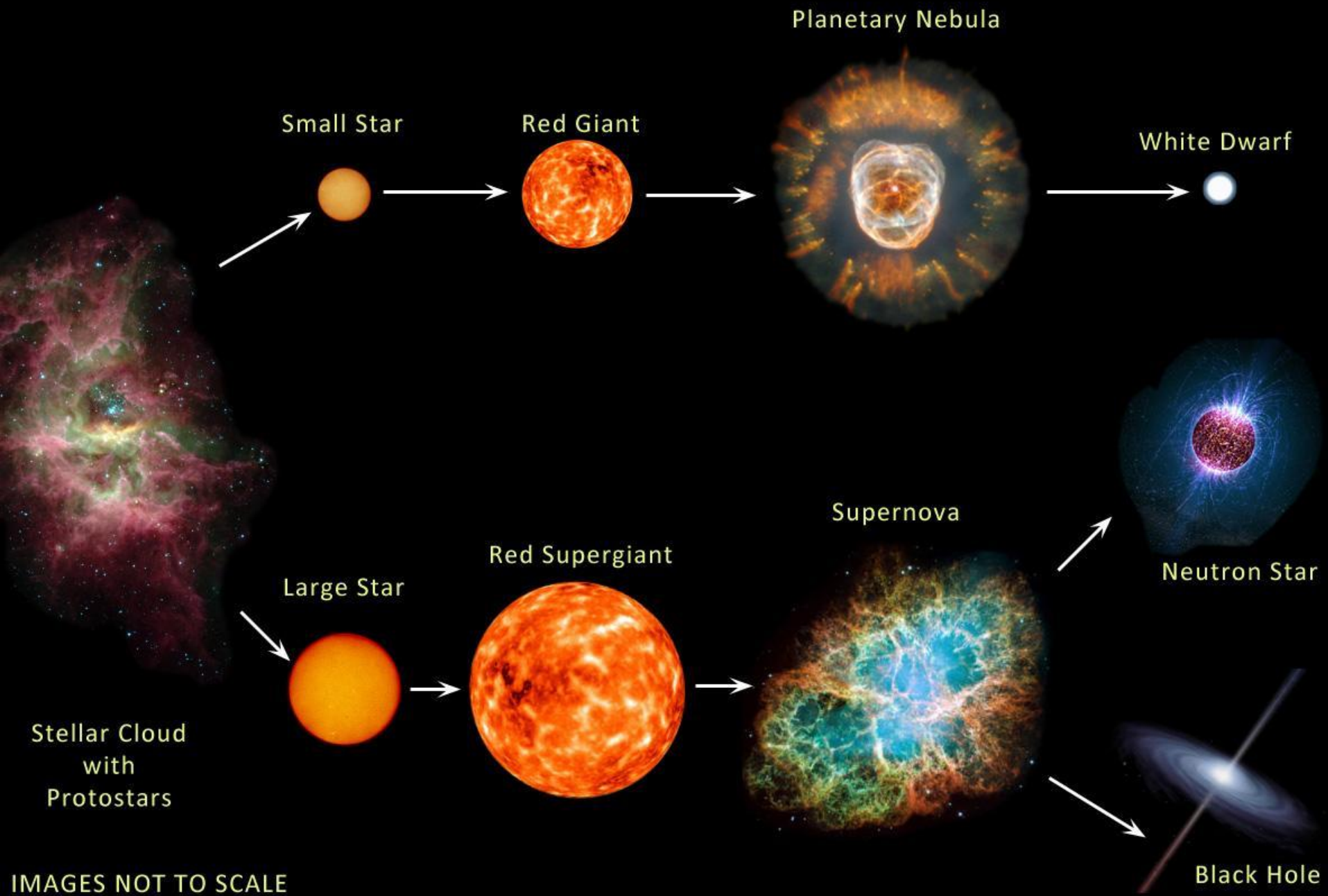
Jocelyn Bell Burnell, who discovered the first neutron star in 1967. (Photograph courtesy of S. Jocelyn Bell Burnell.)



(a) H. Kromer

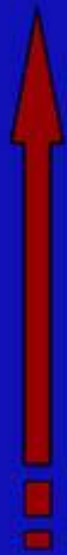


EVOLUTION OF STARS



IMAGES NOT TO SCALE

Коричневые карлики



0.08

Белые карлики, He, $\leq 10\%$



0.5

Белые карлики, C+O, $\leq 90\%$



8

Нейтронные звезды, $> 90\%$



40

Черные дыры, $> 90\%$



100

Полный разлет



<150

M / M_{\odot}